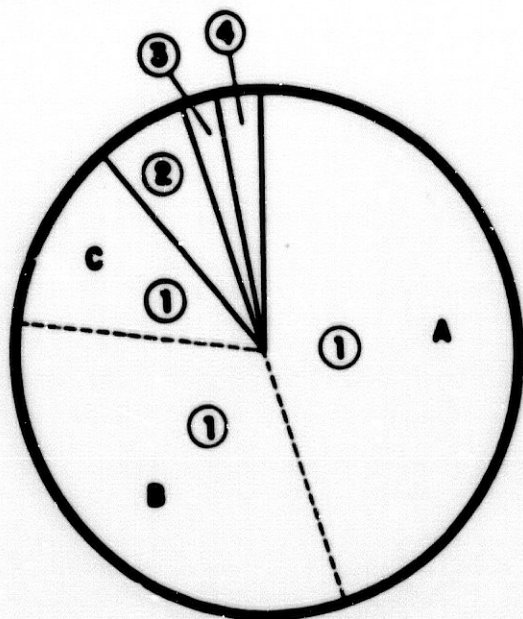


RESULTADOS

1.- DERMATOSIS: 264



1.- VERRUGAS (VIRALES) : 234

A) VULGARES : 119

B) PERIUNGUEALES : 64

C) PLANTARES : 31

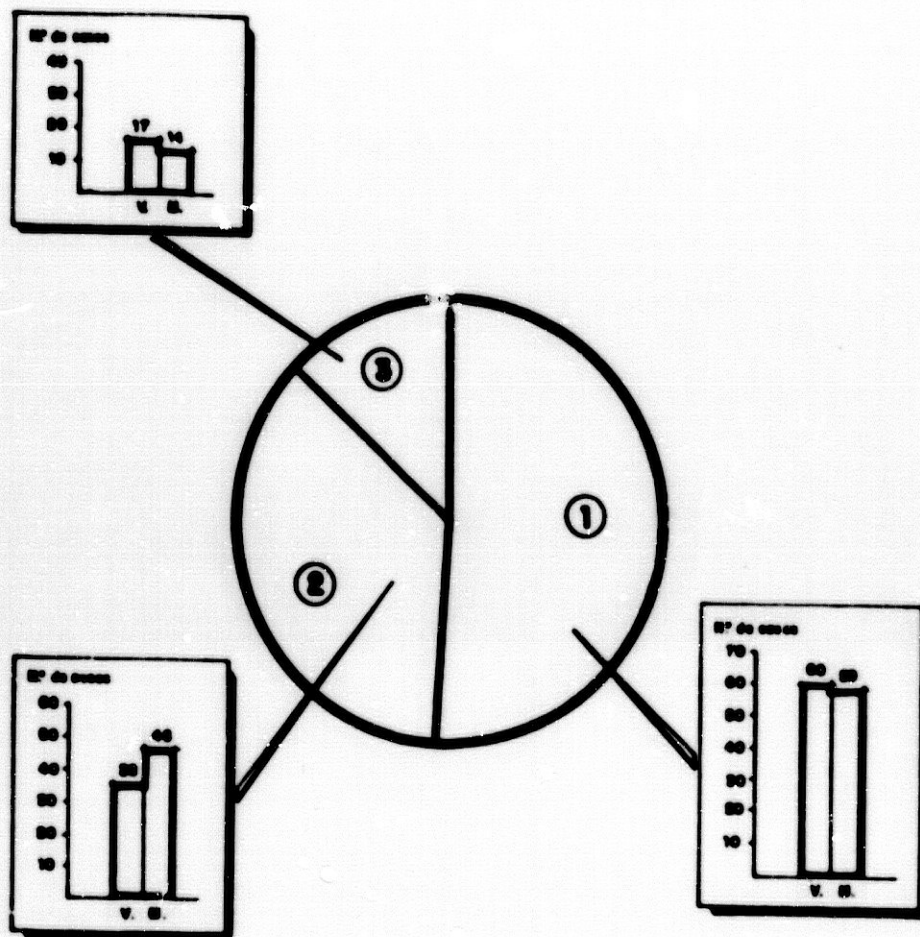
2.- GRANULOMAS PIOGENOS : 16

3.- LEISHMANIOSIS : 6

4.- GRANULOMAS ANULARES : 6

RESULTADOS

VERRUGAS : FORMAS CLINICAS / SEXO



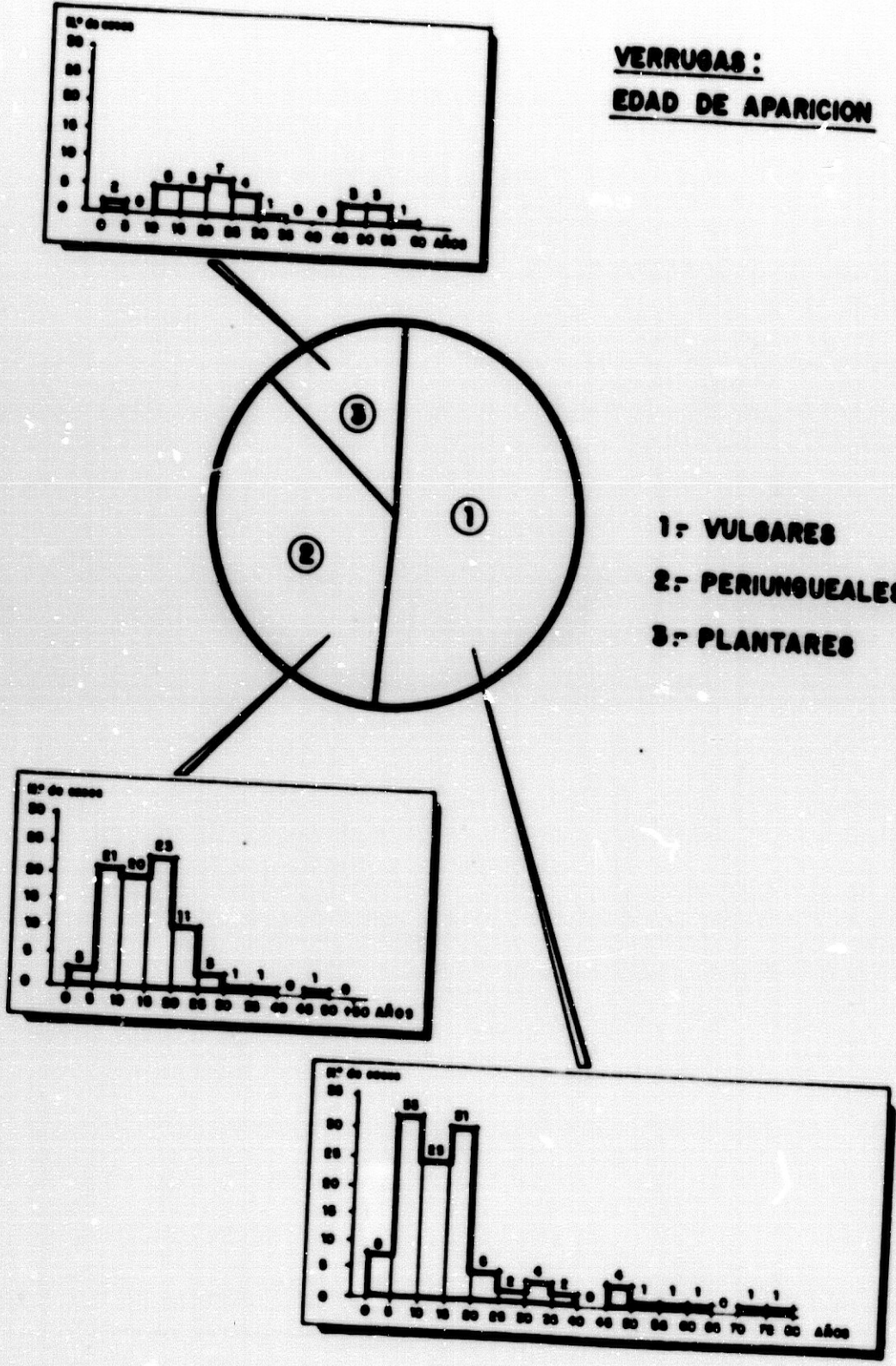
1: VULGARES : 119

2: PERIUNQUEALES : 84

3: PLANTARES : 31

RESULTADOS

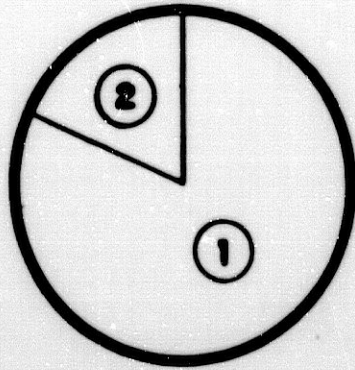
VERRUGAS:
EDAD DE APARICION



RESULTADOS

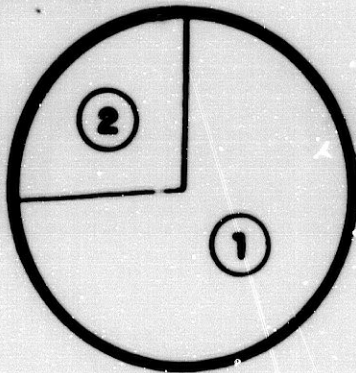
VERRUGAS: RESULTADOS CLINICOS

VULGARES: 119



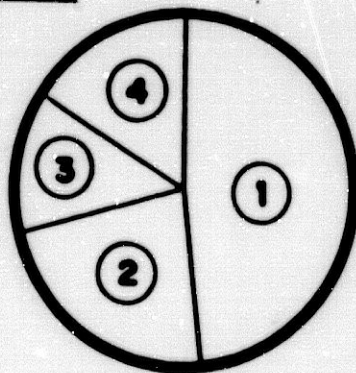
1: +++ (81,52%)
2: ++ (18,48%)
3: +/- (0%)

PERIUNGUEALES: 84



1: +++ (73,80%)
2: ++ (26,19%)
3: +/- (0%)

PLANTARES: 31

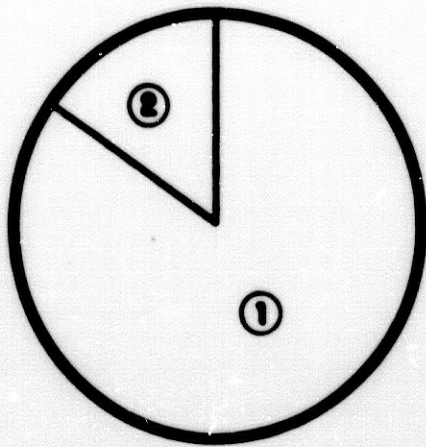


1: +++ (48,38%)
2: ++ (22,58%)
3: + (12,90%)
4: - (16,12%)

RESULTADOS

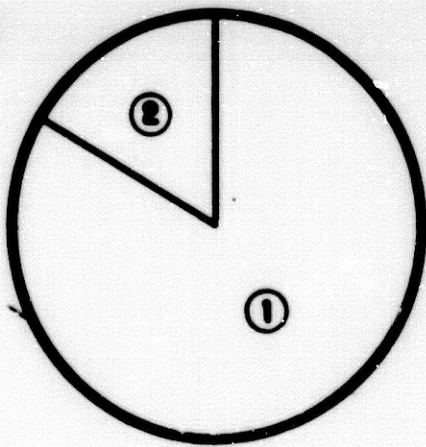
VERRUGAS: RESULTADOS COSMETICOS

VULGARES



1: +++ (84,40%)
2: ++ (15,59%)

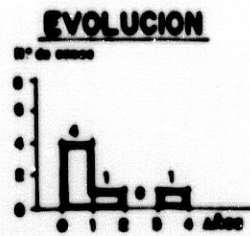
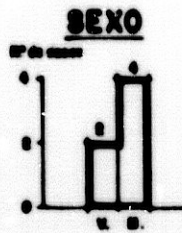
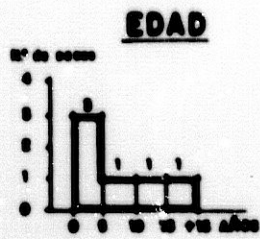
PERIUNGUEALES



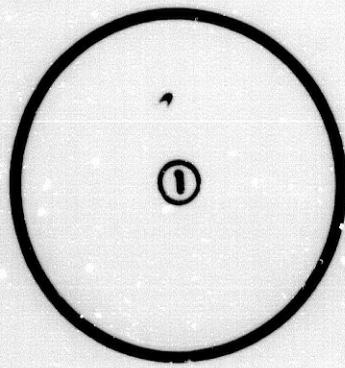
1: +++ (83,33%)
2: ++ (16,66%)

RESULTADOS

LEISHMANIOSIS

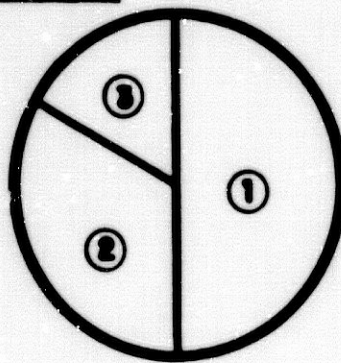


RESULTADOS CLINICOS



1: +++ (100%)

RESULTADOS COSMETICOS

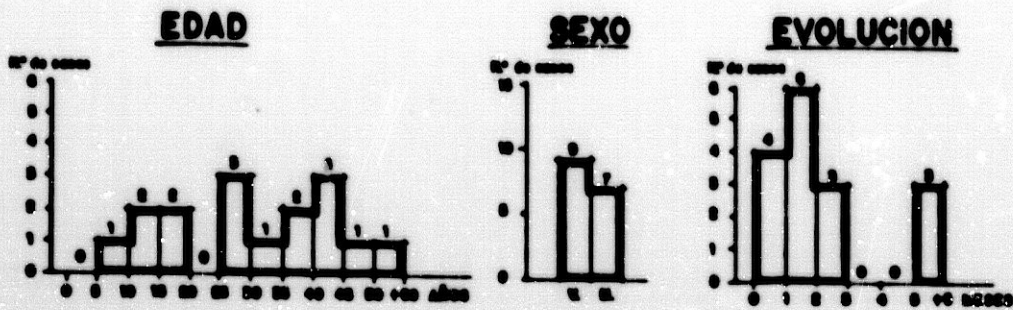


1: +++ (60,00%)

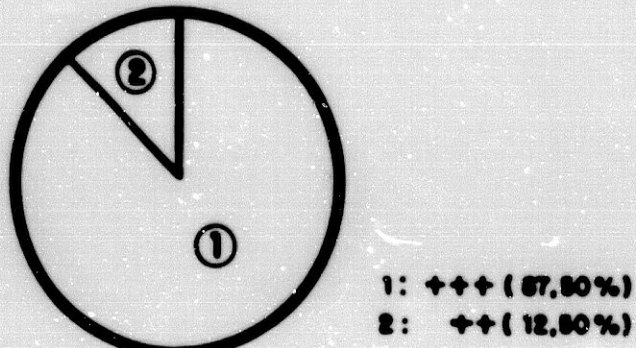
2: ++ (33,33%)

3: + (16,66%)

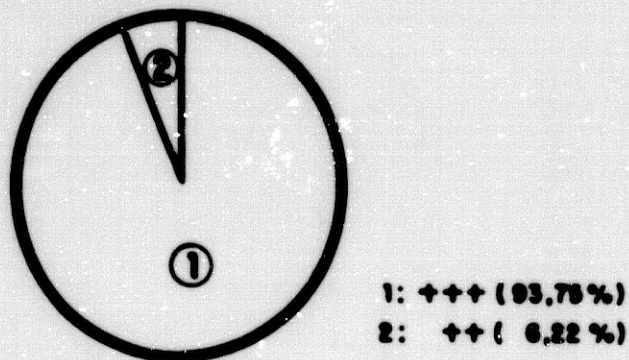
GRANULOMA PIOGENO : 16



RESULTADOS CLINICOS

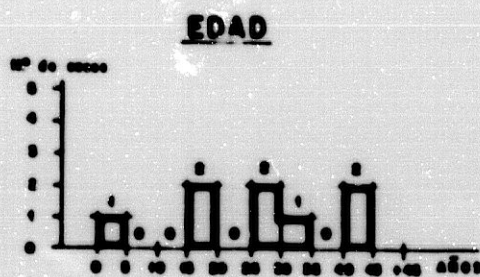
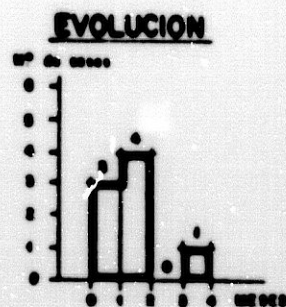
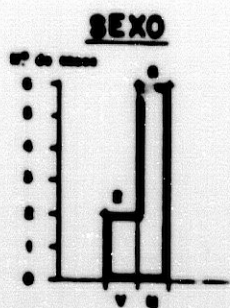


RESULTADOS COSMETICOS

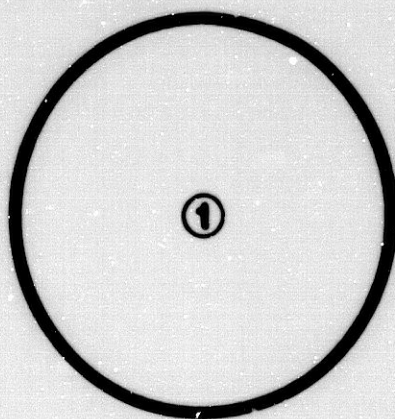


RESULTADOS

GRANULOMA ANULAR: 8



RESULTADOS CLINICOS



1: +++ (100%)
2: +++/++/- (0%)

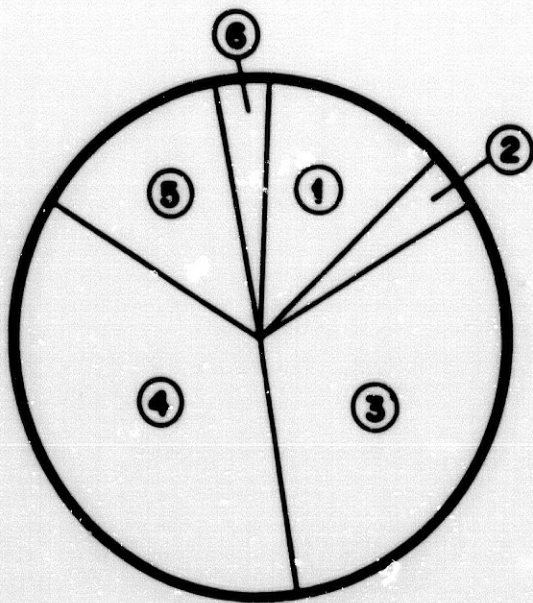
RESULTADOS

DERMATOSIS : COMPLICACIONES

I- VERRUGAS (VIRALES) : 224		
A) VULGARES : _____ 119		
1- DEPIGMENTACION : _____	17	(16,86 %)
2- INFECCION SECUNDARIA : _	1	(0,84 %)
3- EXULCERACION : _____	2	(1,68 %)
B) PERIUNGUEALES : _____ 84		
1- DEPIGMENTACION : _____	14	(16,66 %)
2- LEUCONQUIA : _____	15	(17,85 %)
3- LINEA DE BEAU : _____	7	(8,33 %)
4- EXULCERACION : _____	2	
C) PLANTARES : _____ 31		
1- DOLOR INTENSO : _____	31	(100,00 %)
II- GRANULOMAS PIOGENOS : _ 16		
1- CICATRIZ : _____	1	(6,22 %)
III- LEISHMANIOSIS : _____ 6		
1- DEPIGMENTACION : _____	3	(50,00 %)
IV- GRANULOMA ANULAR : _____ 8		
NINGUNA		

RESULTADOS

TUMORES BENIGNOS: 83

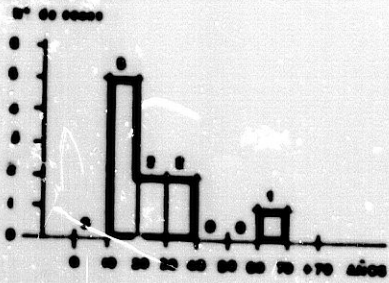


- 1.- NEVUS VERRUGOSO : 10
- 2.- NEVUS PIGMENTADO Y PILOSOS : 3
- 3.- VERRUGA SEBORREICA: 26
- 4.- QUERATOACANTOMA : 30
- 5.- ANGIOMAS PLANOS: 11
- 6.- FIBROANGIOMAS (PRINGLE) : 3

RESULTADOS

NEVUS VERRUGOSO : 10

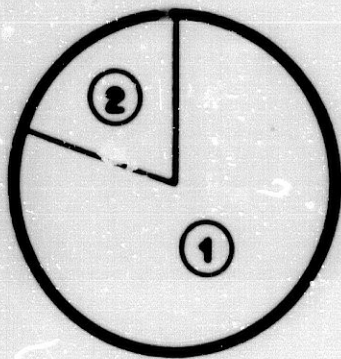
EDAD



SEXO

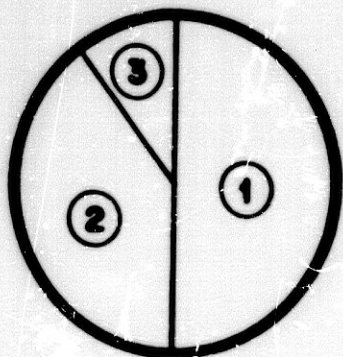


RESULTADOS CLINICOS



1: +++ (80%)
2: ++ (20%)

RESULTADOS COSMETICOS

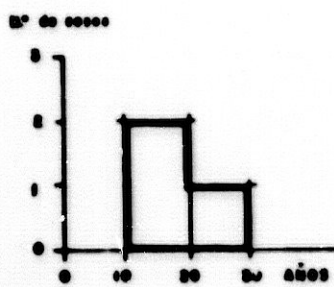


1: +++ (50%)
2: ++ (40%)
3: + (10%)

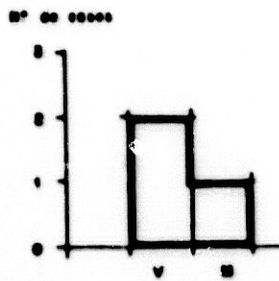
RESULTADOS

NEVUS PIGMENTADO Y PILOSOS : 3

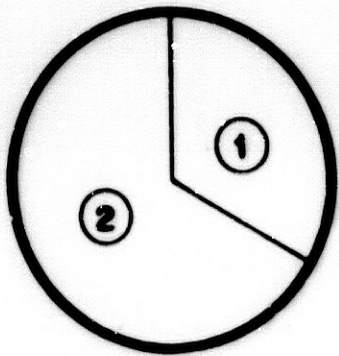
EDAD



SEXO

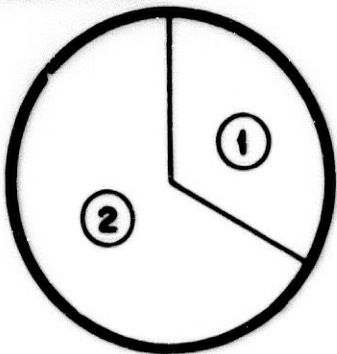


RESULTADOS CLINICOS



1: ++ (33,33%)
2: + (66,66%)

RESULTADOS COSMETICOS

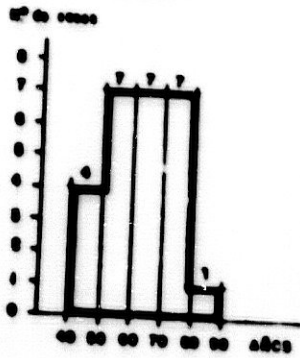


1: ++ (33,33%)
2: + (66,66%)

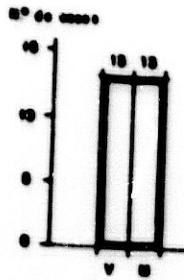
RESULTADOS

VERRUGA SEBORREICA : 26

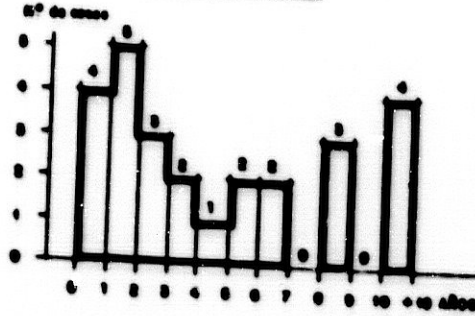
EDAD



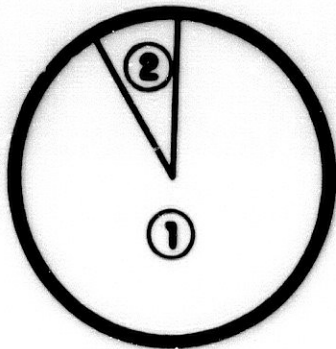
SEXO



EVOLUCION

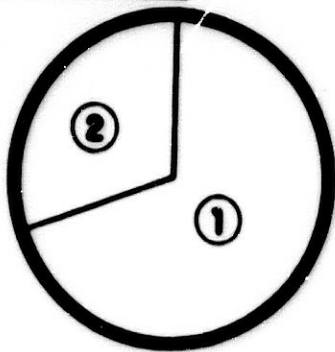


RESULTADOS CLINICOS



1: +++ (93,30%)
2: ++ (7,70%)

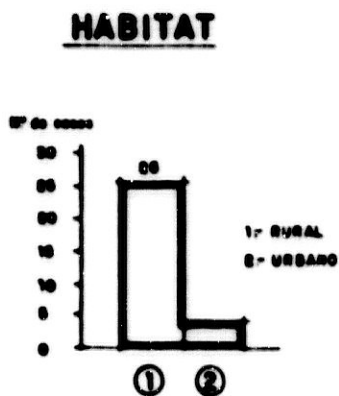
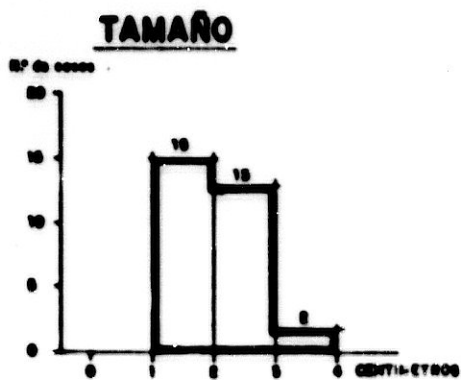
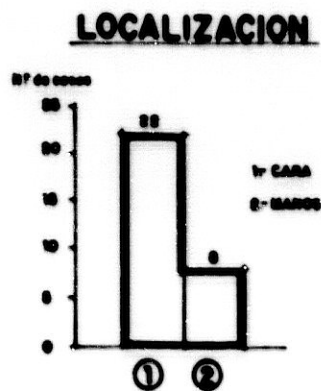
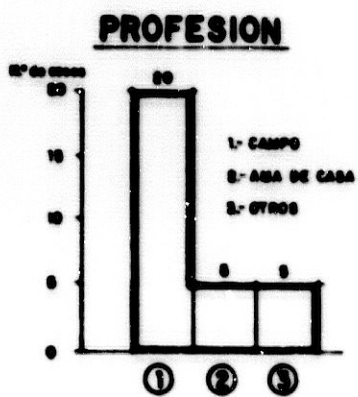
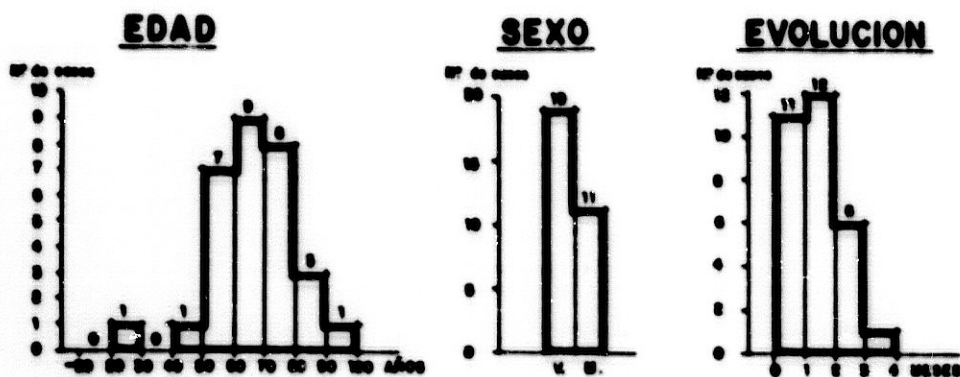
RESULTADOS COSMETICOS



1: +++ (69,23%)
2: ++ (30,76%)

RESULTADOS

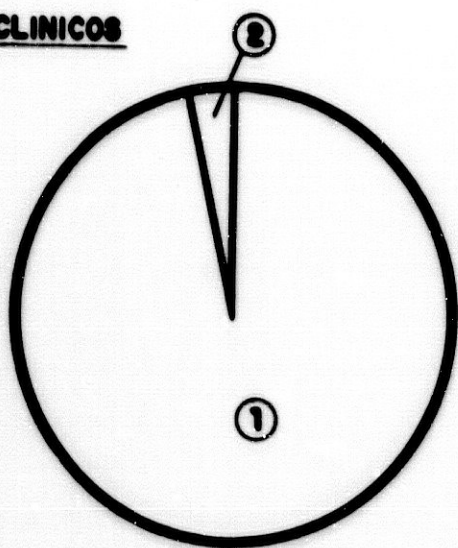
QUERATOACANTOMA : 30



RESULTADOS

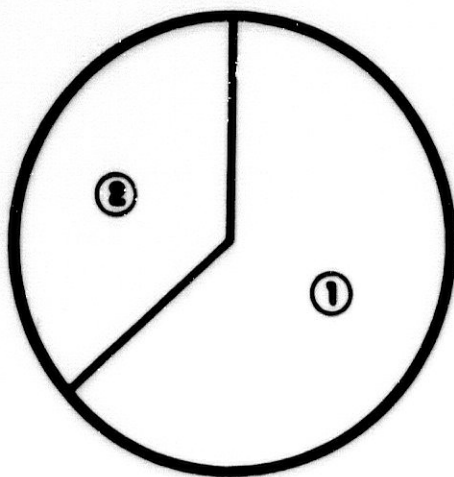
QUERATOACANTOMA

RESULTADOS CLINICOS



1: ++ (96.66%)
2: +++ (3.33%)

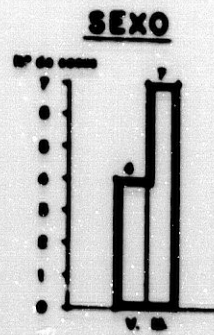
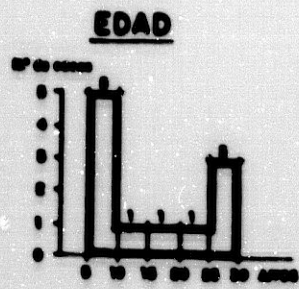
RESULTADOS COSMETICOS



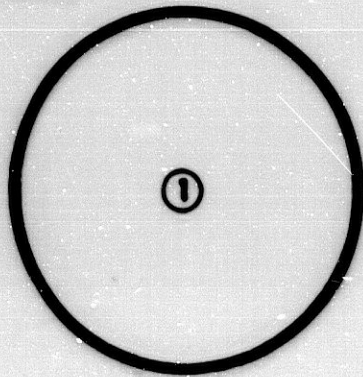
1: ++ (63.33%)
2: +++ (36.66%)

RESULTADOS

ANGIOMAS PLANOS

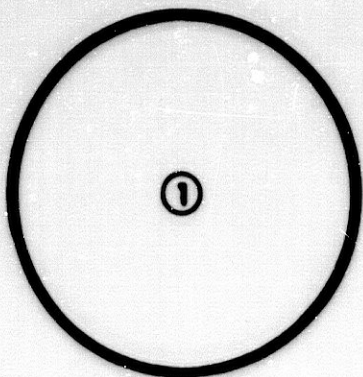


RESULTADOS CLINICOS



1: - (100,00%)

RESULTADOS COSMETICOS



1: - (100,00%)

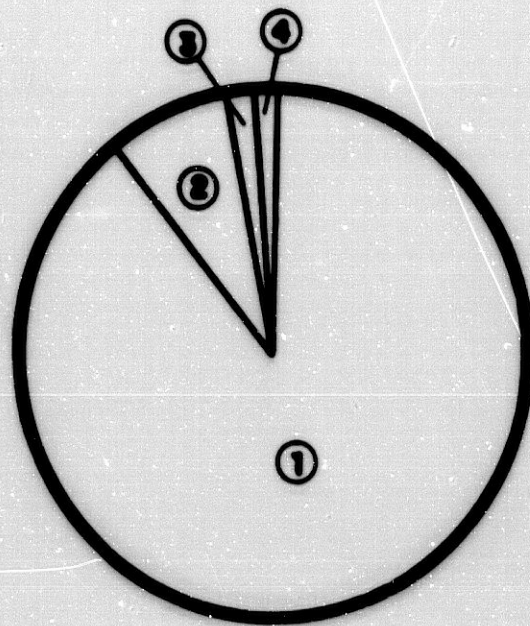
RESULTADOS

TUMORES BENIGNOS : COMPLICACIONES

I-NEVUS VERRUGOSO: _____ 10
1- DEPIGMENTACION : _____ 5 (50,00%)
II-NEVUS PIGMENTADO Y PILOSOS : 3
1- DEPIGMENTACION : _____ 3 (100,00%)
2- CICATRIZ RESIDUAL AL PROFUNDIZAR LA CONGELACION
III- VERRUGA SEBORREICA : _____ 26
1- DEPIGMENTACION : _____ 8 (30,76%)
2- JAQUECA : _____ 1 (3,84%)
IV- QUERATOACANTOMA: _____ 30
1- DEPIGMENTACION : _____ 11 (36,66%)
2- JAQUECA : _____ 1 (3,33%)
3- EDEMA INTENSO : _____ 1 (3,33%)
V- ANGIOMAS PLANOS : _____ 11
1- CICATRIZ (AL PROFUNDIZAR LA CONGELACION): _____
_____ 4 (36,66%)

RESULTADOS

PRECANCER : 118

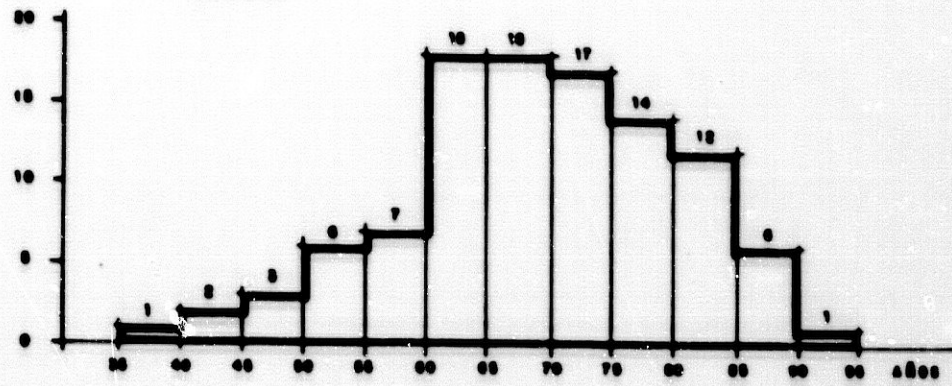


- 1- QUERATOMAS ACTINICOS: 105
- 2- LEUCOPLASIA YUGAL : 9
- 3- EPIDERMODISPLASIA VERRUCCIFORME : 2
- 4- XERODERMA PIGMENTOSO : 2

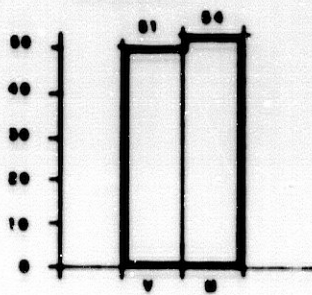
RESULTADOS

QUERATOMAS ACTINICOS

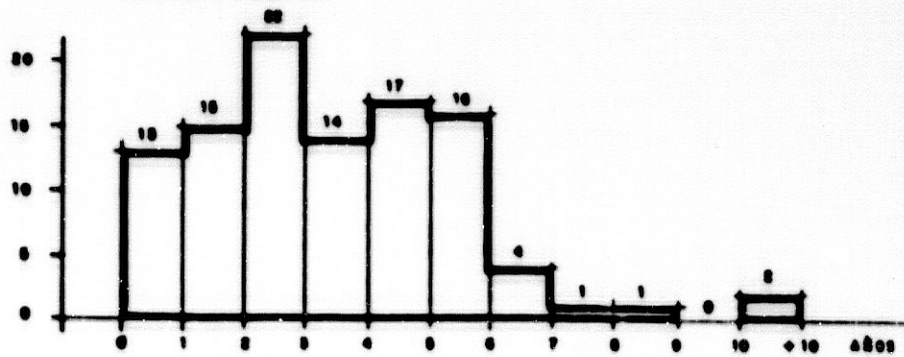
EDAD



SEXO



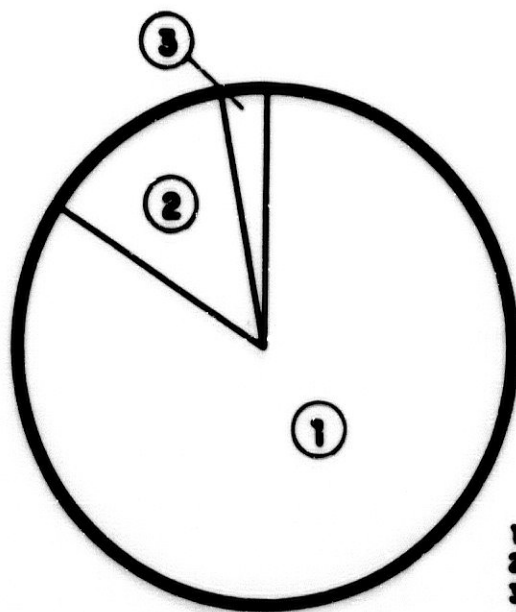
EVOLUCION



RESULTADOS

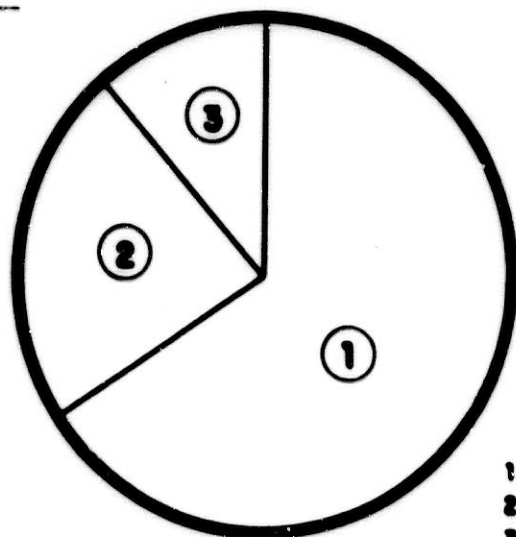
QUERATOMAS ACTINICOS

HABITAT



1: RURAL (83,80%)
2: URBANO (13,33%)
3: MARITIMO (2,85%)

PROFESION



1: CAMPESINOS (65,71%)
2: AMAS DE CASA (22,85%)
3: OTROS (11,42%)

RESULTADOS

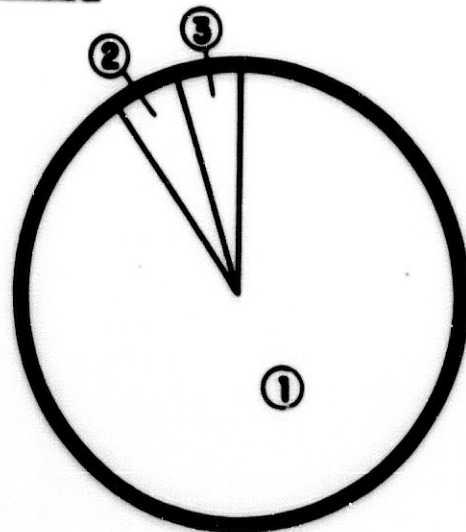
PRECANCER : LOCALIZACION

CUERO CABELLUDO : _____	3
FRENTE : _____	7
PIRAMIDE NASAL : _____	17
MEJILLAS : _____	33
BIEN : _____	3
PABELLON AURICULAR : _____	9
DORSO DE MANO : _____	8
CANTHUS INTERNO : _____	1
PARPADO INFERIOR : _____	1
PIERNA : _____	1
MULTIPLES : _____	22

RESULTADOS

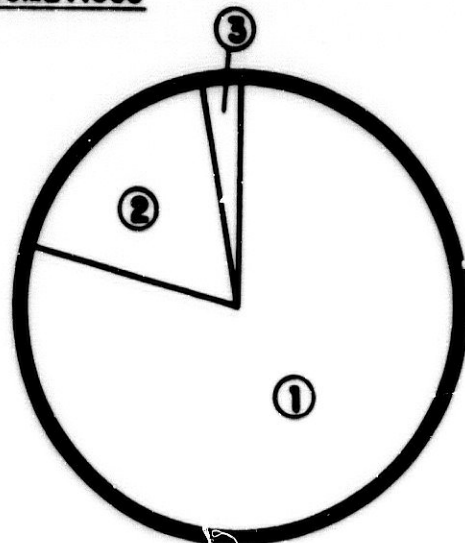
QUERATOMAS ACTINICOS

RESULTADOS CLINICOS



1: ++ (90.47%)
2: ++ (4.76%)
3: + (4.76%)

RESULTADOS COSMETICOS



1: ++ (79.52%)
2: ++ (18.09%)
3: + (2.59%)

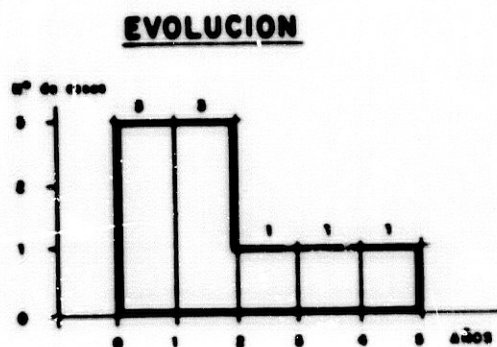
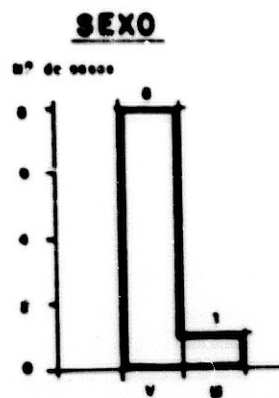
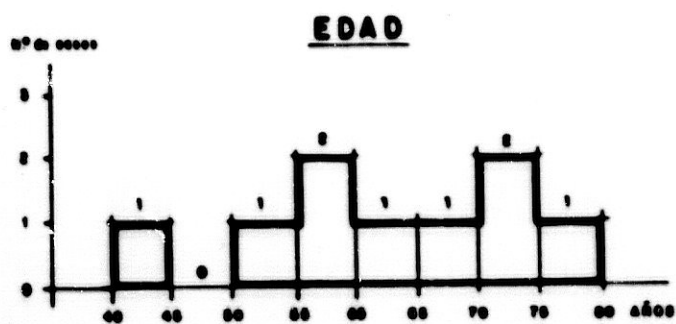
RESULTADOS

QUERATOMAS ACTINICOS: COMPLICACIONES

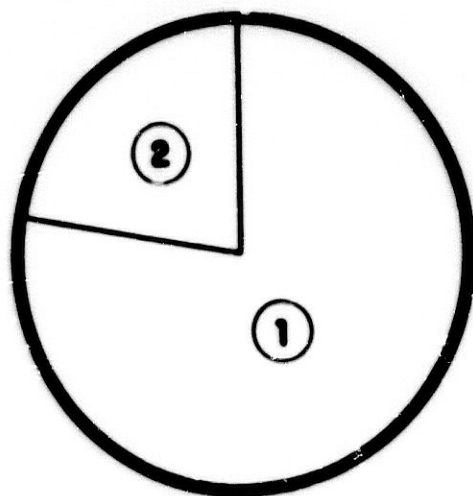
1.- DEPIGMENTACION: _____	20 (19,04%)
2.- EDEMA CONFLUENTE: _____	12 (11,42%)
3.- JAQUECA: _____	4 (3,80%)
4.- IMPETIGINIZACION: _____	2 (1,90%)
5.- AMPOLLAS HEMORRAGICAS: ___	1 (0,95%)
6.- CICATRIZ RESIDUAL: _____	3 (2,85%)

RESULTADOS

PRECANCER : LEUCOPLASIA YUGAL



RESULTADOS CLINICOS

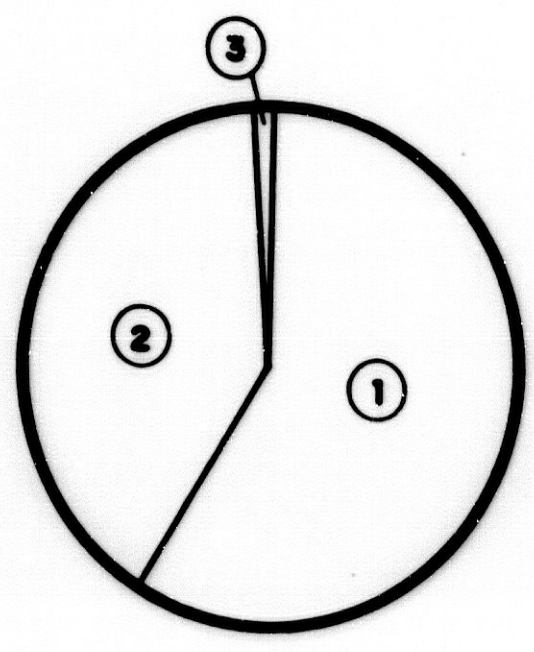


1: +++ (77,77%)

2: ++ (22,22%)

RESULTADOS

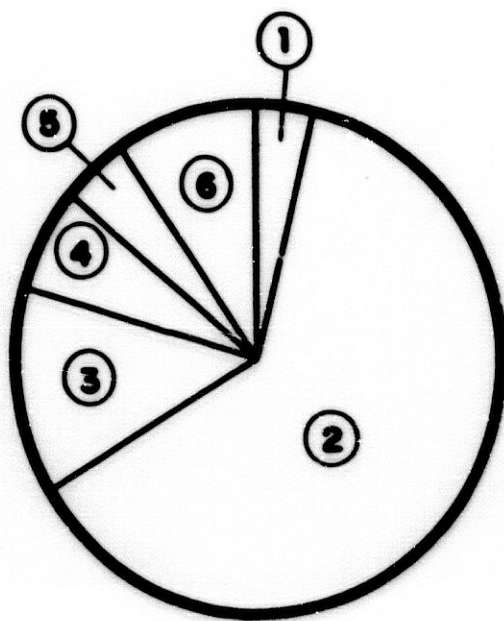
CANCER CUTANEO - MUCOSO: 182



- 1: EPITELIOMAS BASOCELULARES: 107
- 2: CARCINOMAS ESPINOCELULARES: 73
- 3: MELANOMAS SUPERFICIALES: 2

RESULTADOS

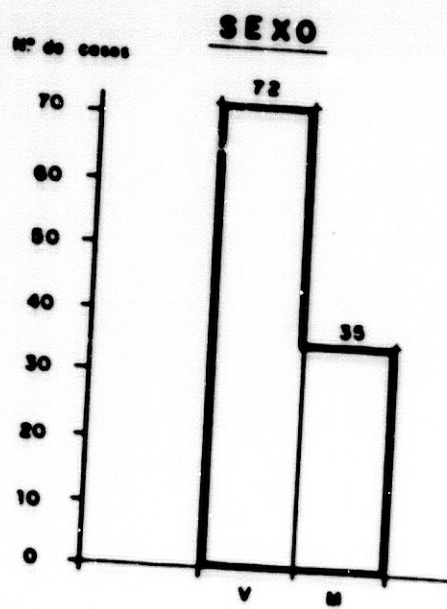
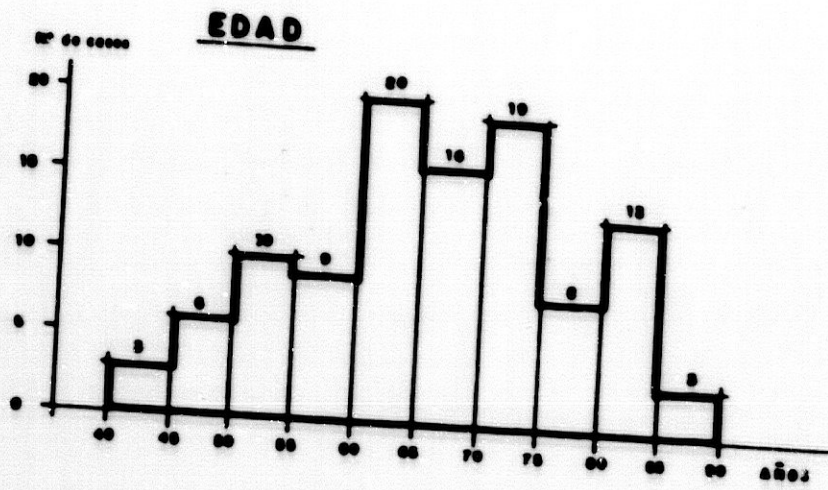
EPITELIOMAS BASOCELULARES: FORMAS CLINICAS



- 1: PAGETOIDE (3,73%)
- 2: PERLADO SIMPLE (62,61%)
- 3: PERLADO Y ULCERADO (13,08%)
- 4: PERLADO Y PLANO-CICATRIZAL (6,54%)
- 5: QUISTICO: (4,97%)
- 6: PIGMENTADOS (9,38%)

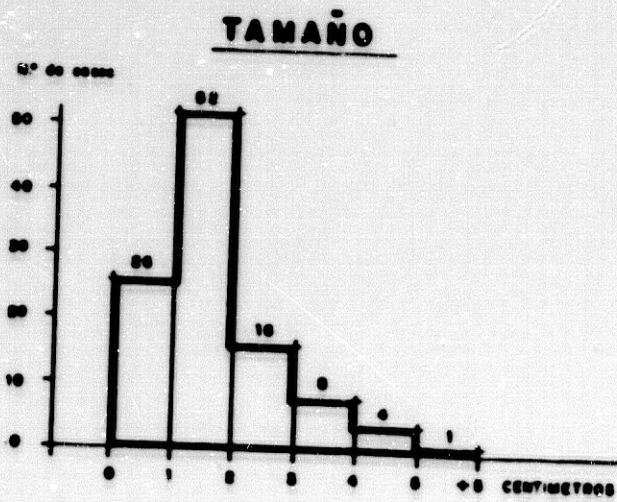
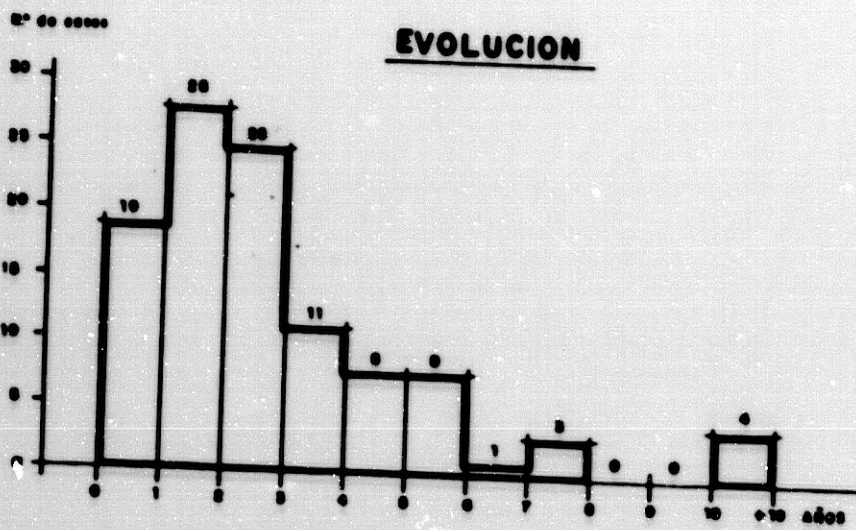
RESULTADOS

EPITELIOMAS BASOCELULARES



RESULTADOS

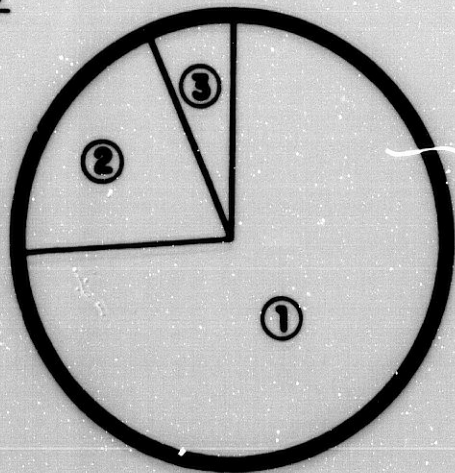
EPITELIOMAS BASOCELULARES



RESULTADOS

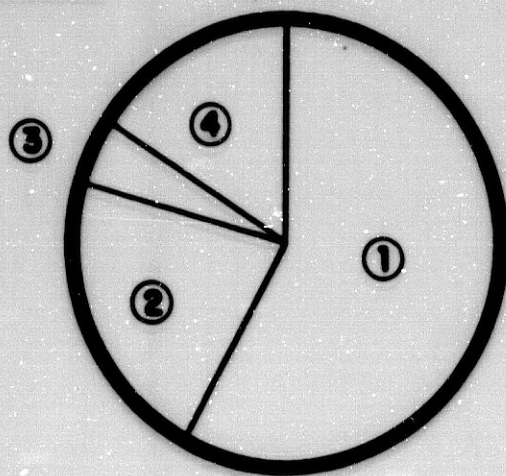
EPITELIOMAS BASOCELULARES

HABITAT



1: RURAL (73,83%)
2: URBANO (19,62%)
3: MARITIMO (6,59%)

PROFESION



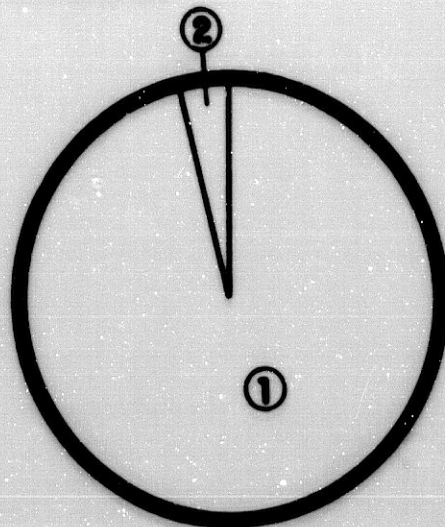
1: CAMPO (57,94%)
2: AMAS DE CASA (21,49%)
3: PESCADORES (4,67%)
4: OTRAS (15,88%)

EPITELIOMAS BASOCELULARES

LOCALIZACION	
CUERO CABELLUDO	1
FRENTE	10
GLABELA	1
SIEN	11
CANTHUS INTERNO	9
MEJILLA	22
PIRAMIDE NASAL	27
SURCO NASO-FACIAL	3
SURCO NASOGENIANO	1
PREAURICULAR	4
RETROAURICULAR	4
PABELLON AURICULAR	2
LABIO SUPERIOR	3
MENTON	1
CERVICAL	2
TORAX	6

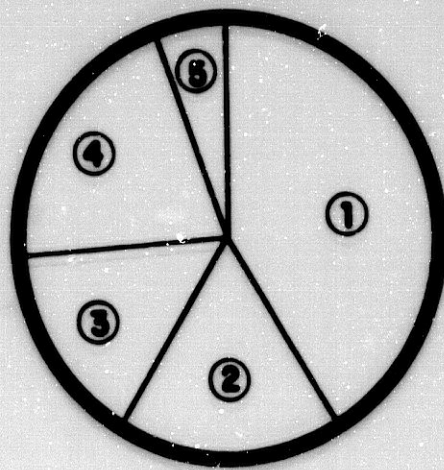
EPITELIOMAS BASOCELULARES

RESULTADOS CLINICOS



1: ++ (96,25%)
2: - (3,75%)

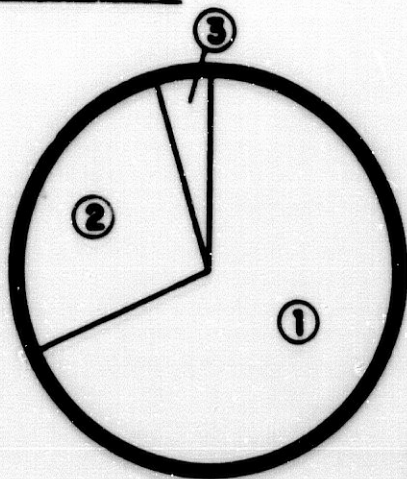
CONTROL POSTERIOR



1: 5 AÑOS (41,12%)
2: 4 AÑOS (17,45%)
3: 3 AÑOS (14,95%)
4: 2 AÑOS (20,96%)
5: 1 AÑO (8,60%)

EPITELIOMAS BASOCELULARES

RESULTADOS COSMETICOS



1: +++ (68.22%)

2: ++ (27.10%)

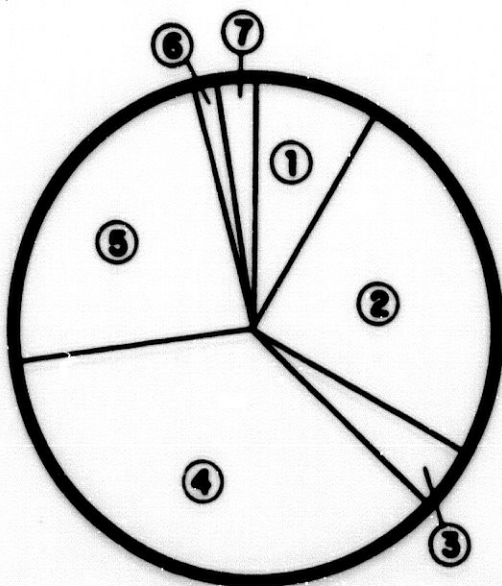
3: + (4.67%)

COMPLICACIONES

PIGMENTACION	2	(1.86%)
DEPIGMENTACION	30	(28.03%)
EDEMA INTENSO	4	(3.73%)
JAQUECA	6	(5.66%)
HIPERPLASIA PSEUDOCARCINOMATOSA	8	(7.47%)
CICATRIZ DEPRIMIDA	4	(3.73%)
CICATRIZ HIPERTROFICA	1	(0.93%)
QUISTES DE MILLIUM	1	(0.93%)

CARCINOMAS ESPINOCELULARES

I.- FORMAS CLINICAS

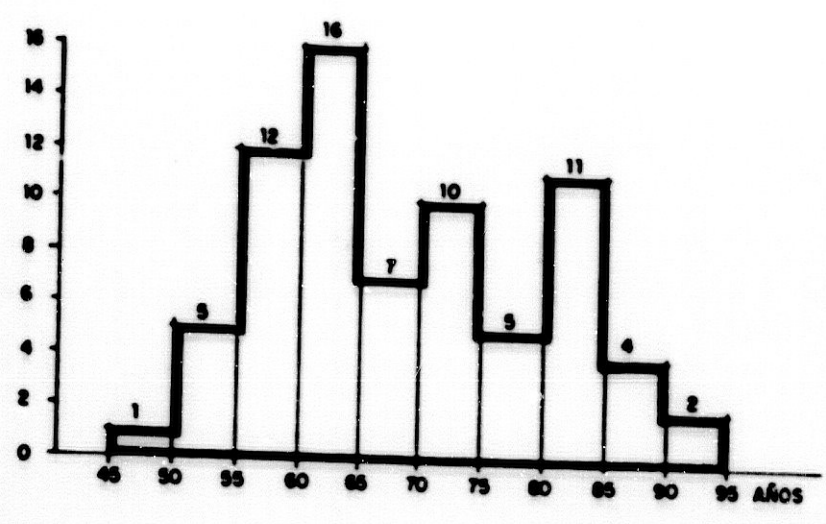


1- ENFERMEDAD DE BOWEN: _____	8.21 %
2- CUERNO CUTANEO: _____	24.65 %
3- CARCINOMA EN PASTILLA : _____	4.10 %
4- C. ESPINOCELULAR EN CUPULA: ...	35.61 %
5- FORMA ULCERO-VEGETANTE : _____	23.28 %
6- C. PENETRANTE Y DESTRUCTOR: ..	1.36 %
7- OTROS DIAGNOSTICOS PREVIOS : _	2.73 %

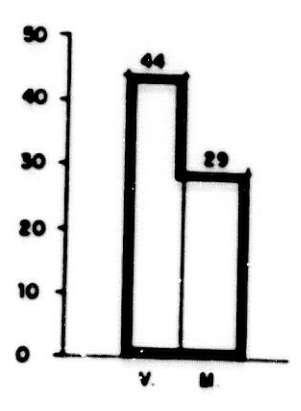
CARCINOMAS ESPINOCELULARES

II.- EDAD Y SEXO

EDAD

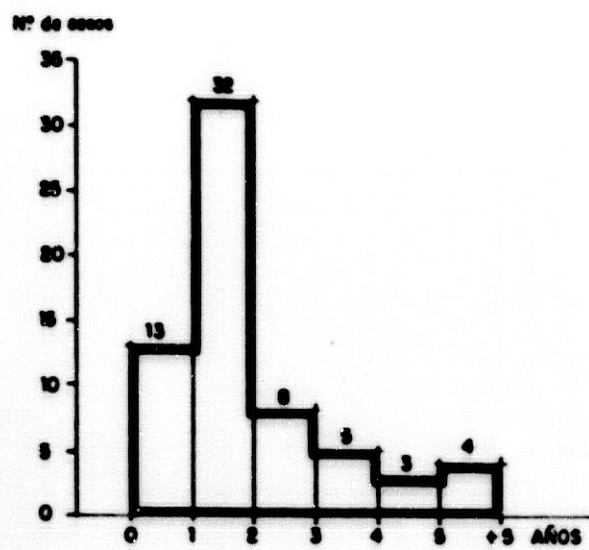


SEXO

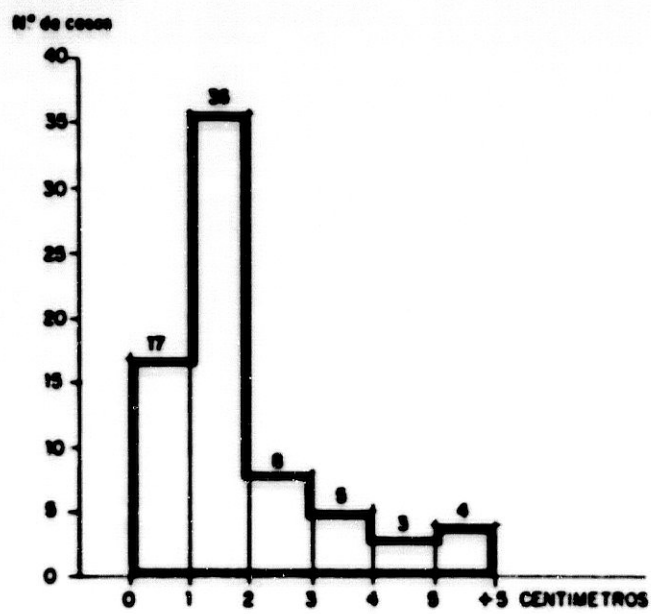


CARCINOMAS ESPINOCELULARES

III- TIEMPO DE EVOLUCION

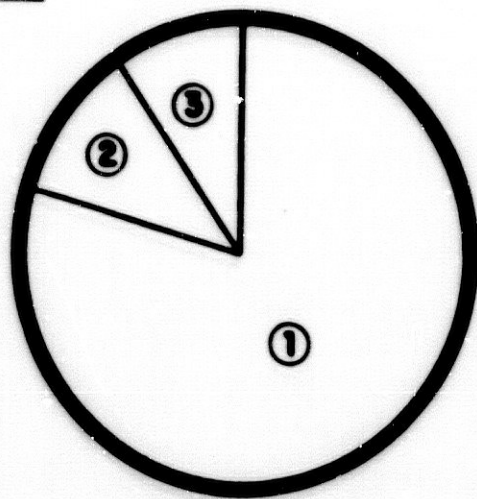


IV- TAMAÑO



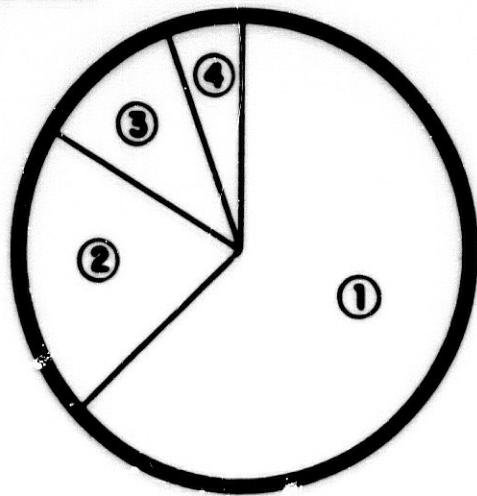
CARCINOMAS ESPINOCELULARES

V.- HABITAT



- 1: RURAL ____ (79.45 %)
- 2: URBANO ____ (10.95%)
- 3: MARITIMO _ (9.58%)

VI.- PROFESION



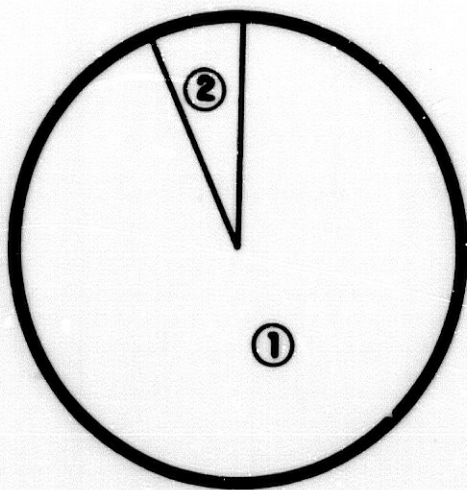
- 1: CAMPO ____ (63.03%)
- 2: AMAS DE CASA (20.54%)
- 3: PESCADORES _ (9.47%)
- 4: OTROS ____ (10.94%)

CARCINOMAS ESPINOCELULARES

VI.- LOCALIZACION	
CUERO CABELLUDO	2
FRENTE	7
SIEN	7
PREAURICULAR	7
RETROAURICULAR	2
PABELLON AURICULAR	7
MEJILLA	11
NARIZ	7
CANTHUS INTERNO	1
LABIO SUPERIOR	1
MENTON	1
CERVICAL	1
TORAX	1
BRAZO	2
DORSO DE MANO	15
PIERNA	1

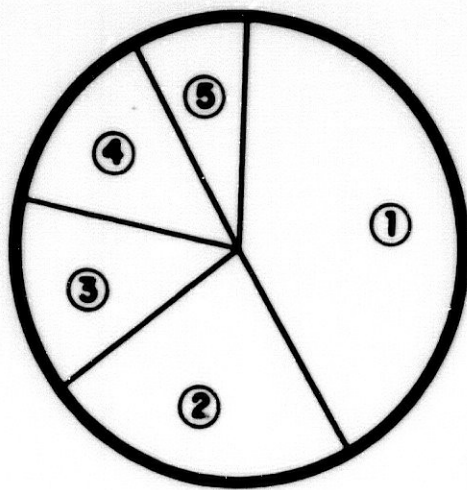
CARCINOMAS ESPINOCELULARES

VII.- RESULTADOS CLINICOS



1: ++ (93,15%)
2: - (6,84%)

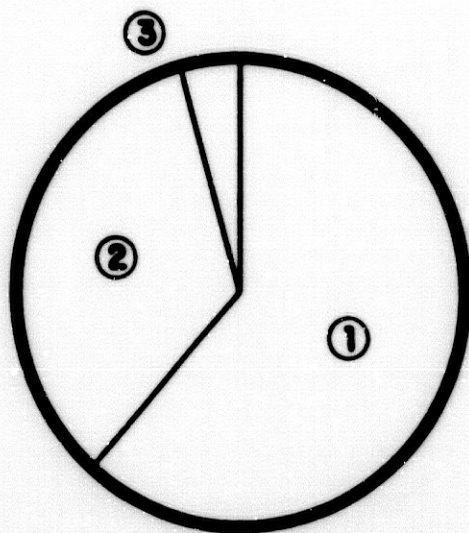
VIII.- CONTROL POSTERIOR



1: 5 AÑOS (41,09%)
2: 4 AÑOS (23,28%)
3: 3 AÑOS (13,69%)
4: 2 AÑOS (13,39%)
5: 1 AÑO (8,21%)

CARCINOMAS ESPINGCELULARES

IX.- RESULTADOS COSMETICOS



1: +++ (61,64 %)
 2: ++ (34,24 %)
 3: + (4,10 %)

X.- COMPLICACIONES

DEPIGMENTACION _____	25	(34,24%)
JAUQUCA _____	5	(6,84%)
EDEMA CONFLUENTE _____	2	(2,73%)
HIPERPLASIA PSEUDO-CARCINOMATOSA _____	2	(2,73%)
CICATRIZACION LENTA _____	3	(4,10%)
NECROSIS CARTILAGO _____	1	(1,36%)
CICATRIZ RESIDUAL _____	2	(2,73%)
AMPOLLAS INTENSAS _____	1	(1,36%)

V.- RESULTADOS HISTOLOGICOS

Biopsias "punch" de 5 mm. de diámetro. Después aplicación de N.L., superficial en precáncer y profunda en tumores malignos.

I.- MICROSCOPIA OPTICA:

I.1.- CRIOTERAPIA SUPERFICIAL: QUERATOMAS ACTINICOS

(Fig. 89).

1.- A los 30 minutos:

- Ampolla por despegamiento epidermo-dérmico, por encima de la membrana basal (Fig. 90 y 91).

2.- A los 45 minutos:

- Vasodilatación y hemorragia.
- Densos infiltrados inflamatorios.

3.- A las 24 horas:

- Zonas de necrosis
- Focos hemorrágicos
- Glándulas sebáceas sin alteraciones evidentes (Fig. 92)

- Glándulas sudoríparas eccrinas intactas

(Fig. 93)

4.- A las 48 horas:

- Tejido de granulación abundante
- Hiperemia y edema
- Folículos pilosebáceos intactos, con actividad de la vaina epitelial externa (Fig. 94).

5.- A las 72 horas (Fig. 95):

- Zonas de necrosis
- Hiperemia y edema
- Infiltrados de polinucleares y algunas células redondas en dermis profunda.

6.- A los 7 días:

- Tejido de granulación inflamatorio (Fig. 96)
- Capilares dilatados. Vénulas trombosadas, algunas en vías de recanalización (Fig. 97)
- Glándulas eccrinas intactas, con cierta actividad
- Glándulas sebáceas en regeneración
- Neoformación capilar

7.- A los 14 días (Fig. 98):

- Epidermis regenerada
- Anejos normales

- Edema en la dermis

I.2.- CRIOTERAPIA PROFUNDA:

I.2.1.- EPITELIOMAS BASOCELULARES:

1.- A los 30 minutos:

- Separación epidermo-dérmica (Fig. 99)
- Congestión de la dermis
- Edema que separa los nidos tumorales, de contornos irregulares.
- Alteraciones celulares incipientes en el interior de los lóbulos tumorales (Fig. - 100).
- En la masa tumoral espacios claros intercelulares por cristales de hielo provocados durante la congelación (Fig. 101)

3.- A las 24 horas:

- Necrosis de epidermis
- Vacuolización del cuerpo mucoso de Malpighio
- Destrucción de la arquitectura del basalioma, con zonas vacías que corresponden a cristales de hielo (Fig. 102). Edema y vacuolización de sus células.

4.- A las 48 horas:

- Congestión de los microvasos
- Picnosis nuclear de las células tumorales, con nucleolos evidentes

5.- A las 72 horas:

- Necrosis dérmica y hemorrágica. Intensa degeneración fibrinoide.
- Restos de células tumorales mezcladas con elementos inflamatorios (Fig. 103).
- Lesión del endotelio capilar, con depósitos de fibrina y trombos.
- Necrosis arteriolar. Endotelio totalmente destruido y depósitos de fibrina en su pared.
- Vasos exangües, sin circulación.

6.- A los 7 días:

- Ausencia de epidermis
- Desaparición de las células tumorales, con abundantes células inflamatorias e histiocitos.
- Notables alteraciones vasculares, con revascularización y neoformación capilar.

- Tejido de granulación

7.- A los 14 días (Fig. 104):

- Tejido de granulación inflamatorio

- No se observan células tumorales

- Prosigue la actividad regeneradora y comienza la epidermización.

8.- A los 21 días:

- Epidermización casi completa

- Neoformación capilar

I.2.2.- CARCINOMAS ESPINOCELULARES:

1.- A los 30 minutos:

- Fenómenos hemorrágicos

- Separación de los lóbulos tumorales, con espacios claros entre las células, debido a la formación de cristales de hielo (Fig. 105).

2.- A las 24 horas:

- Reducción de las células tumorales, con notables alteraciones morfológicas

3.- A los 5 días (Fig. 106):

- Desaparecen las células tumorales

- Tejido de granulación

- Trombosis vascular

4.- A los 7 días (Fig. 107):

- Extensas zonas de necrosis
- Vasculitis, con vasos dilatados y trombosis
- Intensa fibrosis
- Fenómenos hemorrágicos

5.- A los 10 días:

- Abundante tejido de granulación
- Neoformación capilar
- Edema. Capilares obliterados. Vénulas trombosadas en vías de recanalización (Fig. 108).

6.- A los 18 días: (Fig. 109):

- Neoformación capilar
- Tejido de granulación inflamatorio
- Fibrosis
- Comienza la epidermización

7.- A los 30 días:

- Epidermización completa
- Neoformación capilar

II.- MICROSCOPIA ELECTRONICA

1.- A los 30 minutos:

- Cariorrexis (Fig. 112)
- La cromatina parece condensarse en gruesos grumos (Fig. 112).
- Pérdida y ruptura de la membrana nuclear (Fig. 113)
- Dilatación del retículo endoplásmico y degeneración de las mitocondrias, con pérdida de sus crestas (Fig. 114)
- Tonofilamentos y desmosomas sin alteraciones significativas
- Algunos elementos celulares muestran evidentes cambios necróticos

2.- A las 24 horas: Fenómenos necróticos muy evidentes

- Ruptura y pérdida de la membrana celular (Fig. 115).
- Cariolisis (Fig. 115)
- Restos citoplásmicos aislados. Es difícil evidenciar las organelas citoplásmicas (Fig. 116).
- Persisten algunas mitocondrias y tonofila

mentos.

VII.- ICONOGRAFIA

FIGURA No 1

Sistema de Criocirugía modelo C-76.

(Frigitronic Inc.)

FIGURA No 2

Crioaplicadores sólidos y salidas de "spray".

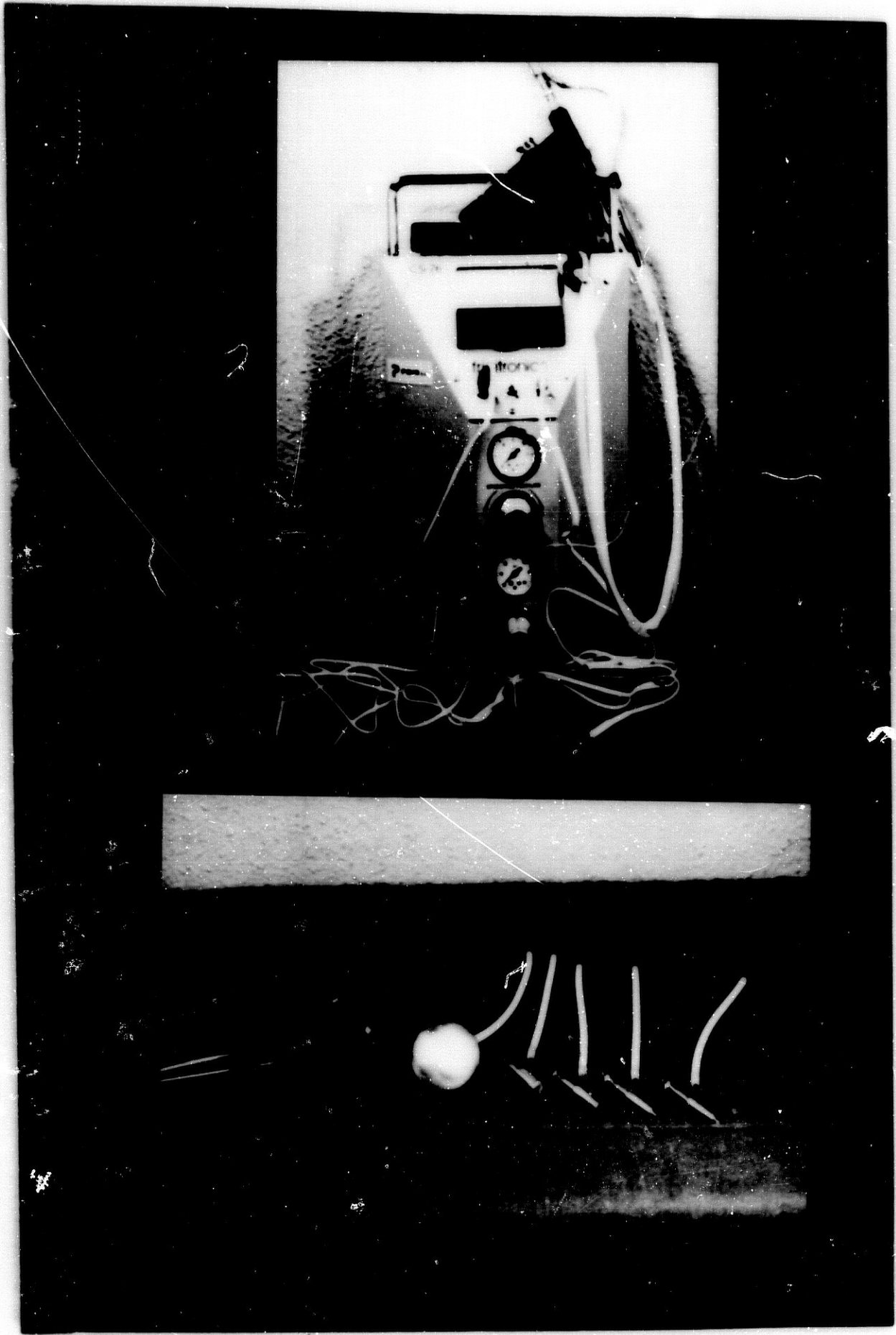


FIGURA Nº 3. OBSERVACION Nº 1.

Verrugas vulgares en disposición lineal.

FIGURA Nº 4. OBSERVACION 1.

6 meses después de Criocirugía. Queda ligera depigmentación.



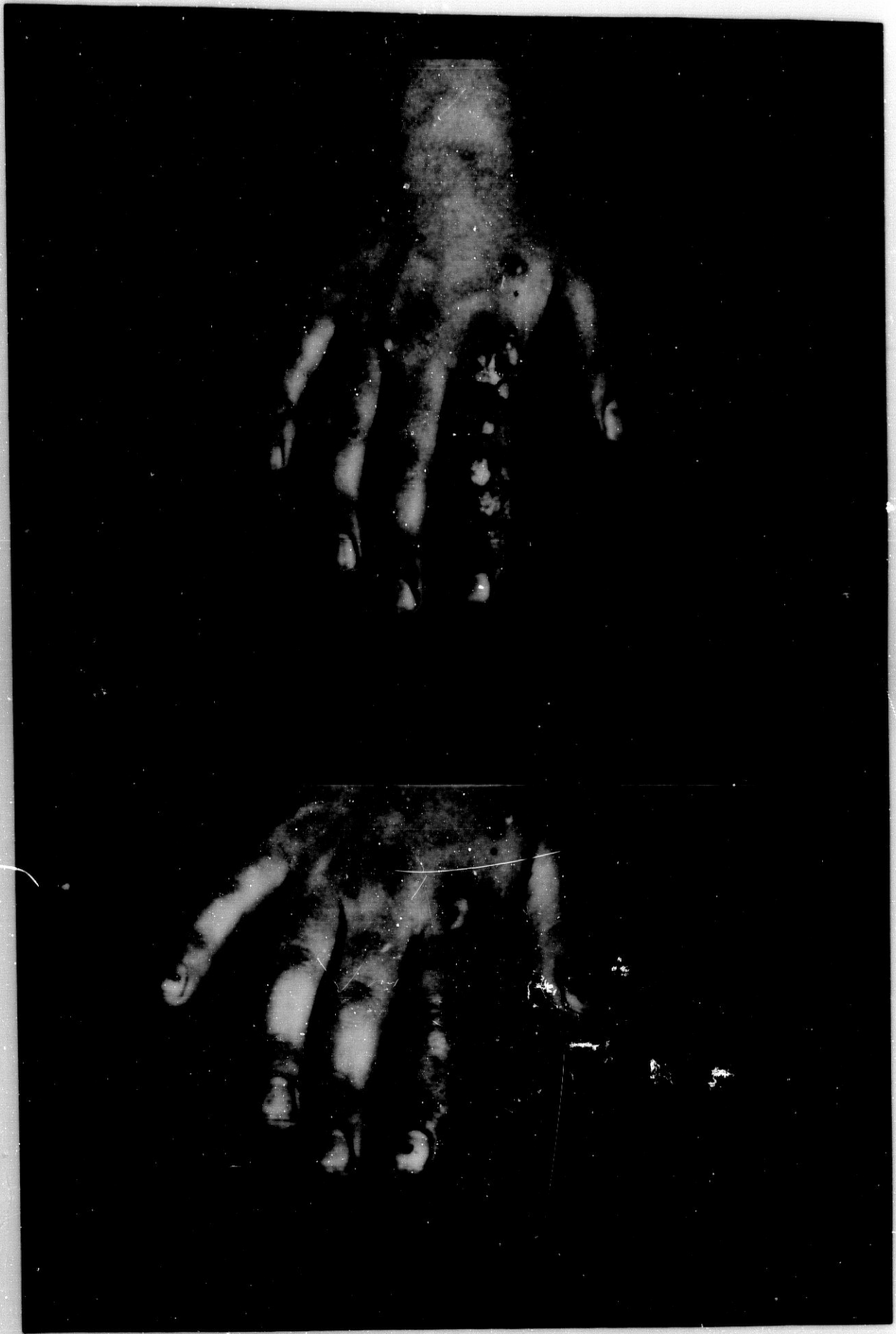
ת
ס
ס
ת

FIGURA Nº 5. OBSERVACION 102.

Verrugas vulgares múltiples.

FIGURA Nº 6. OBSERVACION 102.

2 meses después de Criocirugía. Depigmentación residual.



PC
00
JC
JC

FIGURA Nº 7. OBSERVACION 3.

Verrugas vulgares múltiples.

FIGURA Nº 8. OBSERVACION 3.

6 meses después de Criocirugía.

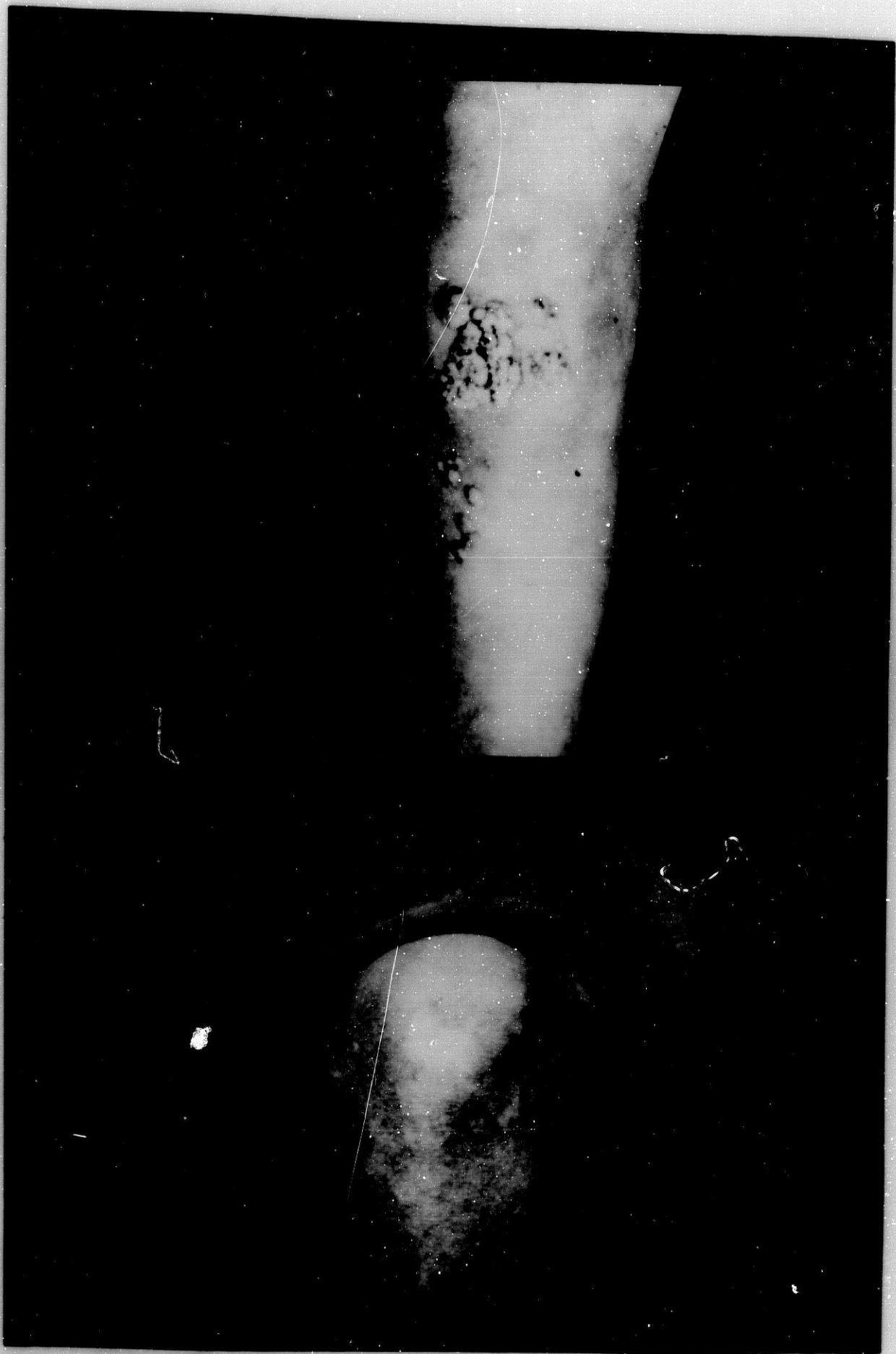


FIGURA Nº 9. OBSERVACION 121.

Verrugas periungueales

FIGURA Nº 10. OBSERVACION 121.

6 meses después de crioterapia. Curación completa sin lesionar la uña.

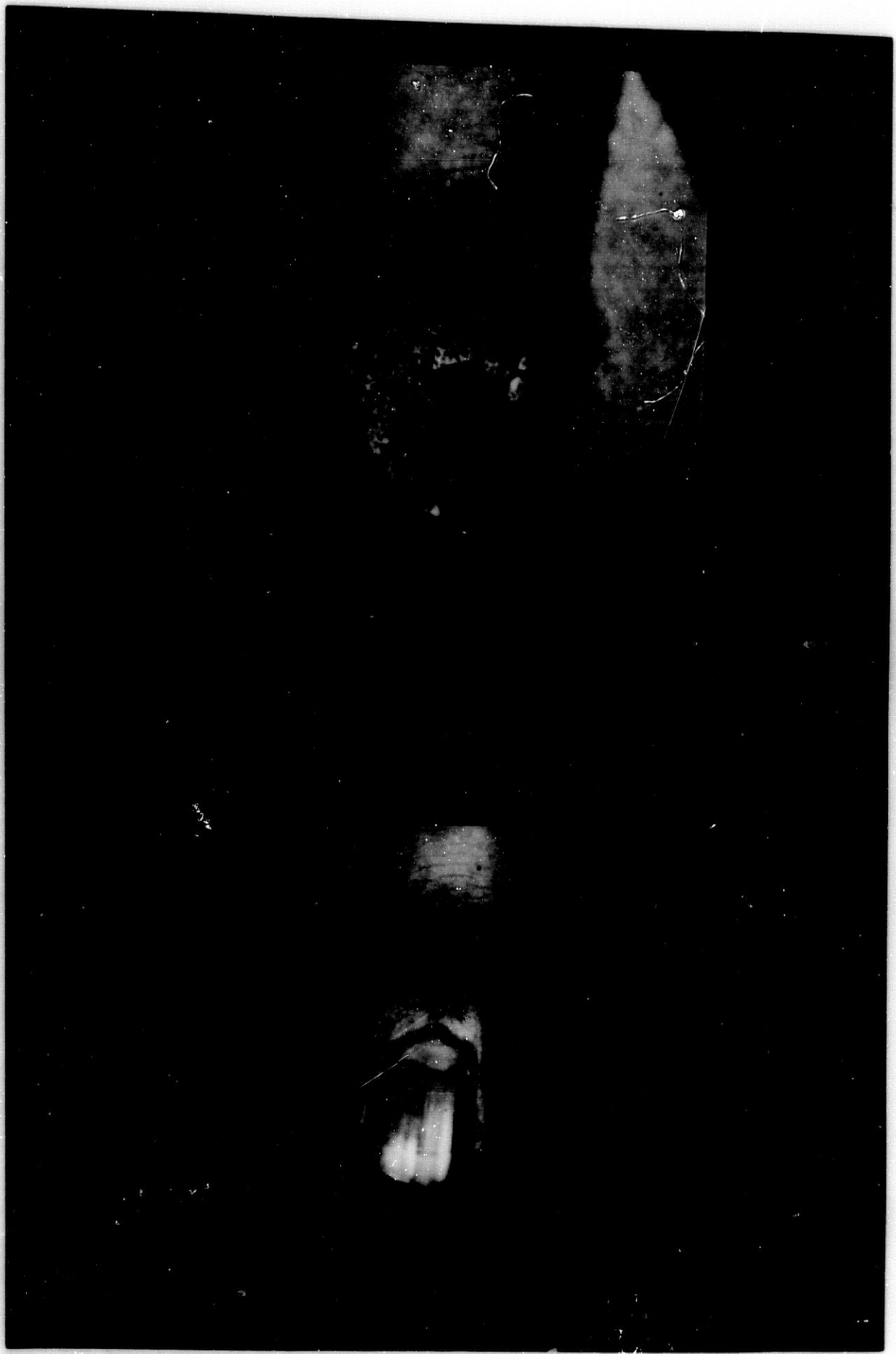


FIGURA Nº 11. OBSERVACION 131.

Verrugas periungueales

FIGURA Nº 12. OBSERVACION 131.

2 meses después de crioterapia. Respeta la matriz ungueal.

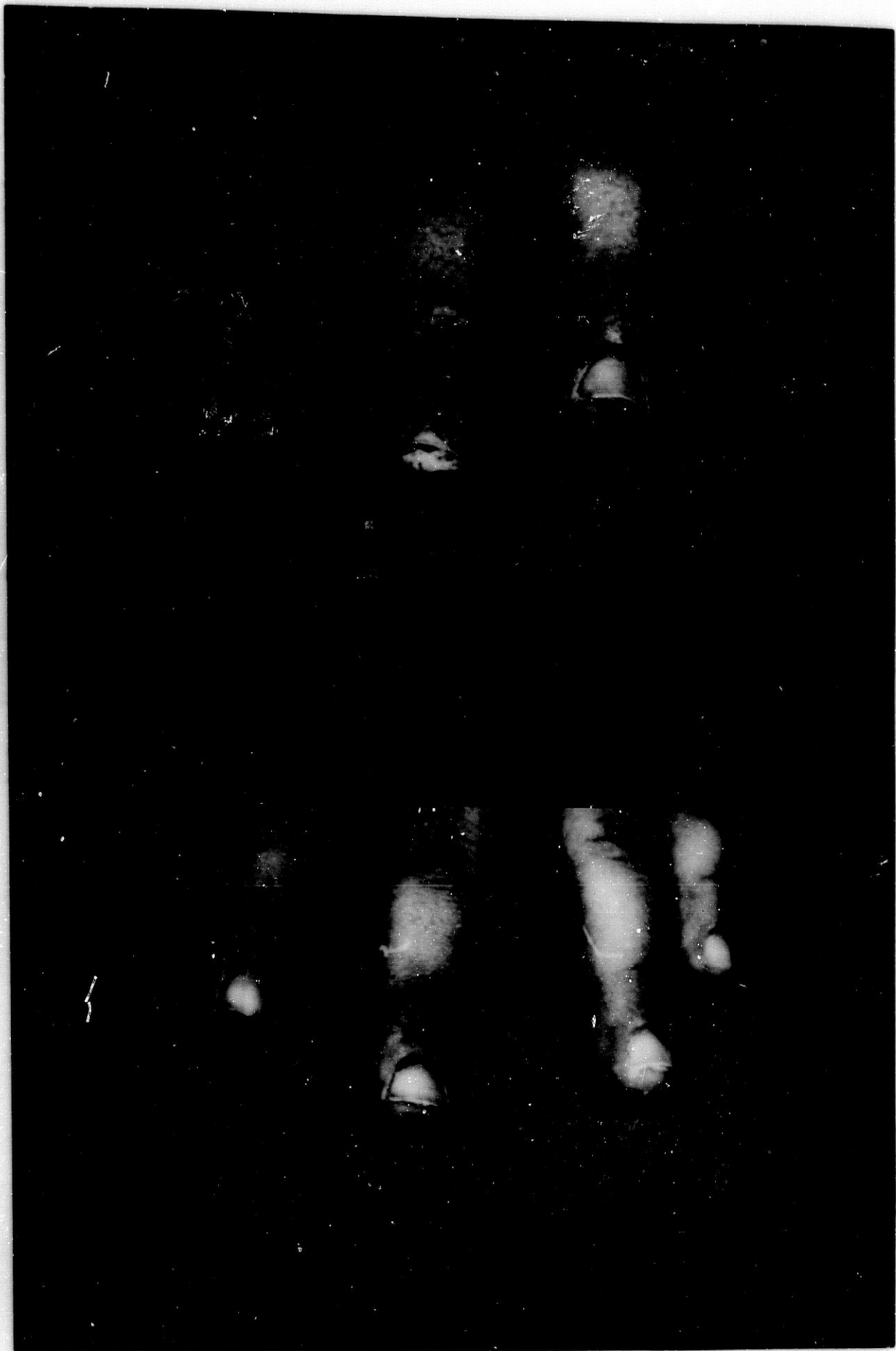


FIGURA Nº 13. OBSERVACION 191.

Verruga subungueal.

FIGURA Nº 14. OBSERVACION 191.

12 meses después de crioterapia. Bien soportada por la matriz ungueal.



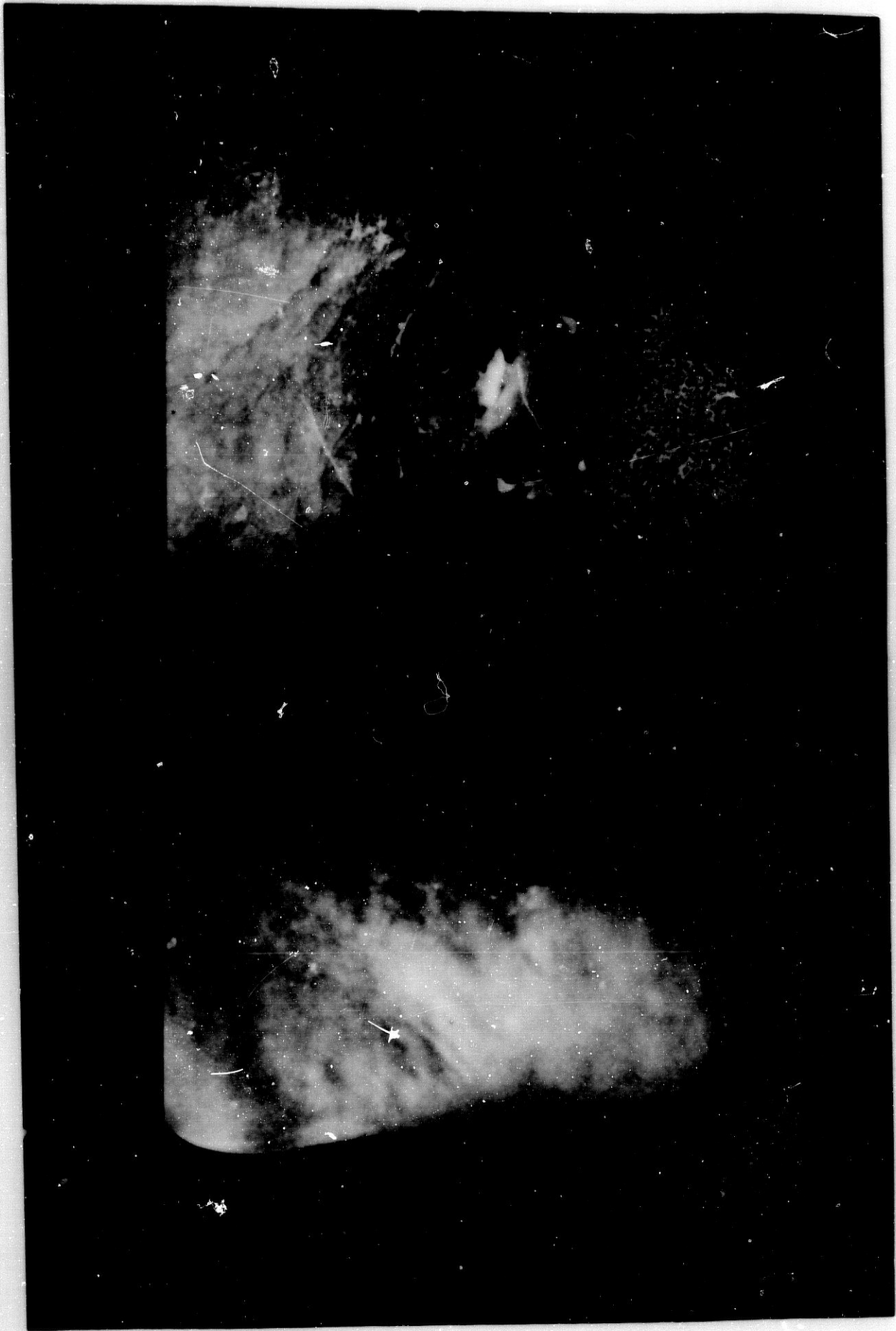
30
00
00
30

FIGURA Nº 15. OBSERVACION 66.

Verruga plantar.

FIGURA Nº 15. OBSERVACION 66.

2 meses después de Criocirugía. Resultado muy satisfactorio.



01
00
00
00

FIGURA Nº 17. OBSERVACION 246.

Granuloma piógeno pigmentado en palma de mano.

Comprobación histológica.

FIGURA Nº 18. OBSERVACION 246.

2 meses después de Crioterapia. Desaparición

completa.

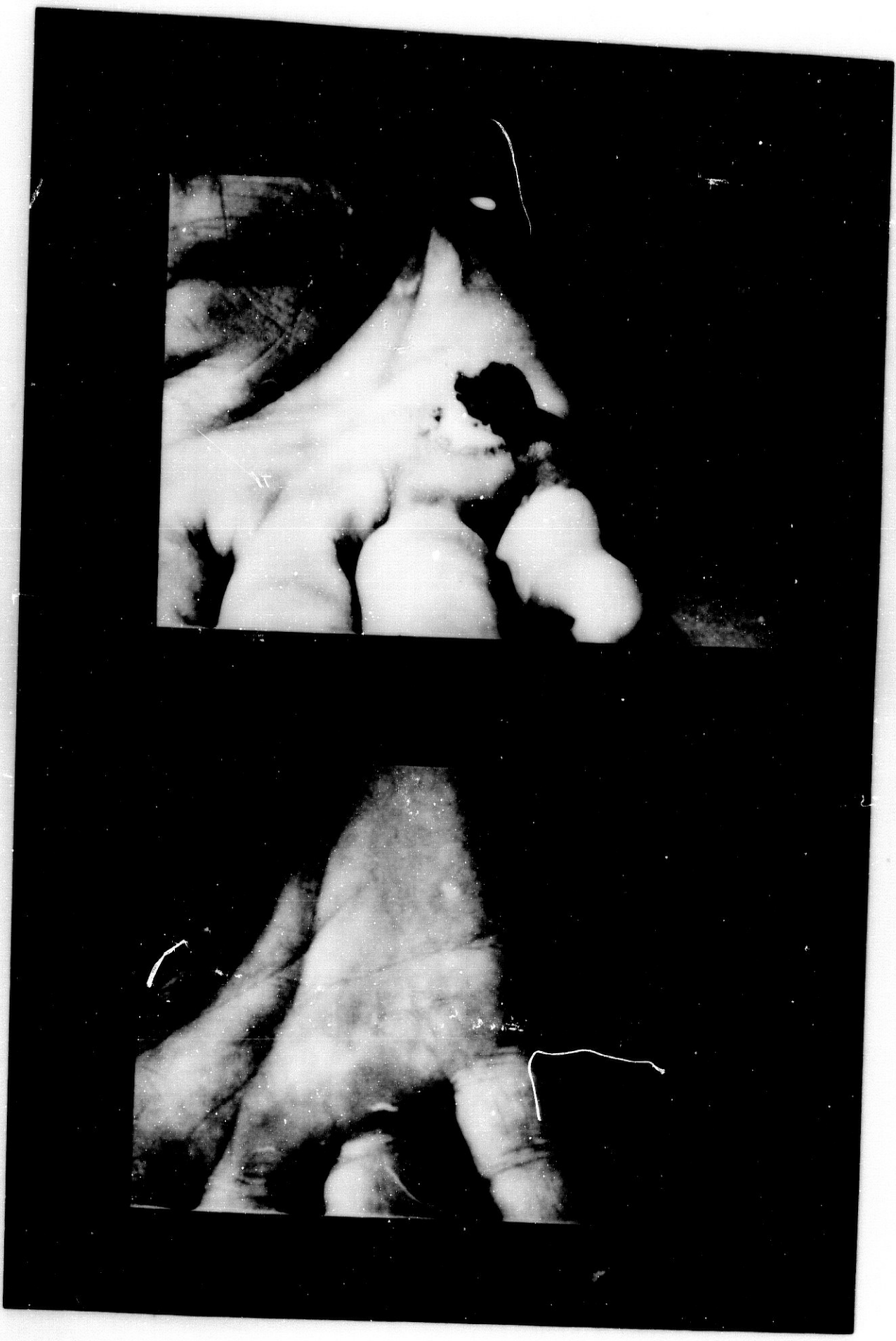


FIGURA Nº 19. OBSERVACION 250.

Leishmaniosis cutánea en mejilla.

FIGURA Nº 20. OBSERVACION 250.

1 mes después de Criocirugía. Leve depigmentación

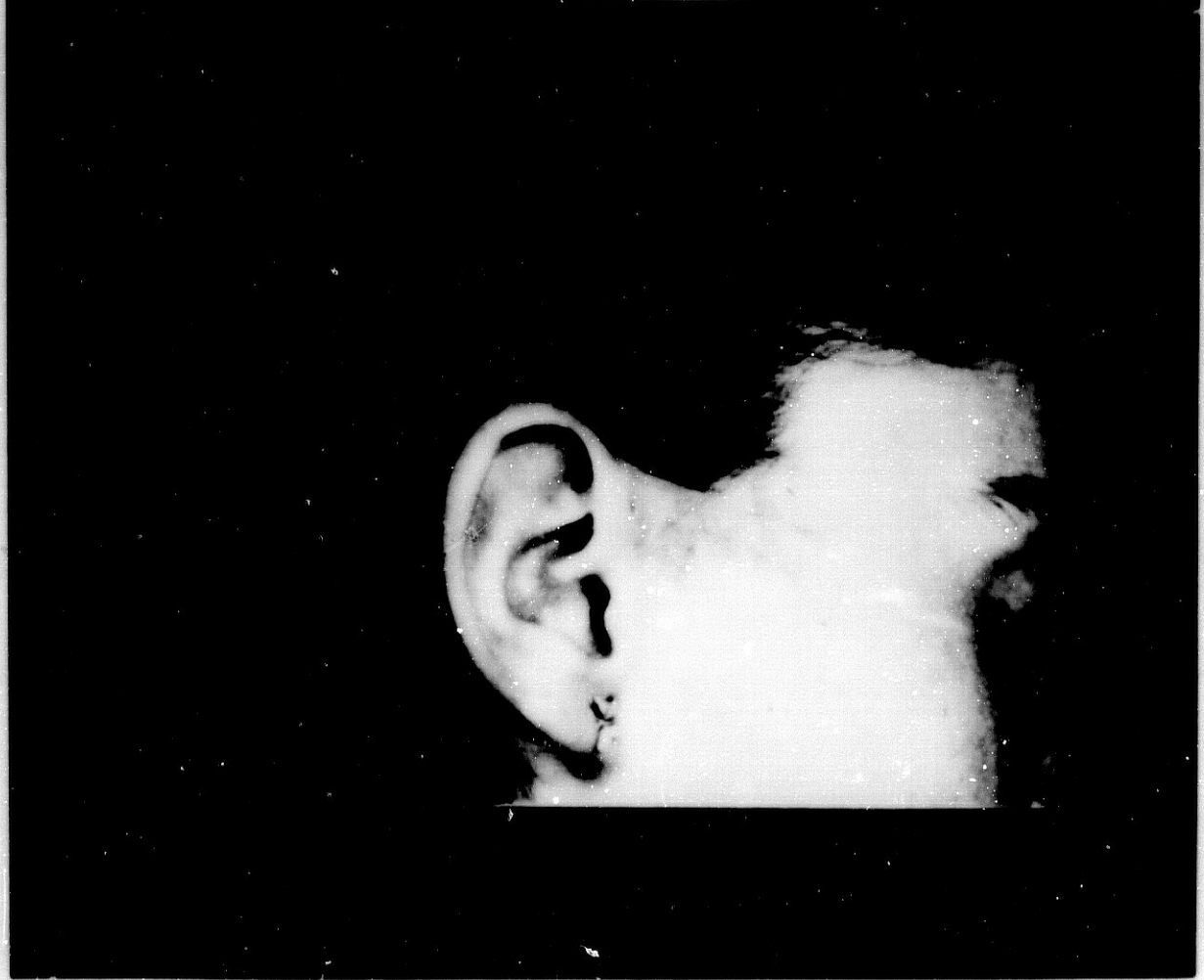


FIGURA Nº 21. OBSERVACION 263.

Leishmaniosis cutánea preauricular.

Figura Nº 22. OBSERVACION 263.

2 meses después de Criocirugía. Leve depigmentación.



ה
ס
ס
ח

FIGURA Nº 23. OBSERVACION 255.

Leishmaniosis cutánea mejilla.

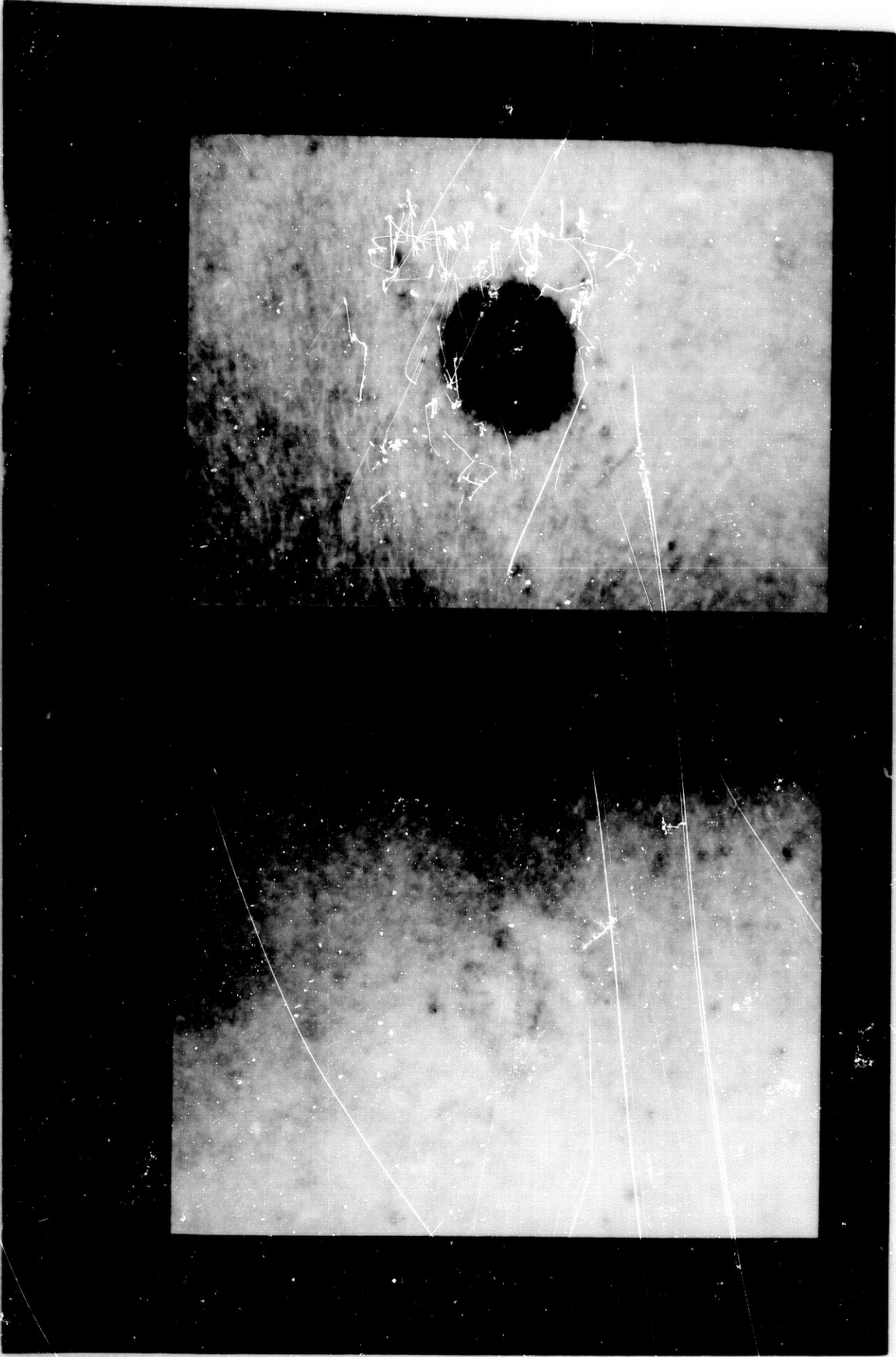
FIGURA Nº 24. OBSERVACION 255.

2 meses después de Criocirugía. Leve depigmen-
tación.



FIGURA Nº 25. OBSERVACION 273.
Nevus verrugoso en espalda.

FIGURA Nº 26. OBSERVACION 273.
2 meses después de Criocirugía.



00
00
00

FIGURA Nº 27. OBSERVACION 274.

Nevus verrugoso frente. (Coexiste acné polifor
mo juvenil).

FIGURA Nº 28. OBSERVACION 274.

2 meses después de Criocirugía.



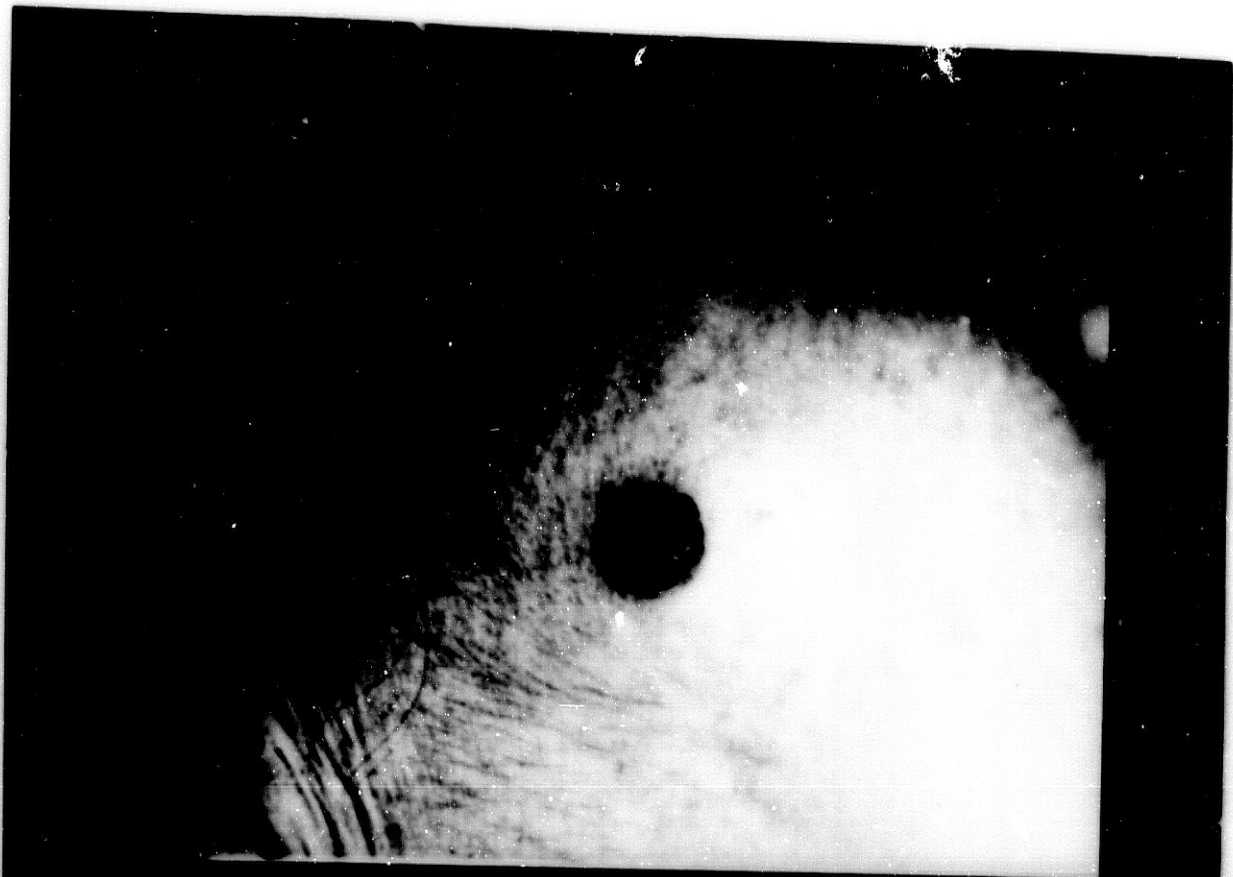
ת
ס
ס
ס

FIGURA Nº 29. OBSERVACION 280.

Verruga seborreica mejilla.

FIGURA Nº 30. OBSERVACION 280.

6 meses después de Criocirugía. Estética satisfactoria.



14
0
00
-0

FIGURA Nº 31. OBSERVACION 299.

Verruga seborreica pabellón auricular.

FIGURA Nº 32. OBSERVACION 299.

1 mes después de Crioterapia. Estética satisfactoria.

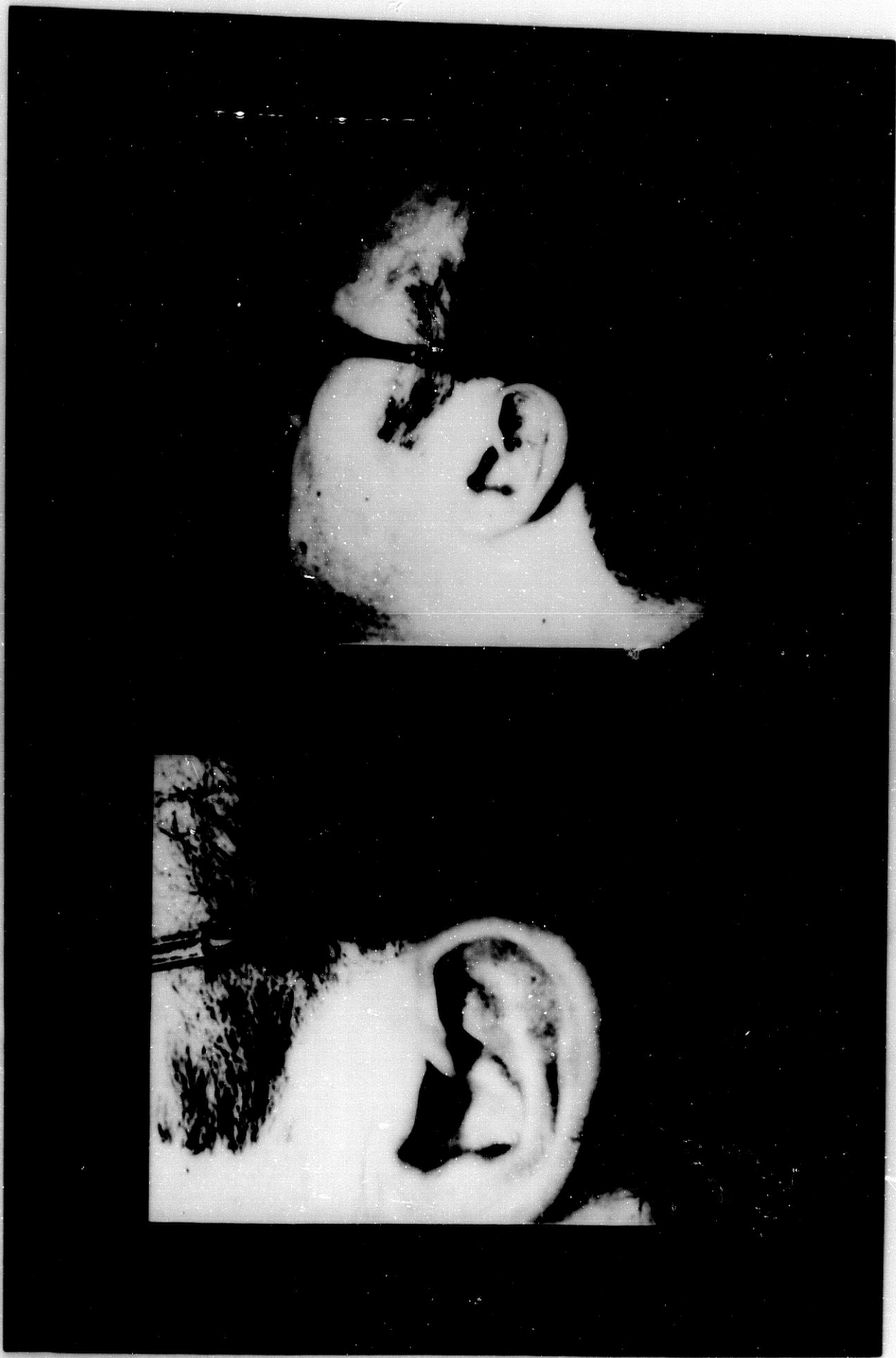


FIGURA Nº 33. OBSERVACION 301.

Verruga seborreica mejilla.

FIGURA Nº 34. OBSERVACION 301.

1 año después de Crilocirugía. Estética satisfactoria.



FIGURA Nº 35. OBSERVACION 307.

Queratoacantoma en período de estado.

FIGURA Nº 36. OBSERVACION 307.

6 meses después de Crioterapia. Cicatriz poco
evidente.

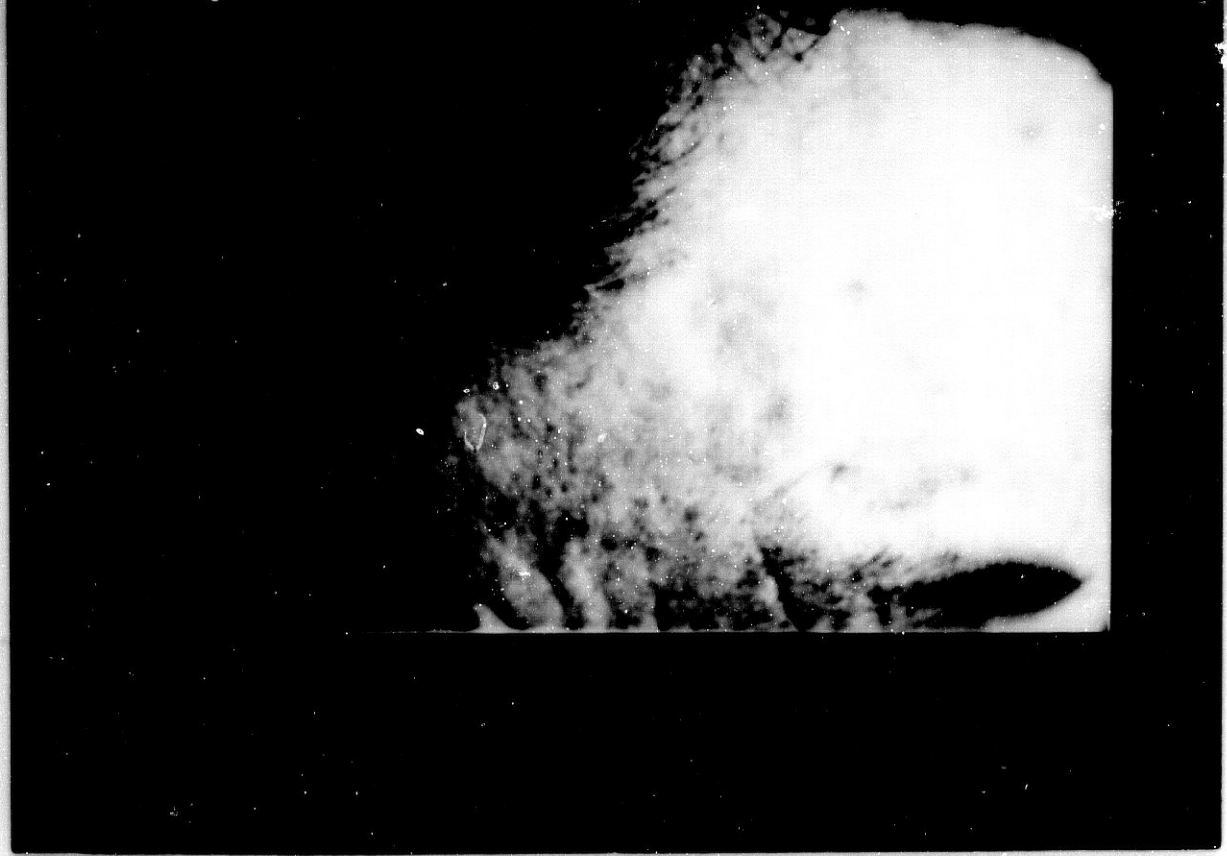


FIGURA Nº 37. OBSERVACION 314.

Queratoacantoma pabellón auricular.

FIGURA Nº 38. OBSERVACION 314.

3 meses después de Crioterapia. Ligera depigmentación.



10
9
00
00

FIGURA Nº 39. OBSERVACION 360.

Queratomas actínicos confluentes dorso de nariz.

FIGURA Nº 40. OBSERVACION 360.

6 meses después de Criocirugía.



5
3
1
0

FIGURA Nº 41. OBSERVACION 404.

Queratomas actínicos múltiples en frente.

FIGURA Nº 42. OBSERVACION 404.

3 meses después de Crioterapia. Regresión casi total.

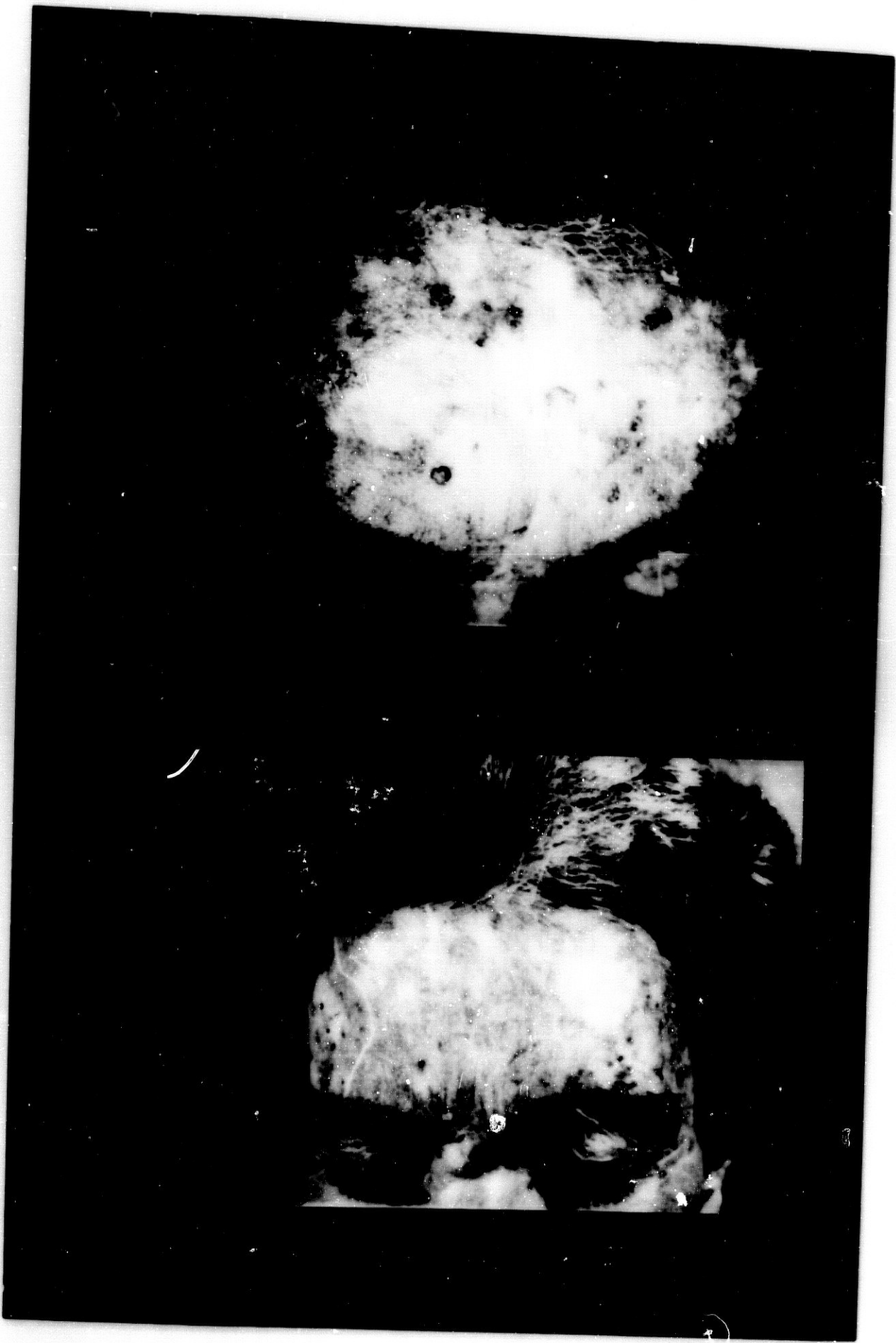


FIGURA Nº 43. OBSERVACION 401.

Queratoma actínico mejilla.

FIGURA Nº 44. OBSERVACION 401.

3 meses después de Criocirugía. Atrofia superficial.



5
3
4
6

FIGURA Nº 45. OBSERVACION 428.

Queratomas actínicos múltiples mejilla
izquierda.

FIGURA Nº 46. OBSERVACION 428.

6 meses después de Criocirugía. Gran mejoría.



5
10
15
20

100

FIGURA Nº 47. OBSERVACION 423.

Queratomas actínicos múltiples mejilla derecha.

FIGURA Nº 48. OBSERVACION 428.

3 meses después Criocirugía.



5
4
3
2

FIGURA Nº 49. OBSERVACION 458.

Leucoplasia en sábana mucosa yugal.

FIGURA Nº 50. OBSERVACION 458.

1 mes después de Criocirugía. Ha desaparecido
la mayor parte.



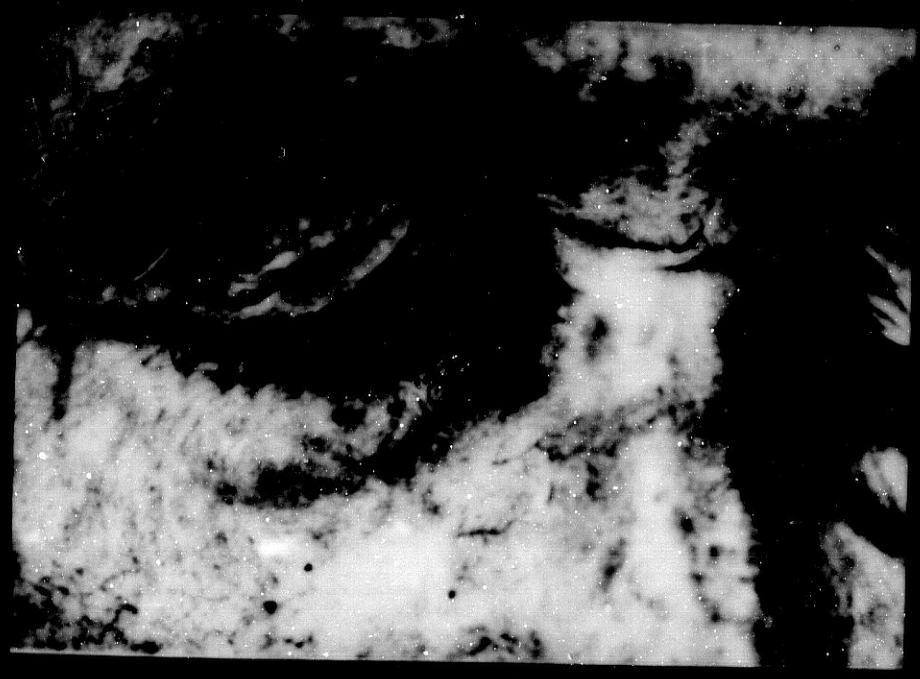
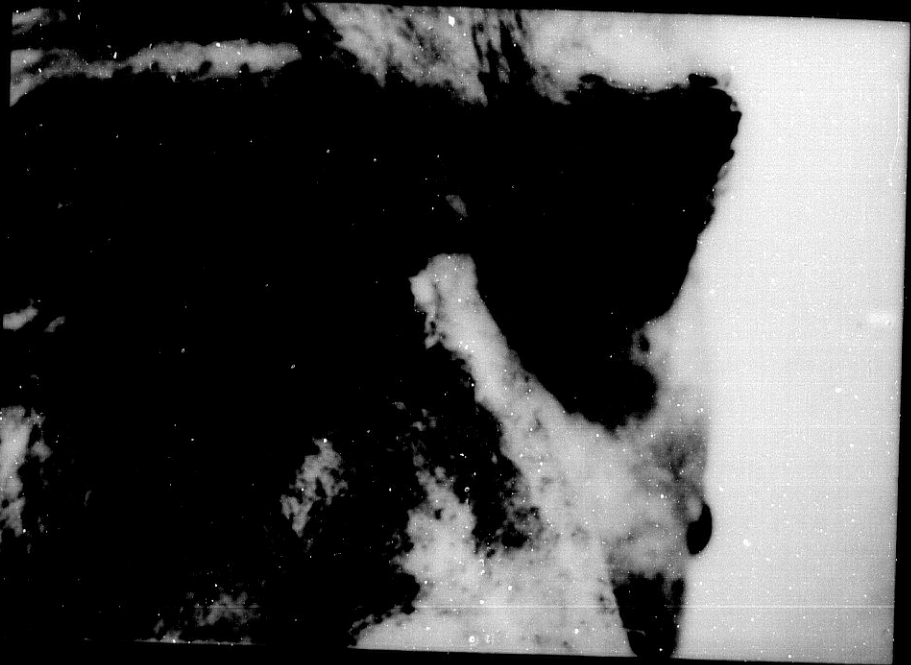
5
10
15
20

FIGURA Nº 51. OBSERVACION 491.

Epitelioma basocelular perlado glabella.

FIGURA Nº 52. OBSERVACION 492.

2 meses después de Crioterapia. Queda cierta depigmentación.



5
4
-
3

FIGURA Nº 53. OBSERVACION 481.

Epitelioma basocelular perlado quístico mejilla.

FIGURA Nº 54. OBSERVACION 481.

6 meses después de Crioterapia. Ligera atrofia.



5
3
-
2

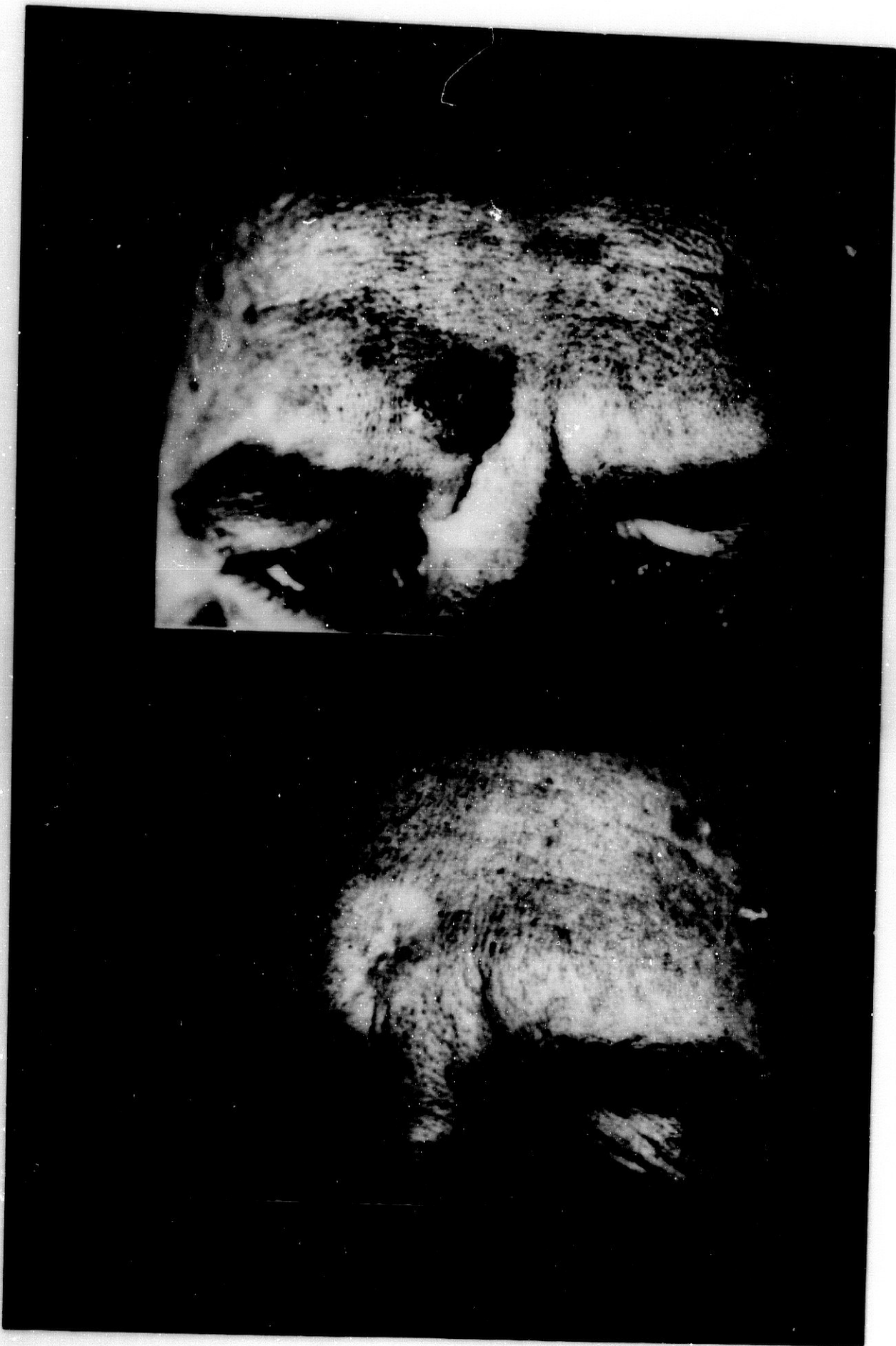
FIGURA Nº 55. OBSERVACION 490.

Epitelioma basocelular quístico frente.

FIGURA 56. OBSERVACION 490.

6 meses después Criocirugía. Cicatriz deprimida.

5
34
J-
76



5
4
-
0
0

FIGURA Nº 57. OBSERVACION 568.

Epitelioma basocelular quístico ulcerado.

FIGURA Nº 58. OBSERVACION 568.

3 meses después de Criocirugía. Cicatriz
aceptable.

CT
JL
J-
J-



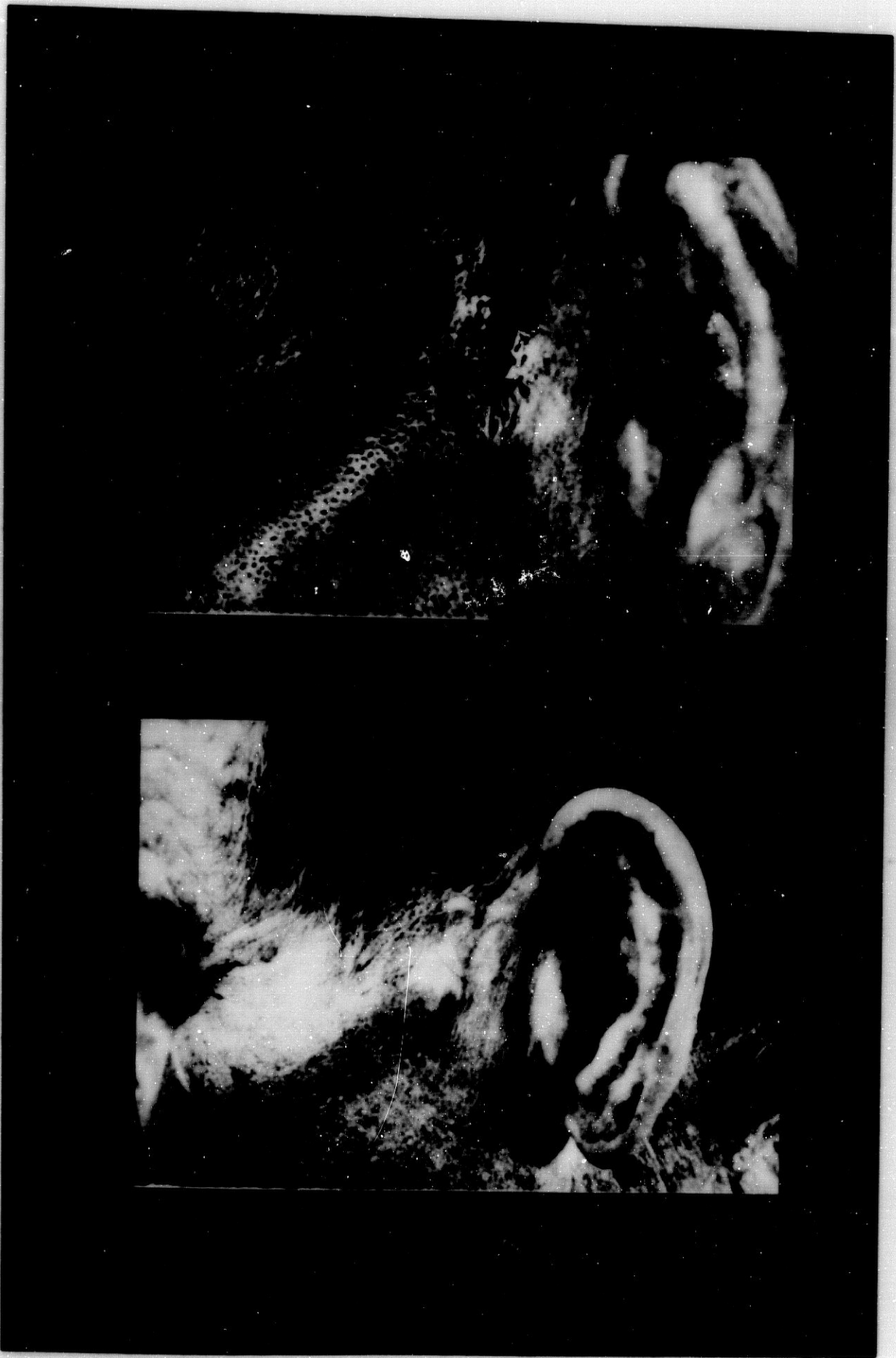
5
2
1
0
0

FIGURA Nº 59. OBSERVACION 554.

Epitelioma basocelular perlado, pigmentado y
ulcerado preauricular.

FIGURA Nº 60. OBSERVACION 555.

6 meses después de Criocirugía. Buen resultado
estético.



5
4
3
2

FIGURA Nº 61. OBSERVACION 553.

Epitelioma basocelular perlado y pigmentado
cuero cabelludo.

FIGURA Nº 62. OBSERVACION 553.

6 meses después de Crioterapia. Cicatriz acró
mica con finas telangiectasias.



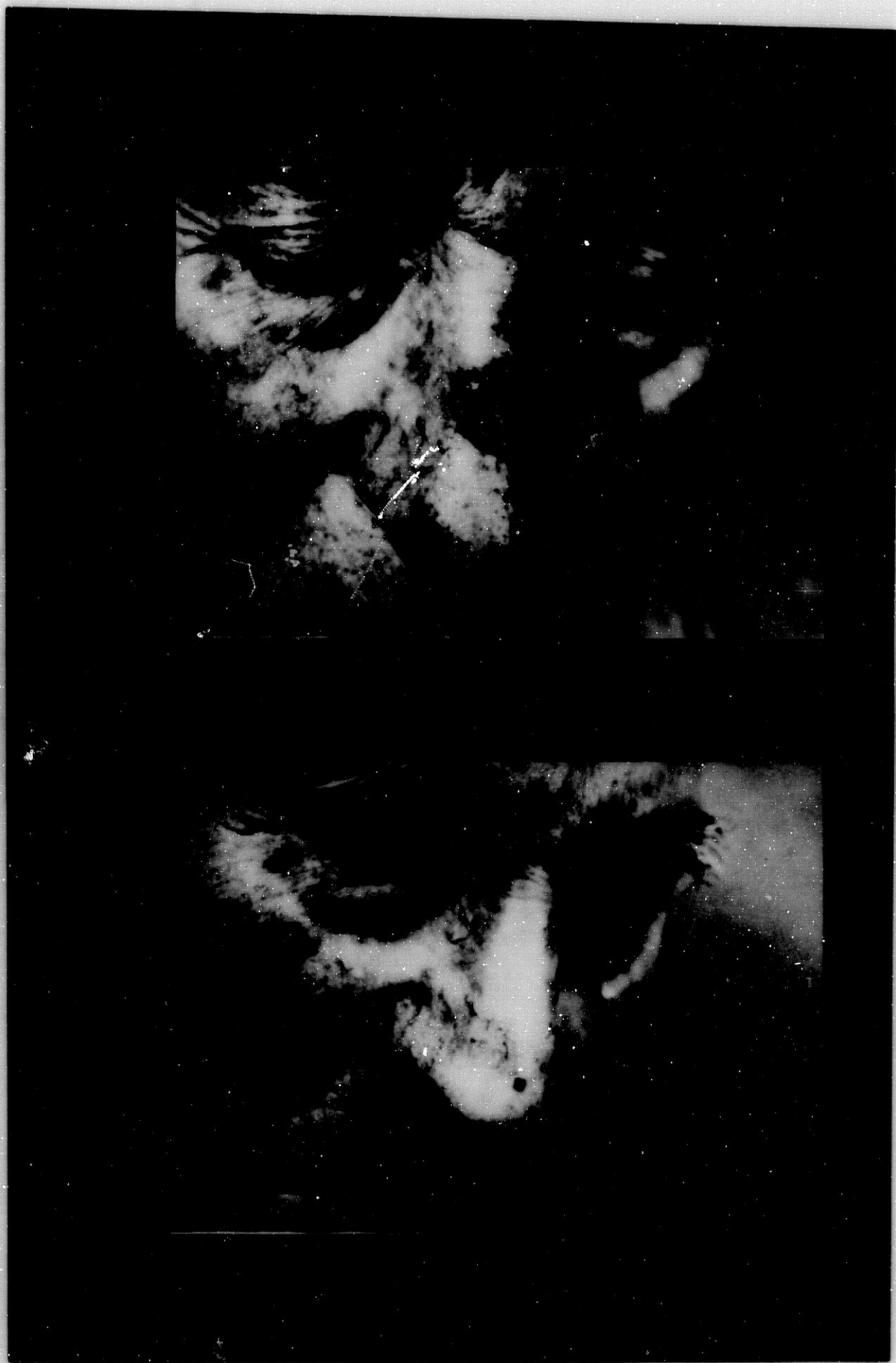
ת
ת
ת
ת

FIGURA Nº 63. OBSERVACION 554.

Epitelioma basocelular pigmentado dorso nariz.

FIGURA Nº 64. OBSERVACION 554.

6 meses después de Crioterapia. Leve depigmentación.



UN
UN
UN
UN

FIGURA Nº 65. OBSERVACION 570.

Epitelioma basocelular pigmentado frente.

FIGURA Nº 66. OBSERVACION 570.

6 meses después Criocirugía. Cicatriz
deprimida.



ת
ב
ח
א

FIGURA Nº 67. OBSERVACION 560.

Epitelioma basocelular quístico y pigmentado
en ala nasal, con invasión del cartílago.

FIGURA Nº 68. OBSERVACION 560.

6 meses después de Criocirugía. Retracción
ala nasal. Pendiente etapa reconstructiva.



5
10
15
20

FIGURA Nº 69. OBSERVACION 545.

Epiteliomas basocelulares múltiples.

FIGURA Nº 70. OBSERVACION 545.

6 meses después Criocirugía.

5
34
3
20



5
2
2
4

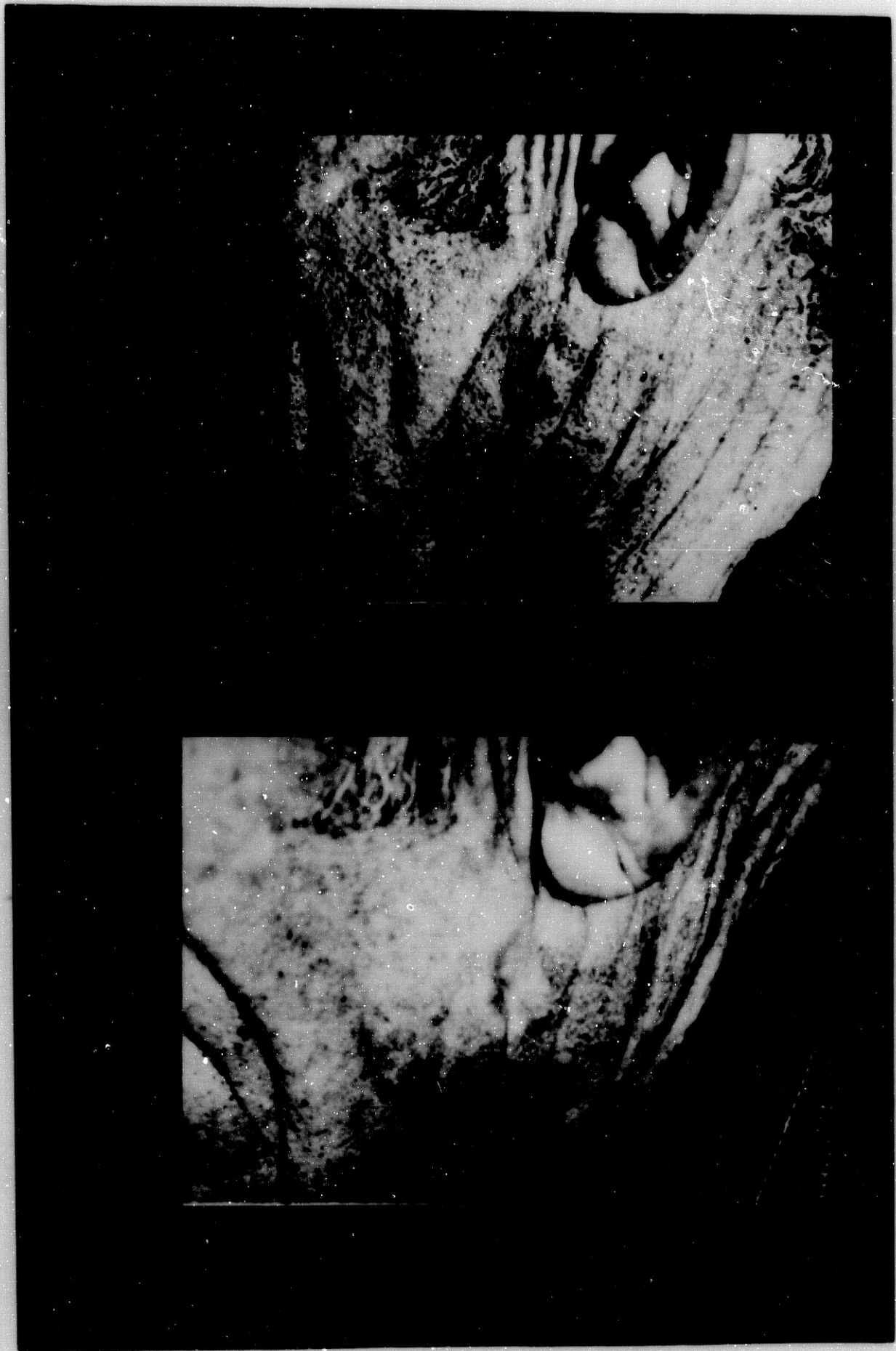
FIGURA Nº 71. OBSERVACION 586.

Enfermedad de Bowen región cervical.

FIGURA Nº 72. OBSERVACION 586.

6 meses después de Crioterapia. Cicatriz algo
deprimida.

57
58
59
60



5
36
32
30

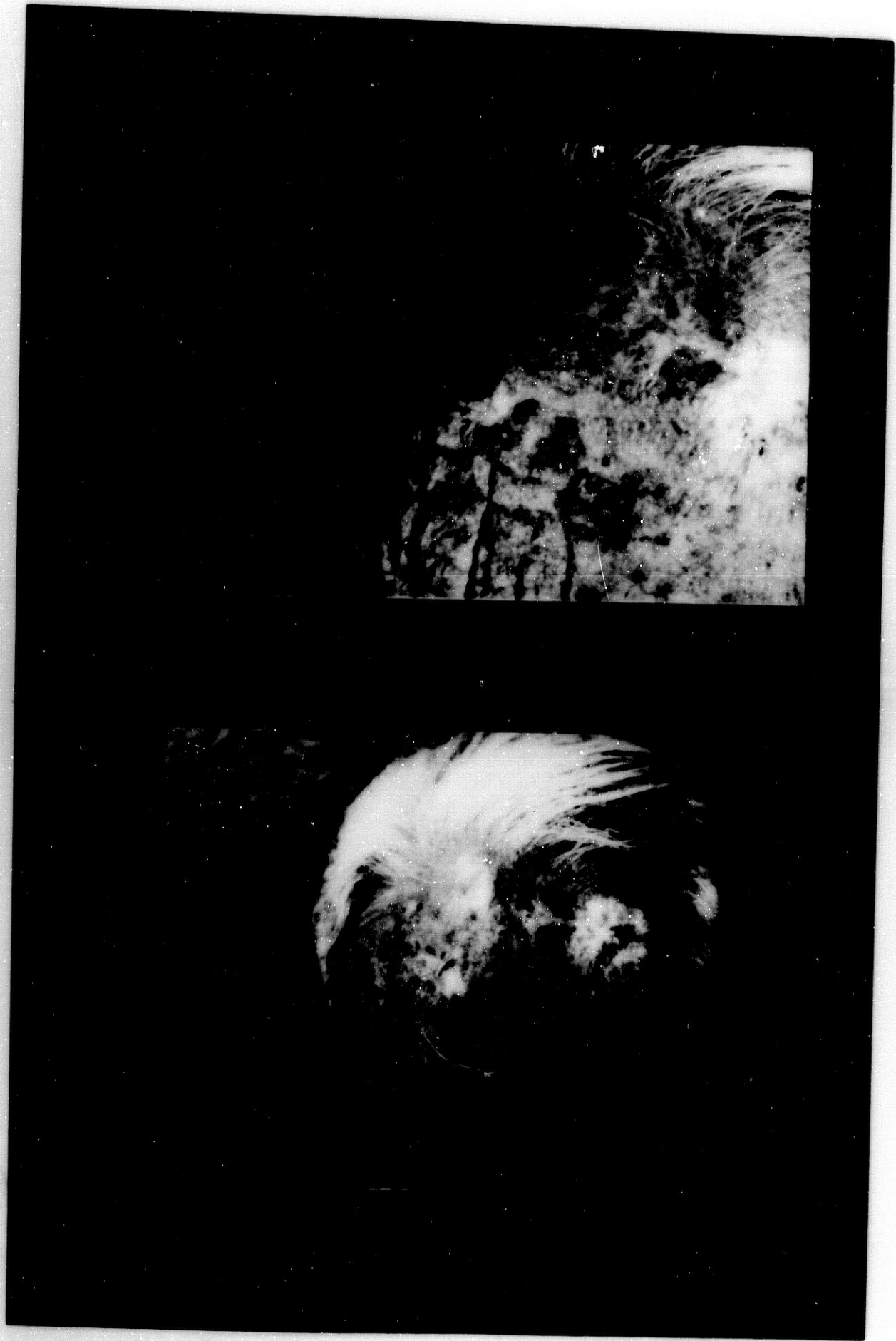
FIGURA Nº 73. OBSERVACION 592.

Cuerno cutáneo frente.

FIGURA Nº 74. OBSERVACION 592.

6 meses después de Criocirugía. Cicatriz
retractil.

5
34
> 2
> 2



5
5
2
4

FIGURA Nº 75. OBSERVACION 594.

Cuerno cutáneo dorso mano.

FIGURA Nº 76. OBSERVACION 594.

6 meses después Criocirugía.

5
34
20
70



5
4
3
2

FIGURA Nº 77. OBSERVACION 574.

Cuerno cutáneo mejilla.

FIGURA Nº 78. OBSERVACION 574.

6 meses después Criocirugía.



CC
72
b1c
U

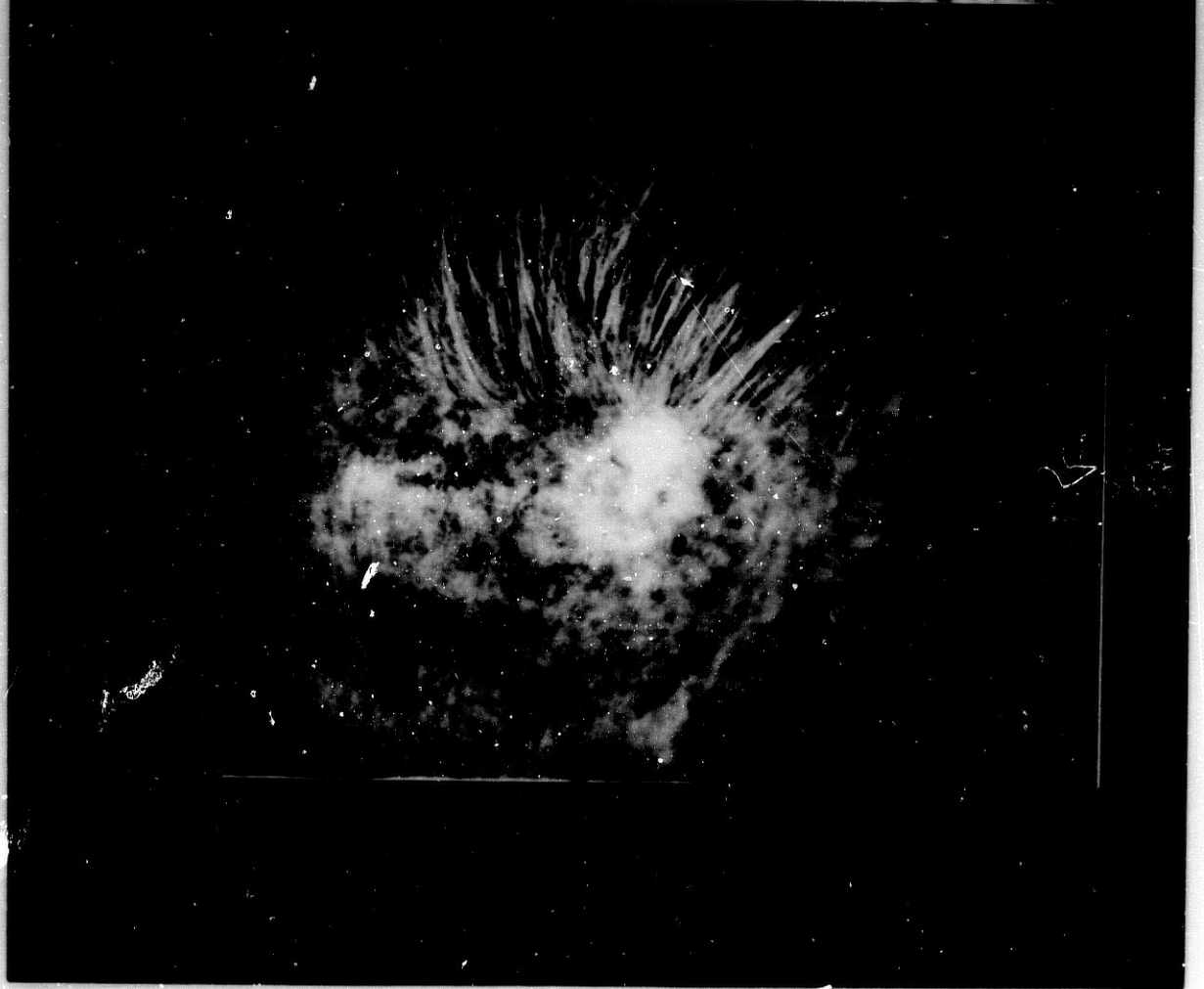
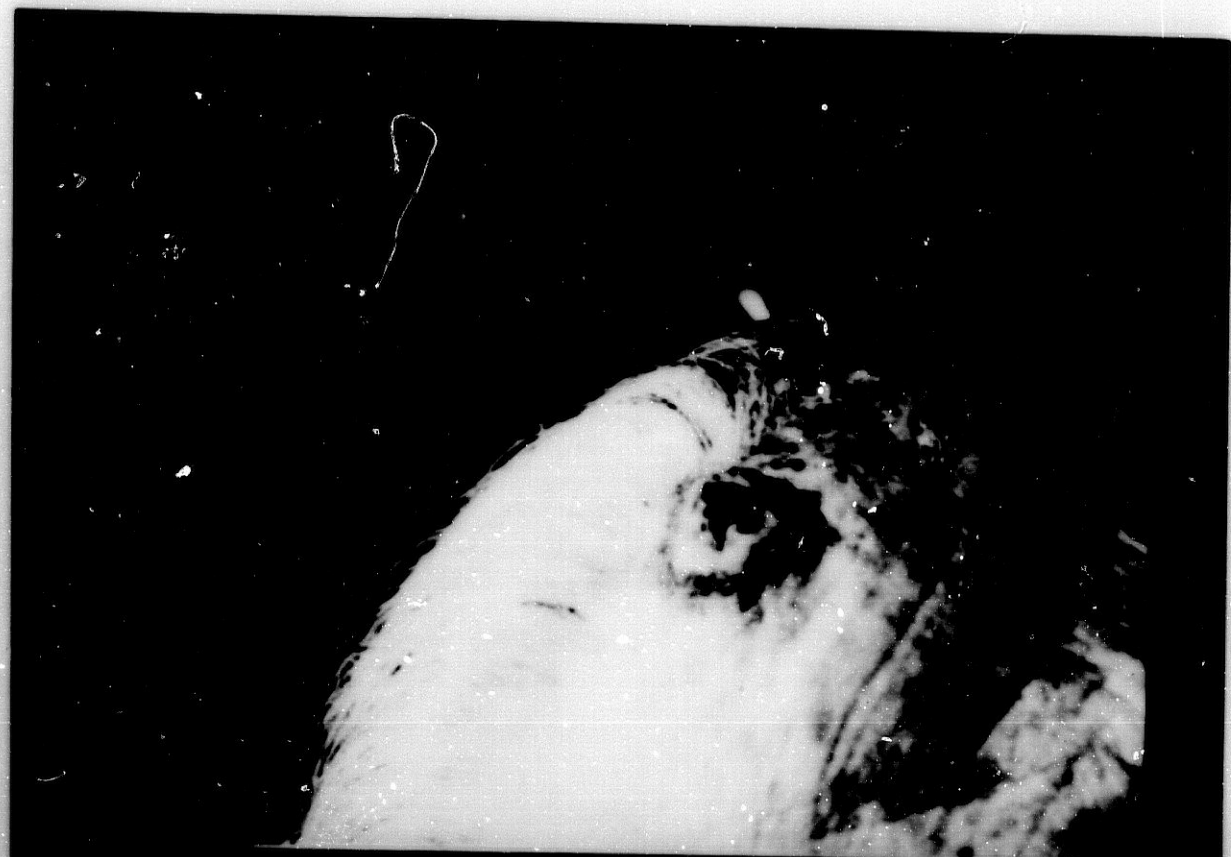
FIGURA Nº 79. OBSERVACION 588.

Carcinoma espinocelular en cúpula.

FIGURA Nº 80. OBSERVACION 588.

6 meses después Criocirugia.

5
3
4
00



5
4
3
2

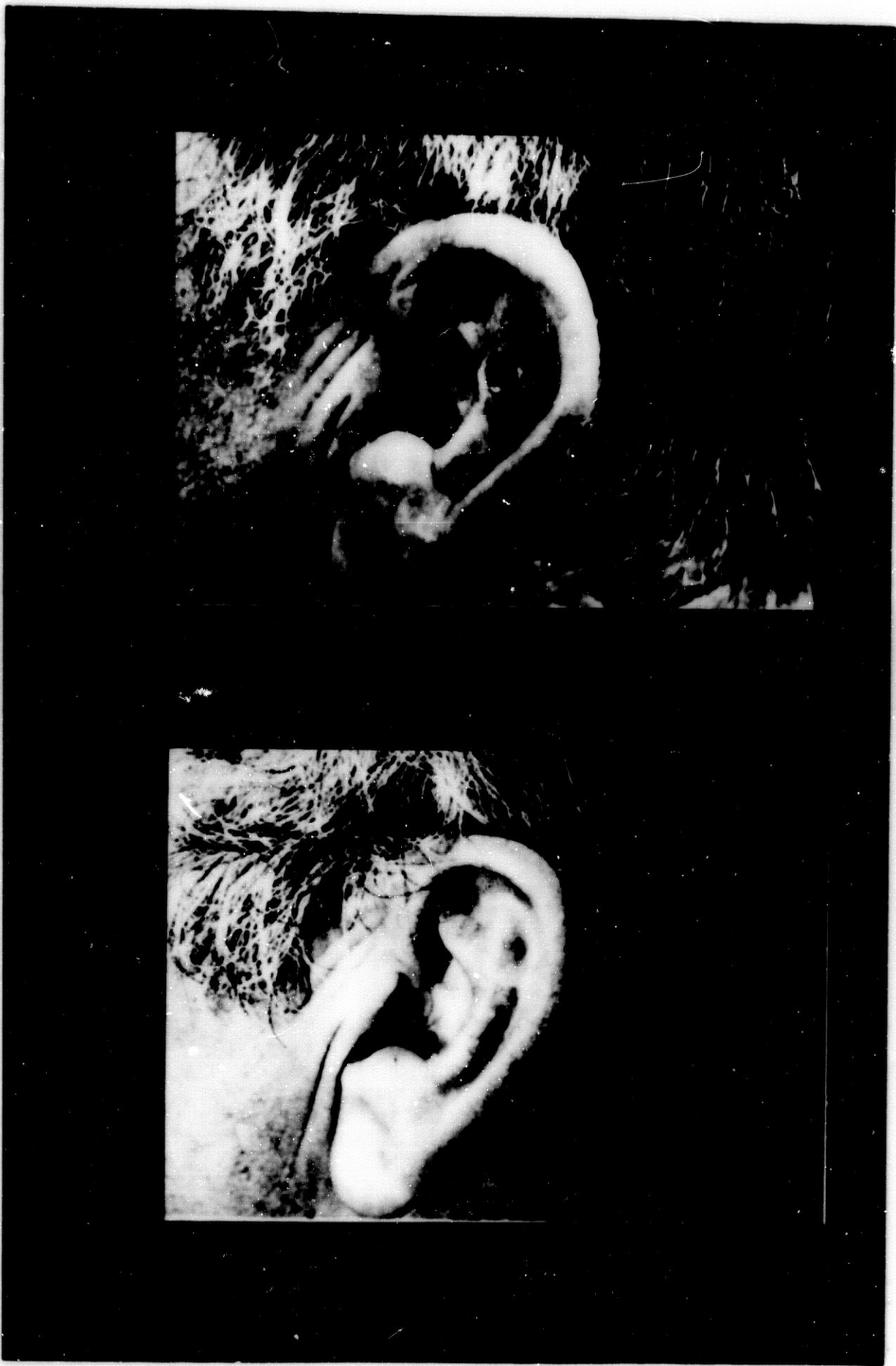
FIGURA Nº 81. OBSERVACION 602.

Carcinoma espinocelular úlcero-vegetante.

FIGURA Nº 82. OBSERVACION 602.

6 meses después Criocirugía.

U
M
n
J-



ת
ב
ח
ח

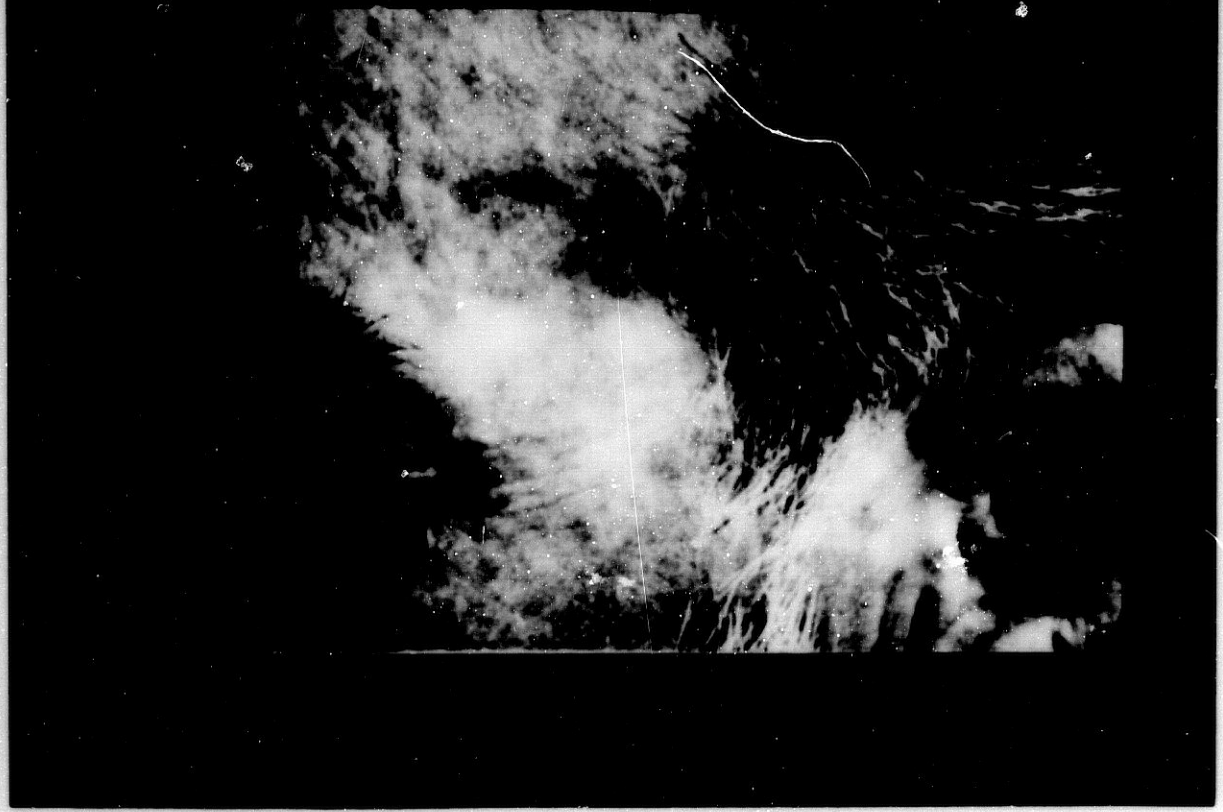
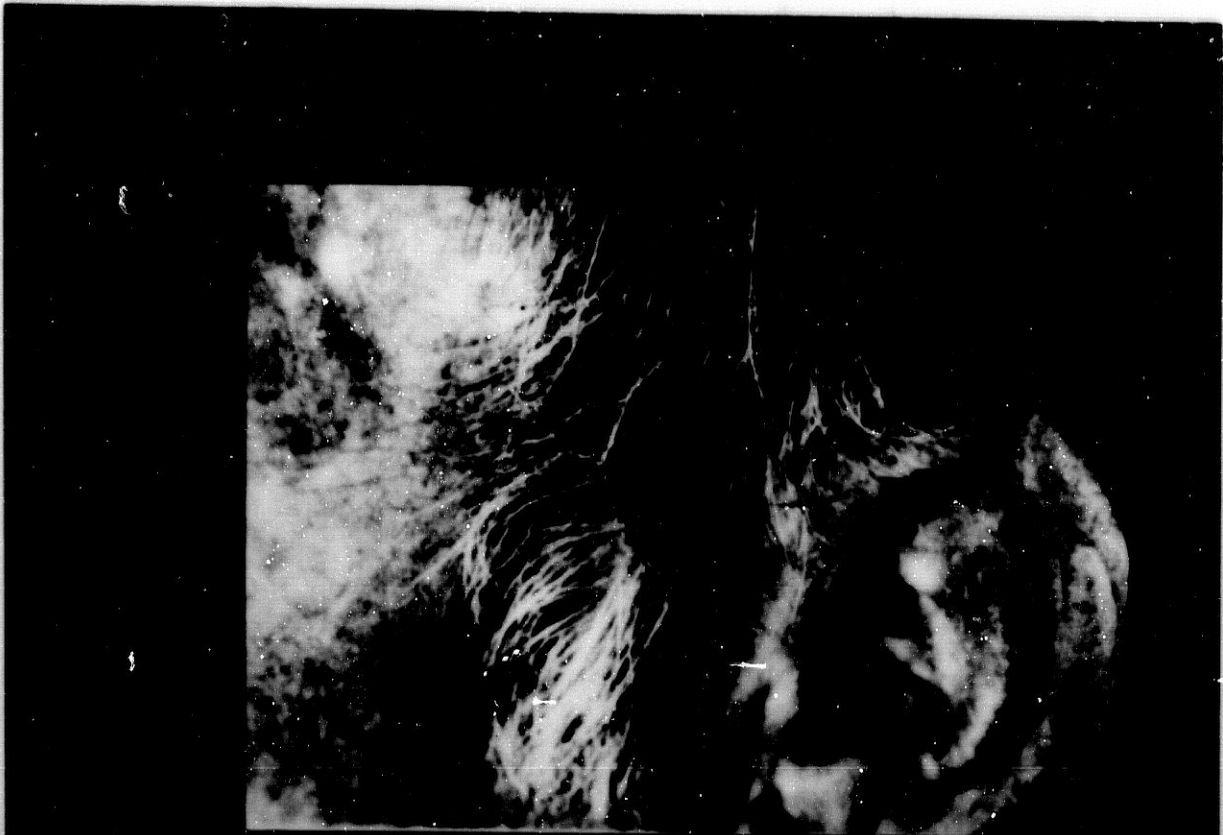
FIGURA Nº 83. OBSERVACION 579.

Carcinoma espinocelular úlcero-vegetante
preauricular.

FIGURA Nº 84. OBSERVACION 579.

6 meses después de Criocirugía.

5
34
34
34



5
6
4
2

FIGURA Nº 85. OBSERVACION 583.

Carcinoma espinocelular ulcerado. Queratomas
actínicos.

FIGURA Nº 86. OBSERVACION 583.

6 meses después de Criocirugía.

U
C
n
n



5
10
11
12

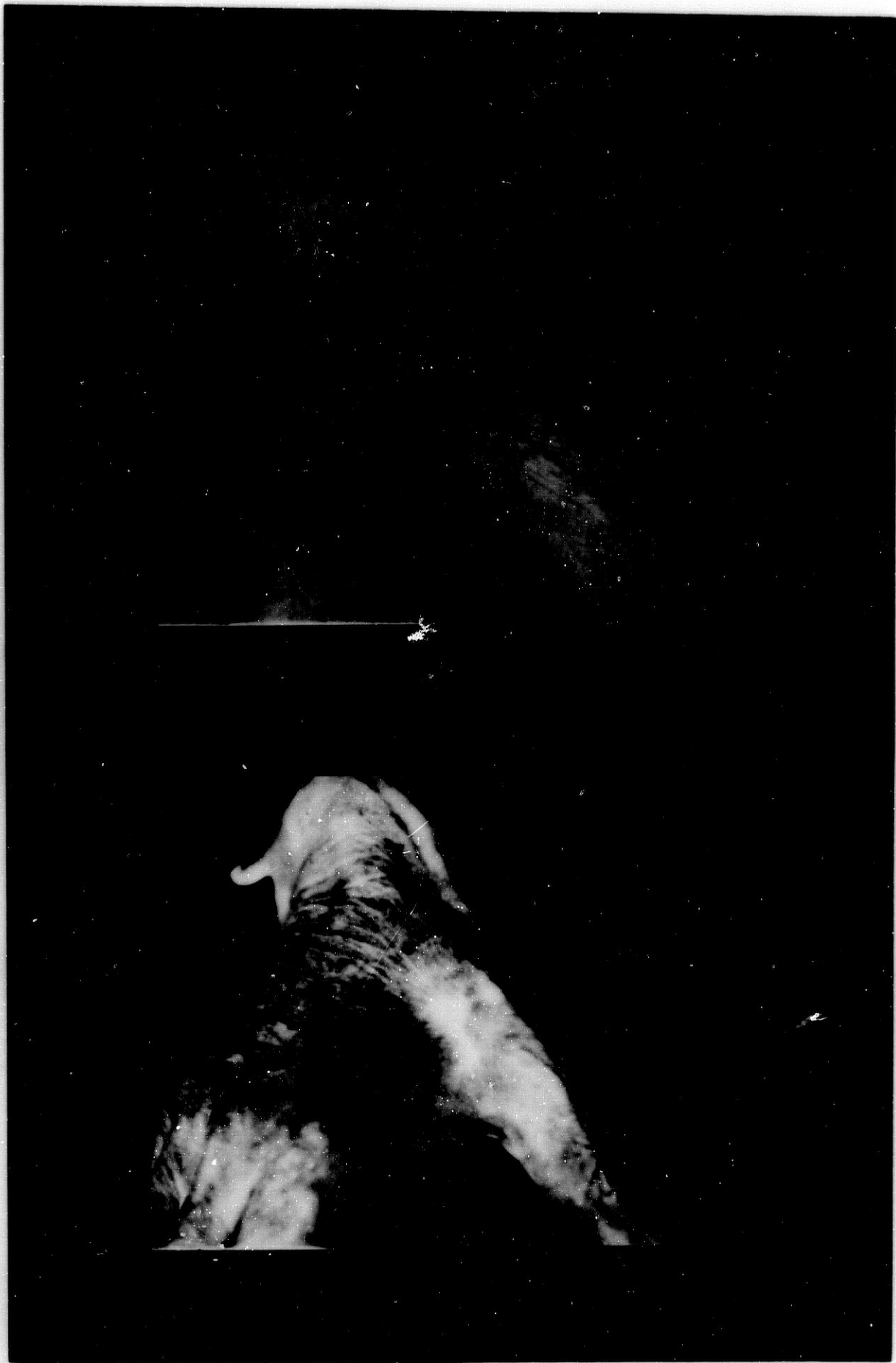
FIGURA Nº 87. OBSERVACION 594.

Carcinoma espinocelular papilar córneo.

FIGURA Nº 88. OBSERVACION 594.

6 meses después de Criocirugia.

S
C
N
3



5
10
14
20

FIGURA Nº 89.

QUERATOMA ACTINICO TIPO ATROFICO

Hiperacantosis e hiperqueratosis folicular. Ati-
pias en células malpighianas. Denso infiltrado
linfomonocitario en dermis superficial (H.E.x 150)

5
36
5
36



U
C
M
C

FIGURA Nº 90.

QUERATOMA ACTINICO 30' DESPUES DE CRIOTERAPIA

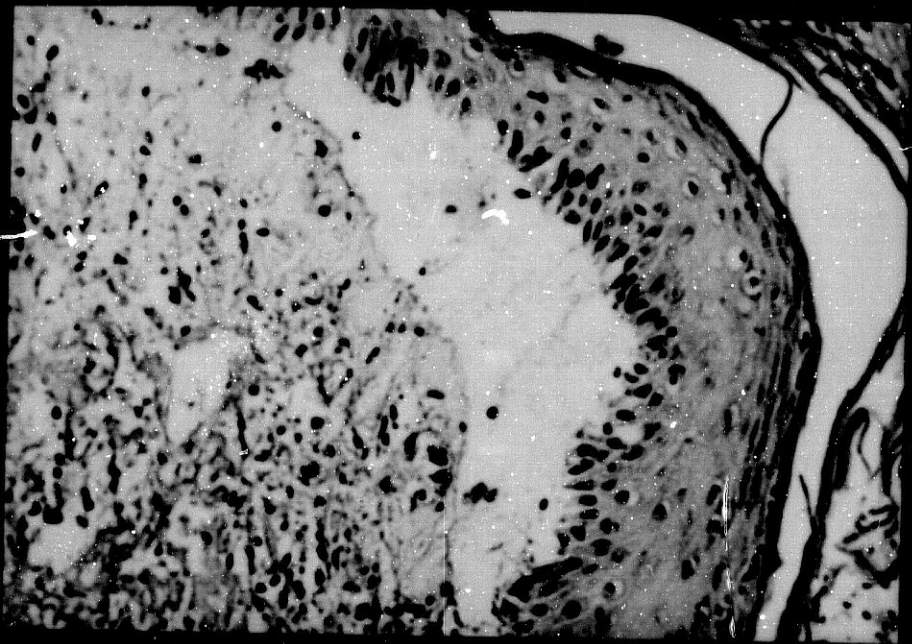
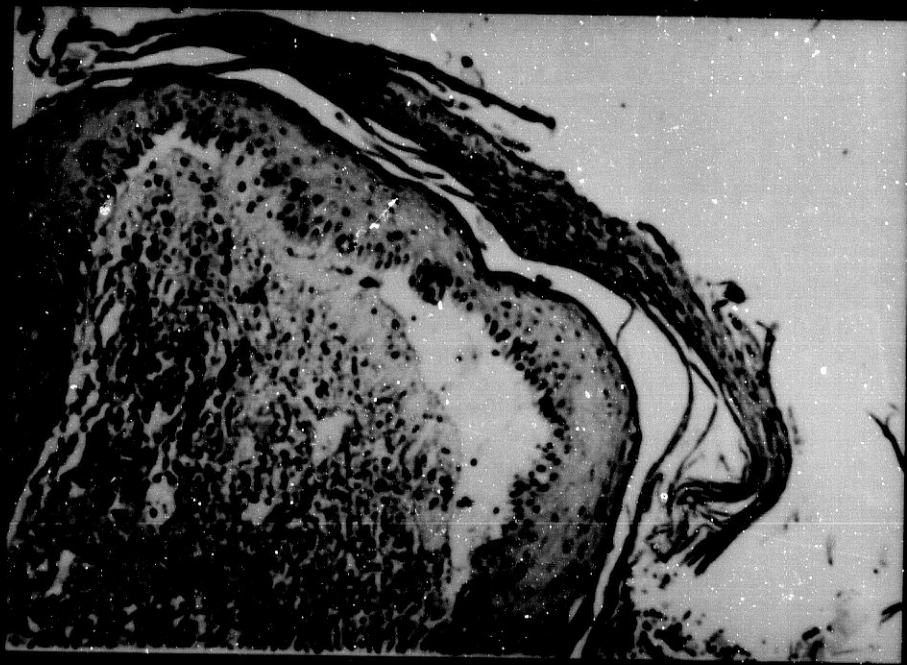
Ampolla por despegamiento epidermo-dérmico. Dilatación vascular. Infiltrados no muy abundantes de células redondas y polinucleares neutrófilos. (H. E. x 150).

FIGURA Nº 91.

QUERATOMA ACTINICO 30' DESPUES DE CRIOTERAPIA

Despegamiento epidermo-dérmico. (H.E. x 150).

5
34
nc
J-



5
6
7
8

FIGURA Nº 92.

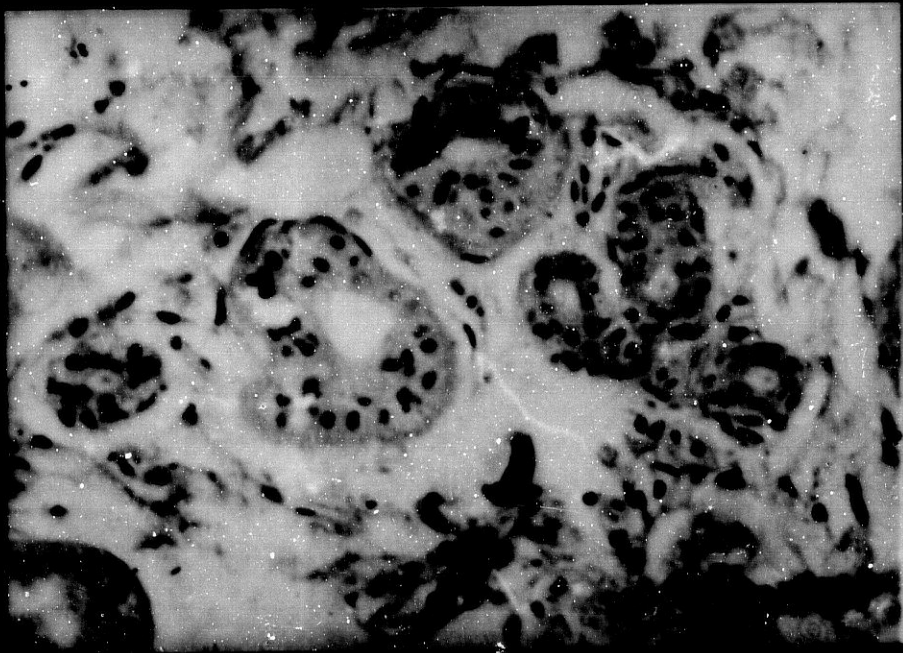
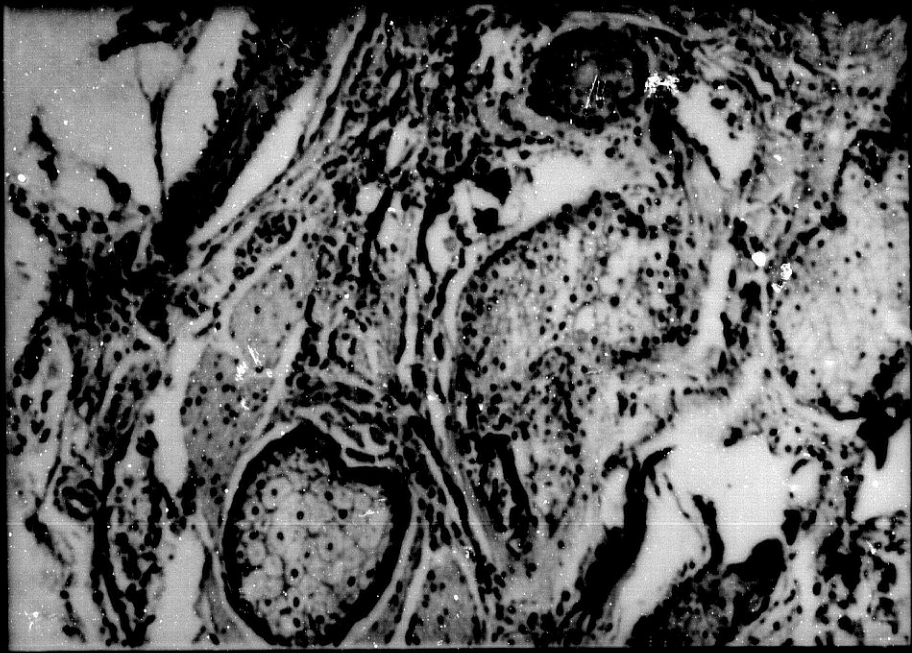
QUERATOMA ACTINICO 24 HORAS DESPUES DE CRIO-
TERAPIA

Glándulas sebáceas y músculo arrector sin alteraciones evidentes. (H. E. x 150).

FIGURA Nº 93.

QUERATOMA ACTINICO 24 HORAS DESPUES DE CRIO-
TERAPIA

Conductos excretores de glándulas sudoríparas eccrinas también sin alteraciones evidentes. Edema en el tejido conjuntivo que las rodea (H. E. x 250).



5
10
20
30

FIGURA Nº 94.

QUERATOMA ACTINICO 48 HORAS DESPUES DE CRIOTERAPIA

Comienza la reparación epidérmica a partir de la vaina epitelial externa de un folículo pilosebáceo. Gran edema de la dermis superficial. (H. E. x 150).

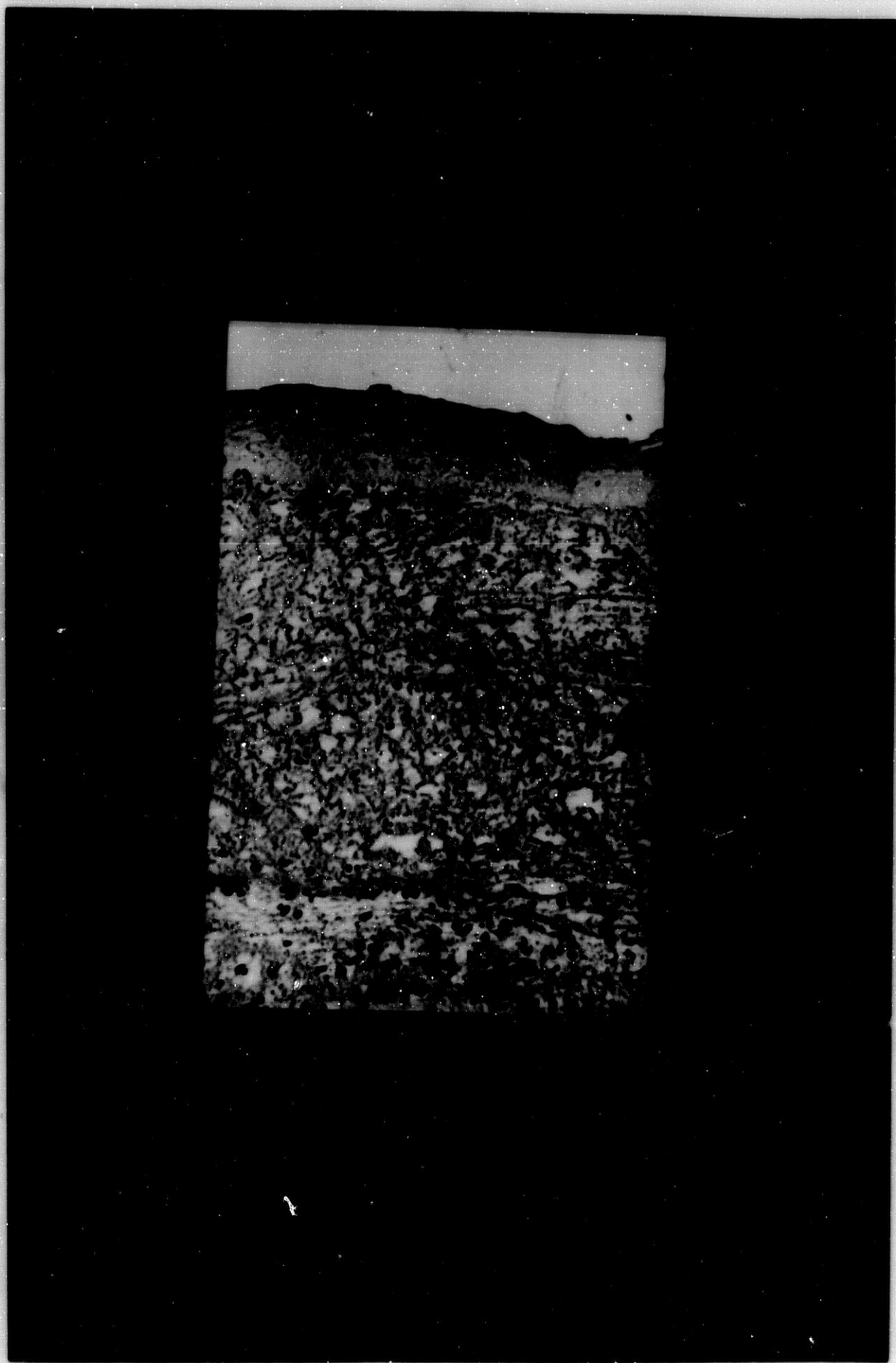


FIGURA Nº 95.

QUERATOMA ACTINICO 72 HORAS DESPUES DE CRIO-

TERAPIA

Hiperemia y edema. Infiltrados de polinuclea-
res y algunas células redondas en dermis pro-
funda. Zonas de necrosis. (H. E. x 100).



ט
כ
ח
כ

FIGURA Nº 96.

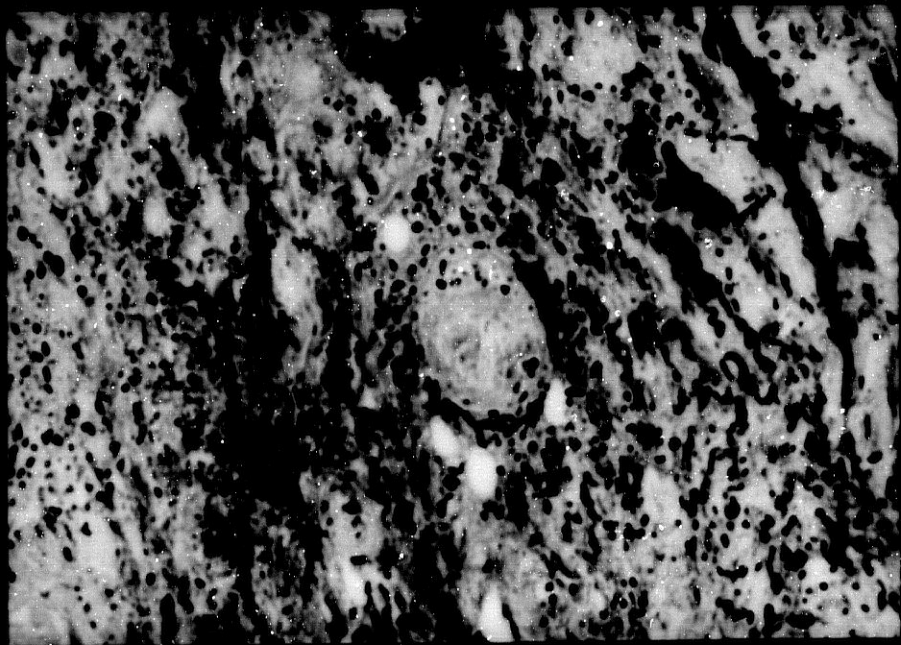
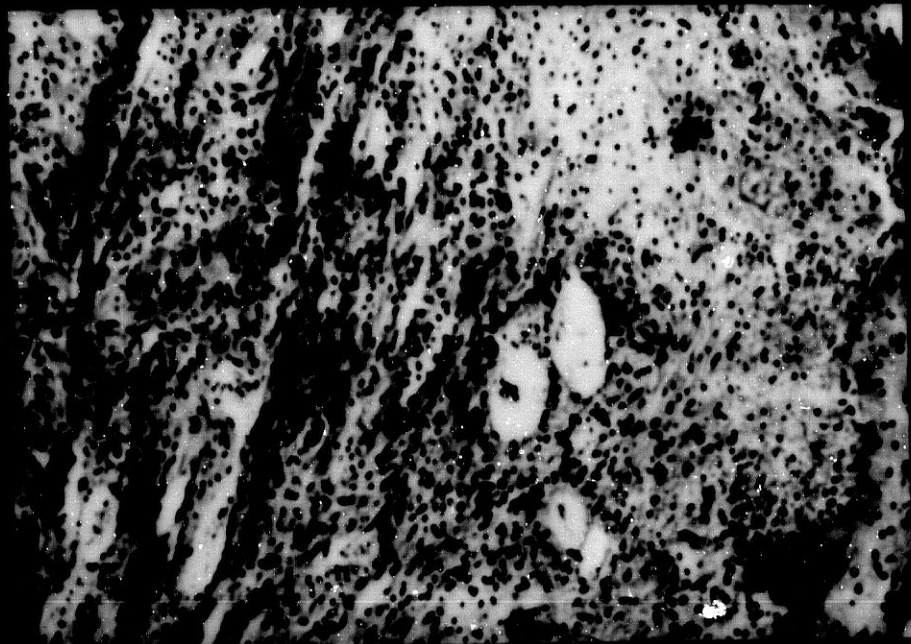
QUERATOMA ACTINICO 7 DIAS DESPUES DE CRIOTE-
RAPIA

Tejido de granulación inflamatorio. (H.E. x 150)

FIGURA Nº 97.

QUERATOMA ACTINICO 7 DIAS DESPUES DE CRIOTE-
RAPIA

Capilares dilatados. En el centro vénula trom-
bosada iniciándose recanalización. (H.E. x 200)

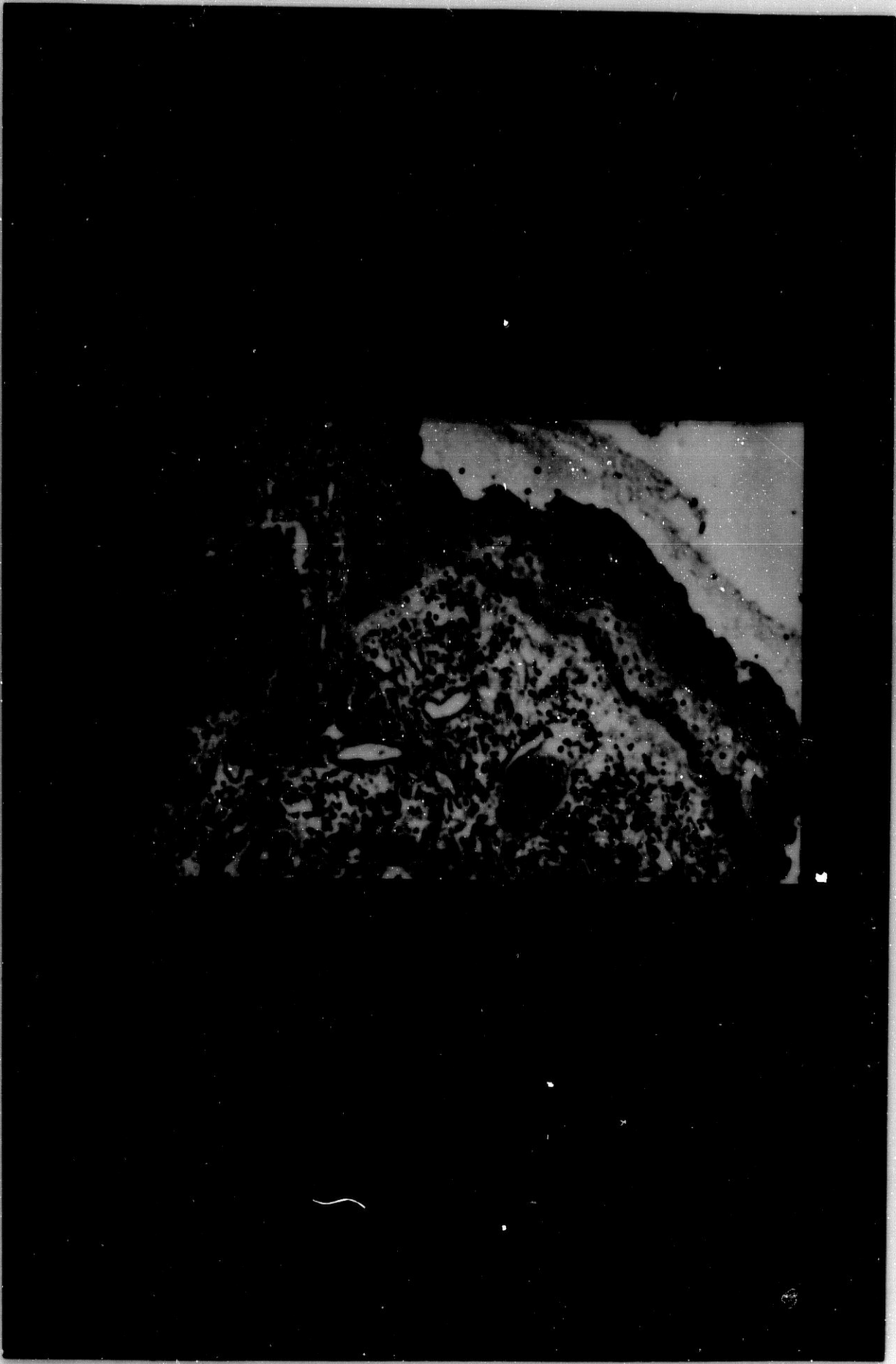


5
11
12
13

FIGURA Nº 93.

QUERATOMA ACTINICO 14 DIAS DESPUES DE CRIOTE-
RAPIA

Epidermis regenerada a partir de zonas profundas de folículos pilosebáceos. Capilares dilatados y algunos parcialmente obliterados. Intensa degeneración elástica en las dermis superficial (H. E. x 130).



U
h
D
U

FIGURA Nº 99.

EPITELIOMA BASOCELULAR 30º DESPUES DE CRIOTE-
RAPIA

Gran ampolla subepidérmica. Necrosis de la der-
mis superficial que comprende focos del basalioma. (H. E. x 150).

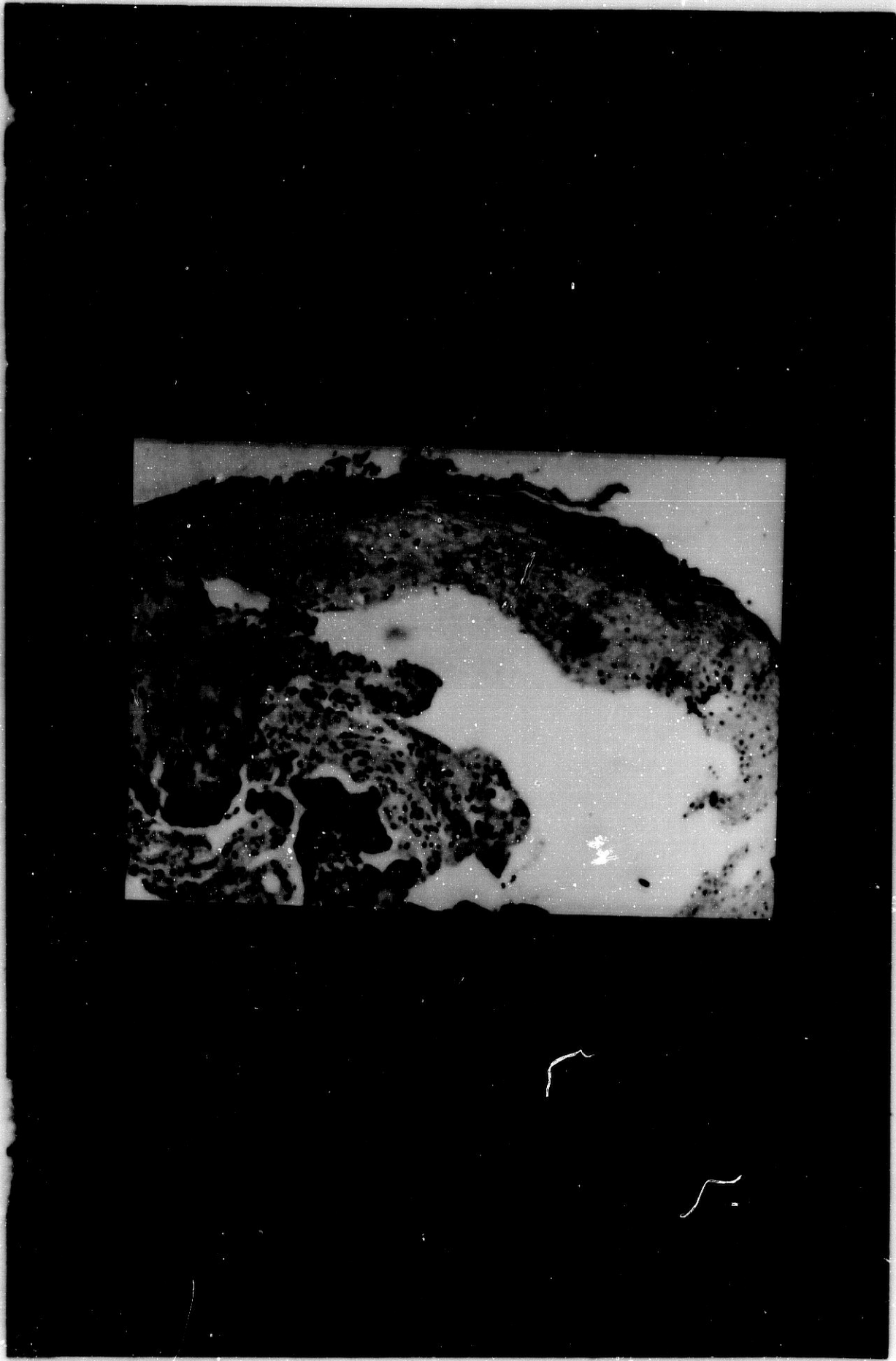


FIGURA Nº 100.

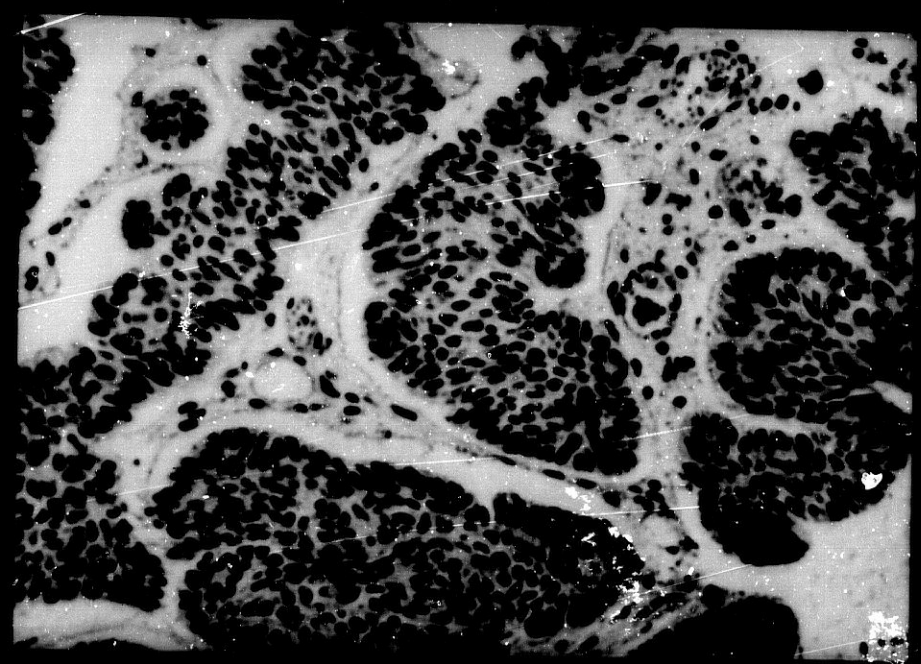
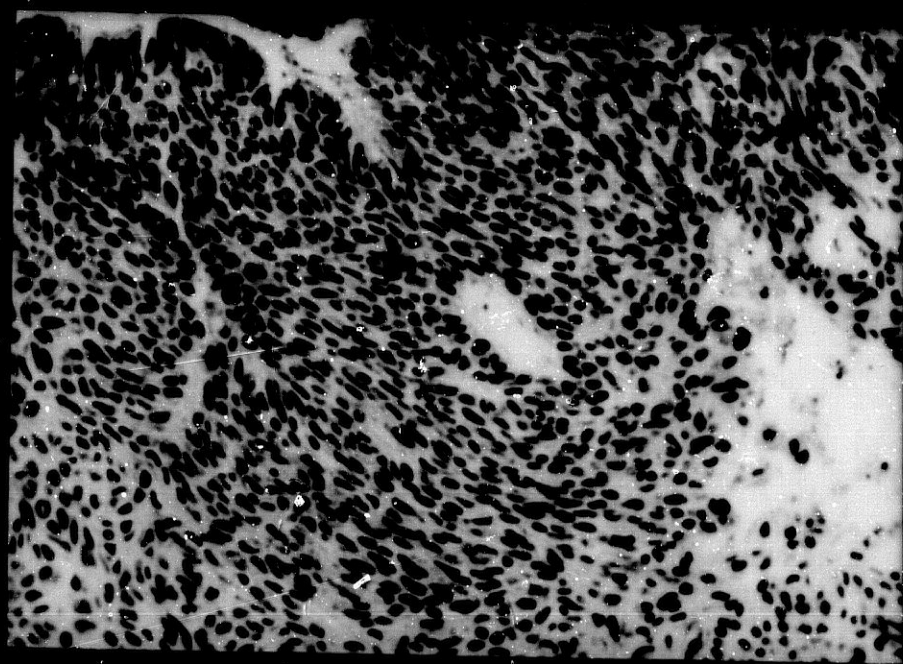
EPITELIOMA BASOCELULAR 30' DESPUES DE CRIOTE-
RAPIA

Alteraciones celulares incipientes en el inte-
rior de los lóbulos tumorales. (H.E. x 150).

FIGURA Nº 101.

EPITELIOMA BASOCELULAR 30' DESPUES DE CRIOTE-
RAPIA

Grandes espacios entre las células temporales
debido a la formación de cristales de hielo. Ca-
pilares dilatados con densos acúmulos de hema-
tias en su interior. (H. E. x 200).



5
10
20
30

FIGURA Nº 102.

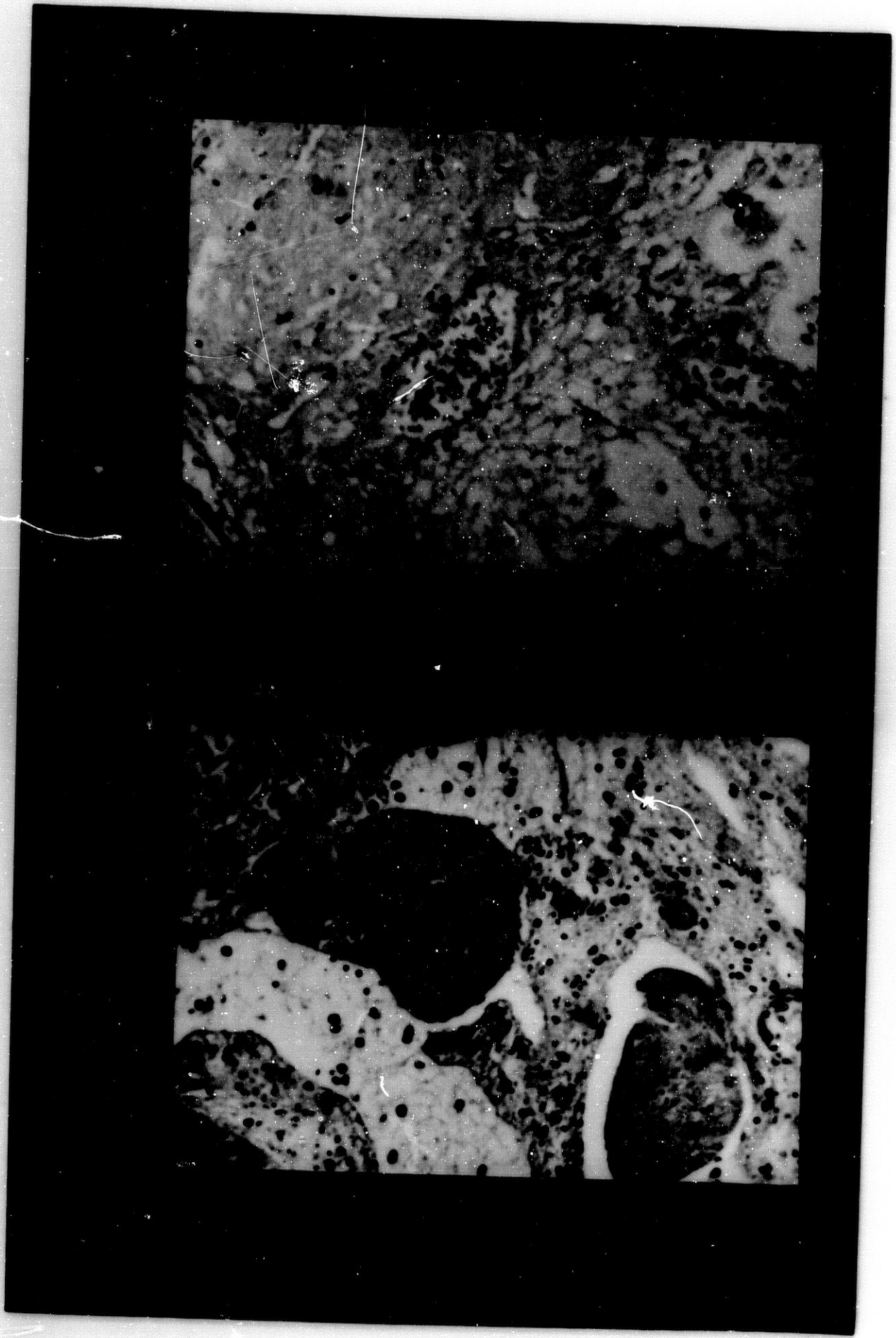
EPITELIOMA BASOCELULAR 24 HORAS DESPUES DE CRIO-
TERAPIA

Edema. Zonas vacías que corresponden a cristales de hielo. Vénulas trombosadas. (H.E. x 250).

FIGURA Nº 103.

EPITELIOMA BASOCELULAR 72 HORAS DESPUES DE CRIO-
TERAPIA

Dos acúmulos de células tumorales parcialmente desintegradas con gran edema alrededor que contiene polinucleares neutrófilos, con fenómenos de leucocitoclasia y células redondas. (H.E. x 250)



30
31
32
33

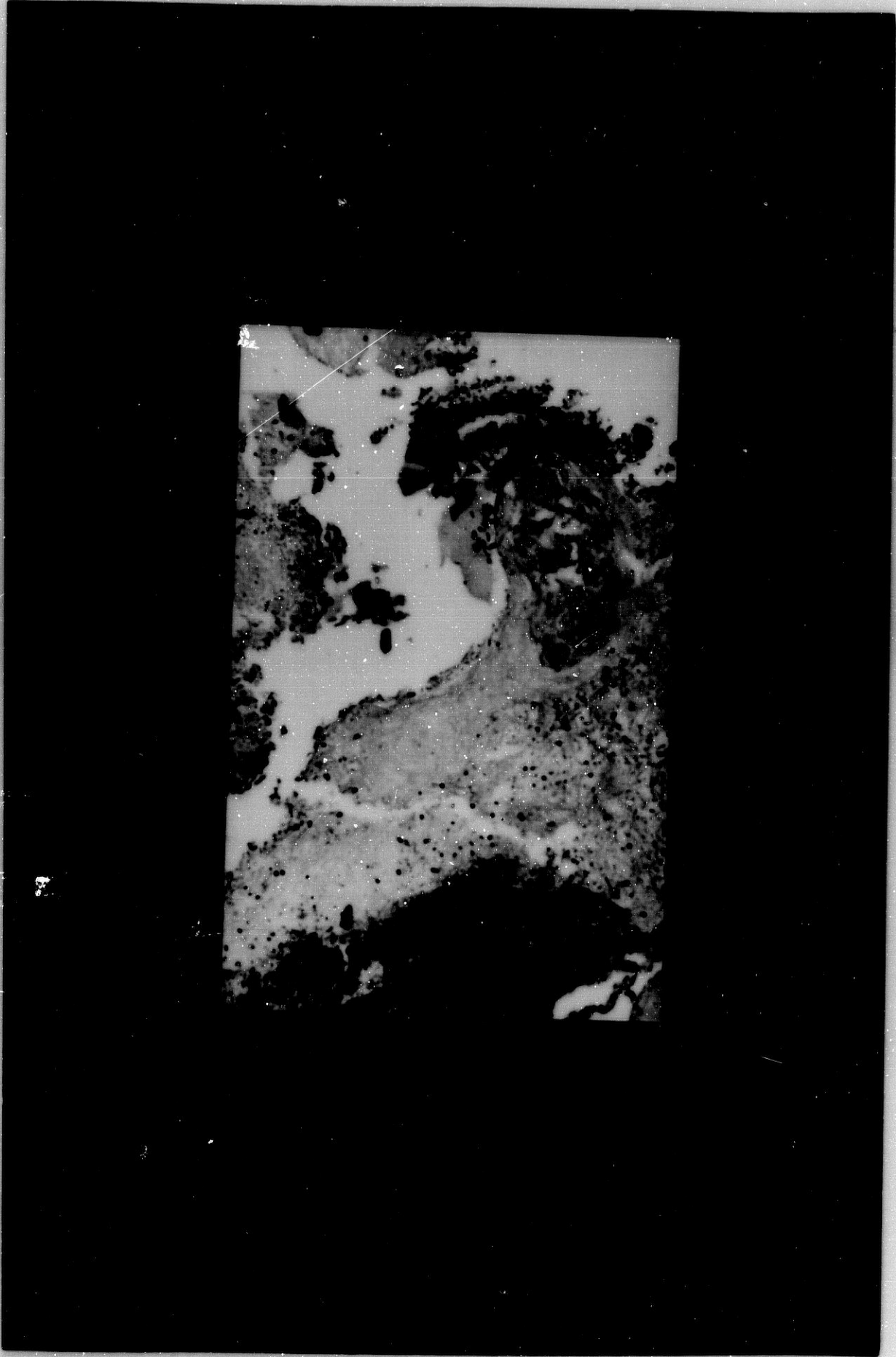
FIGURA Nº 104.

EPITELIOMA BASOCELULAR 14 DIAS DESPUES DE

CRIOterapia

No se obserban células tumorales. Tejido de gra
mulación inflamatorio. Comienza la epidermiza-
ción. (H. E. x 100).

104



5
3
0
0
1

FIGURA Nº 105.

CARCINOMA EPINOCELULAR 20' DESPUES DE

CRIOterapia

Células tumorales separadas y parcialmente destruidas por la congelación. (H. E. x 200).



5
10
15
20

FIGURA Nº 106.

CARCINOMA ESPINOCELULAR 5 DIAS DESPUES DE

CRIOTERAPIA

Arriba y a la derecha cordones de células tumorales parcialmente destruidas. Abajo y a la izquierda dermis superficial totalmente necrosada. Vasos dilatados y parcialmente ocluidos por trombos de fibrina. (H. E. x 100).



FIGURA Nº 107.

CARCINOMA ESPINOCELULAR 7 DIAS DESPUES DE
CRIOterapia

Trombosis de los capilares y pequeños vasos.

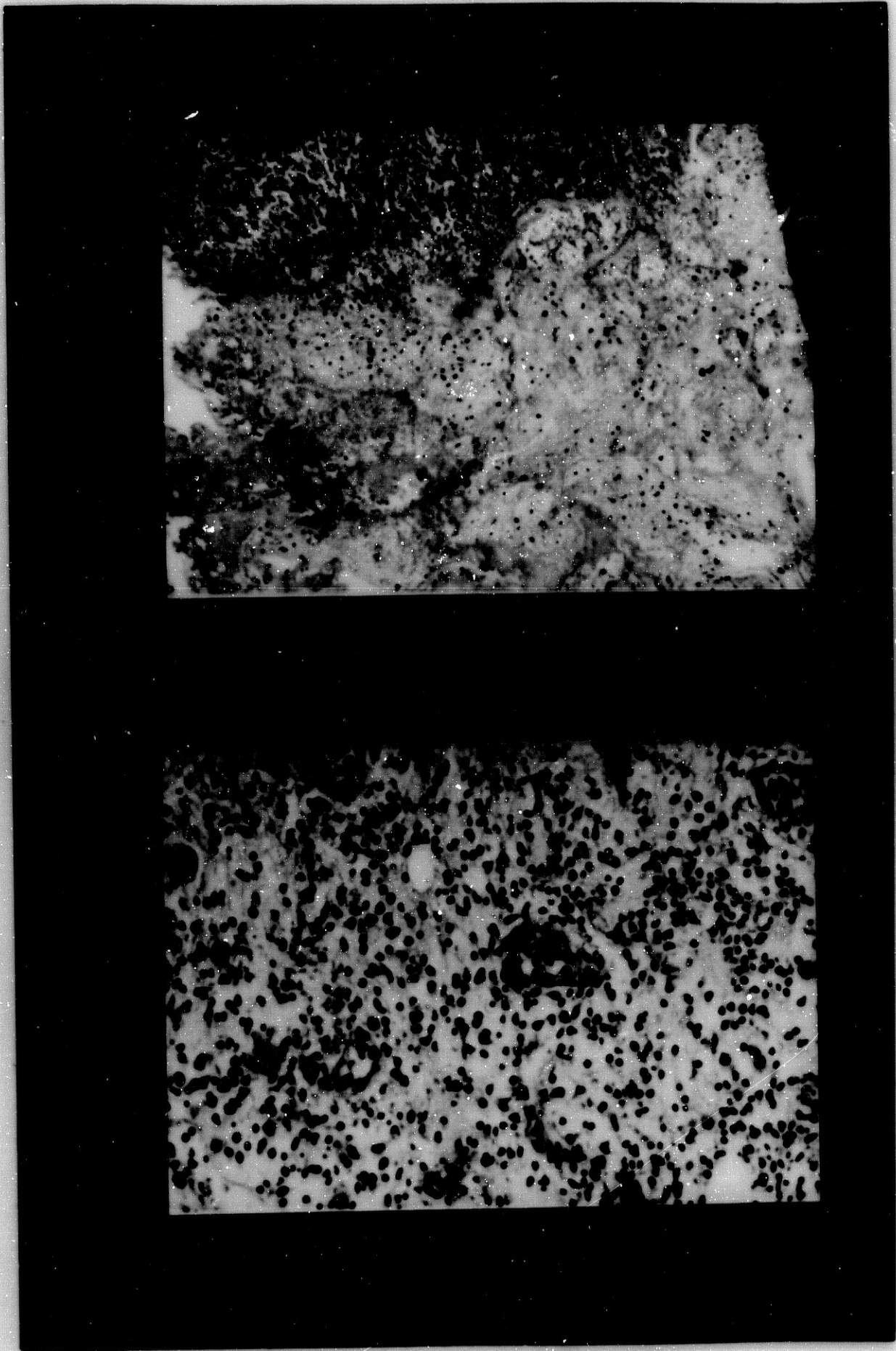
Extensas zonas de necrosis. (H. E. x 100).

FIGURA Nº 108.

CARCINOMA ESPINOCELULAR 10 DIAS DESPUES DE
CRIOterapia

Edema. Capilares obliterados. Vénulas trombo-

sadas en fase de recanalización. (H.E. x 150).



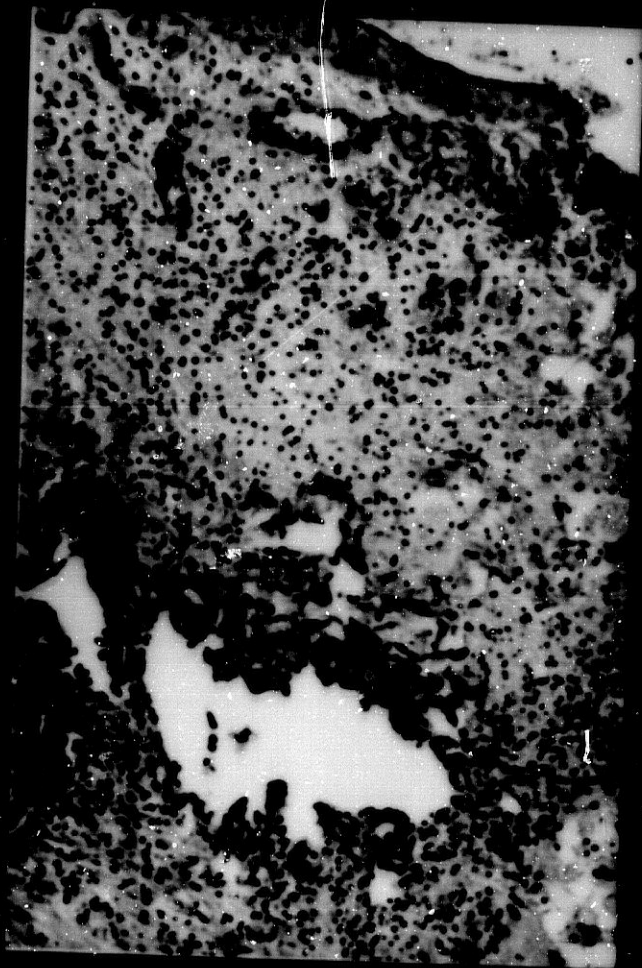
5
10
15
20

FIGURA Nº 109.

CARCINOMA ESPINOCELULAR 18 DIAS DESPUES DE

CRIOterapia

Comienza la epidermización. Tejido de granulación inflamatorio. (H. E. x 150).



0
34
0
00

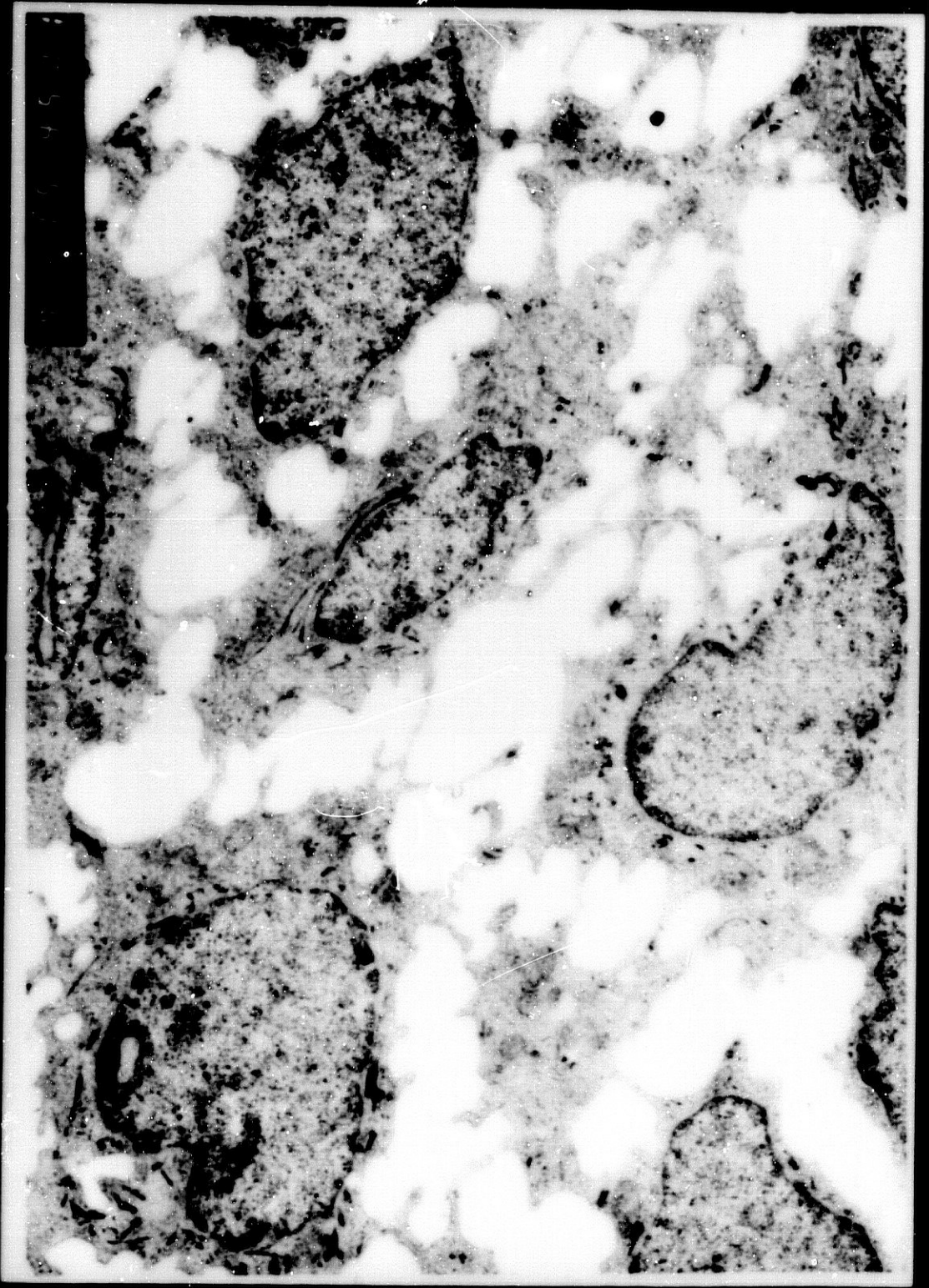
FIGURA Nº 110.

EPITELIOMA BASOCELULAR

Células tumorales de núcleo grande y cromatina
irregularmente distribuida.

Membrana nuclear con algunas invaginaciones.

(x 15.450).



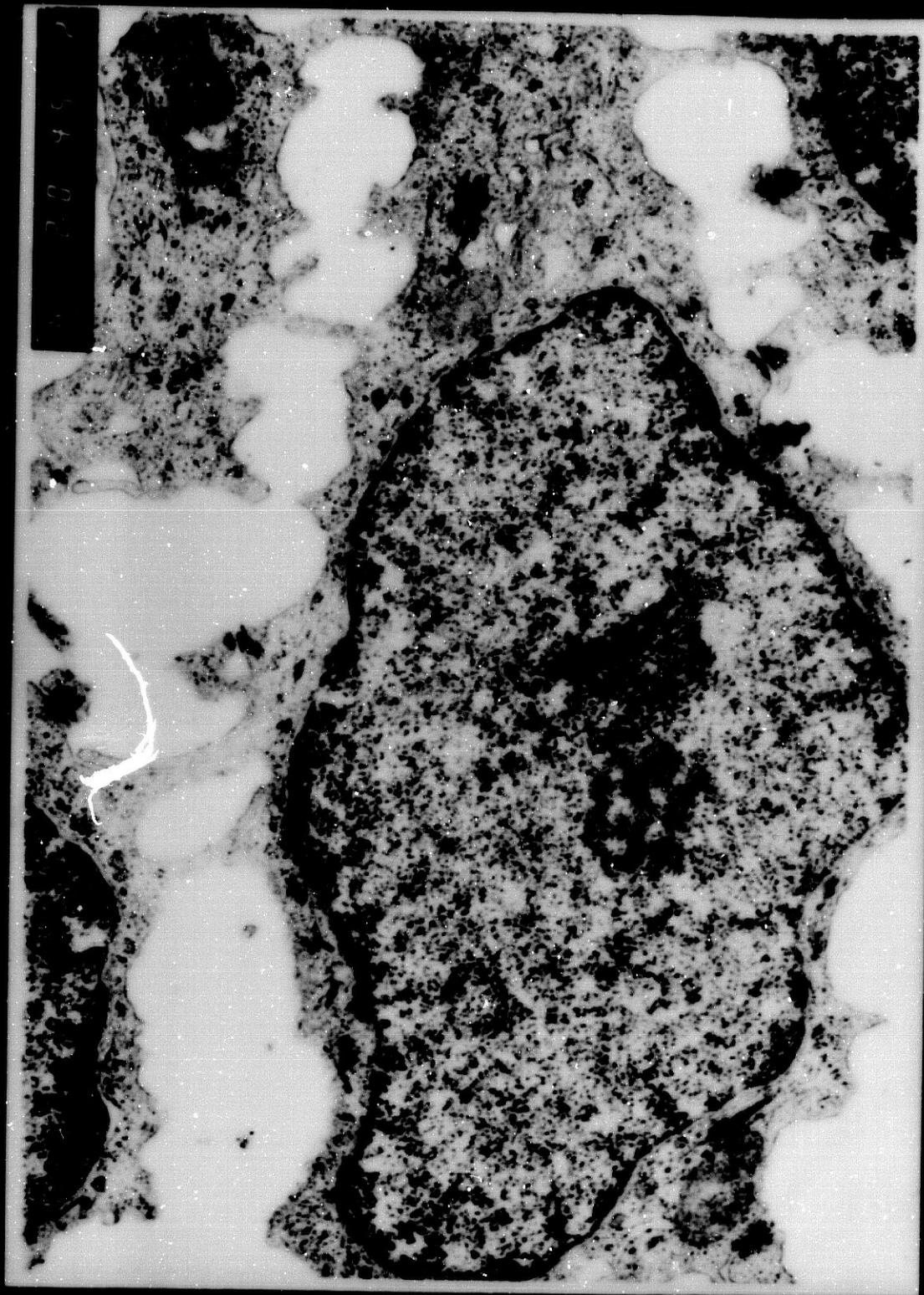
5
1000
D

FIGURA Nº 111.

EPITELIOMA BASOCELULAR

Núcleo de gran tamaño. Cromatina de distribu-
ción irregular. (x 20.450).

5
00
00
0-



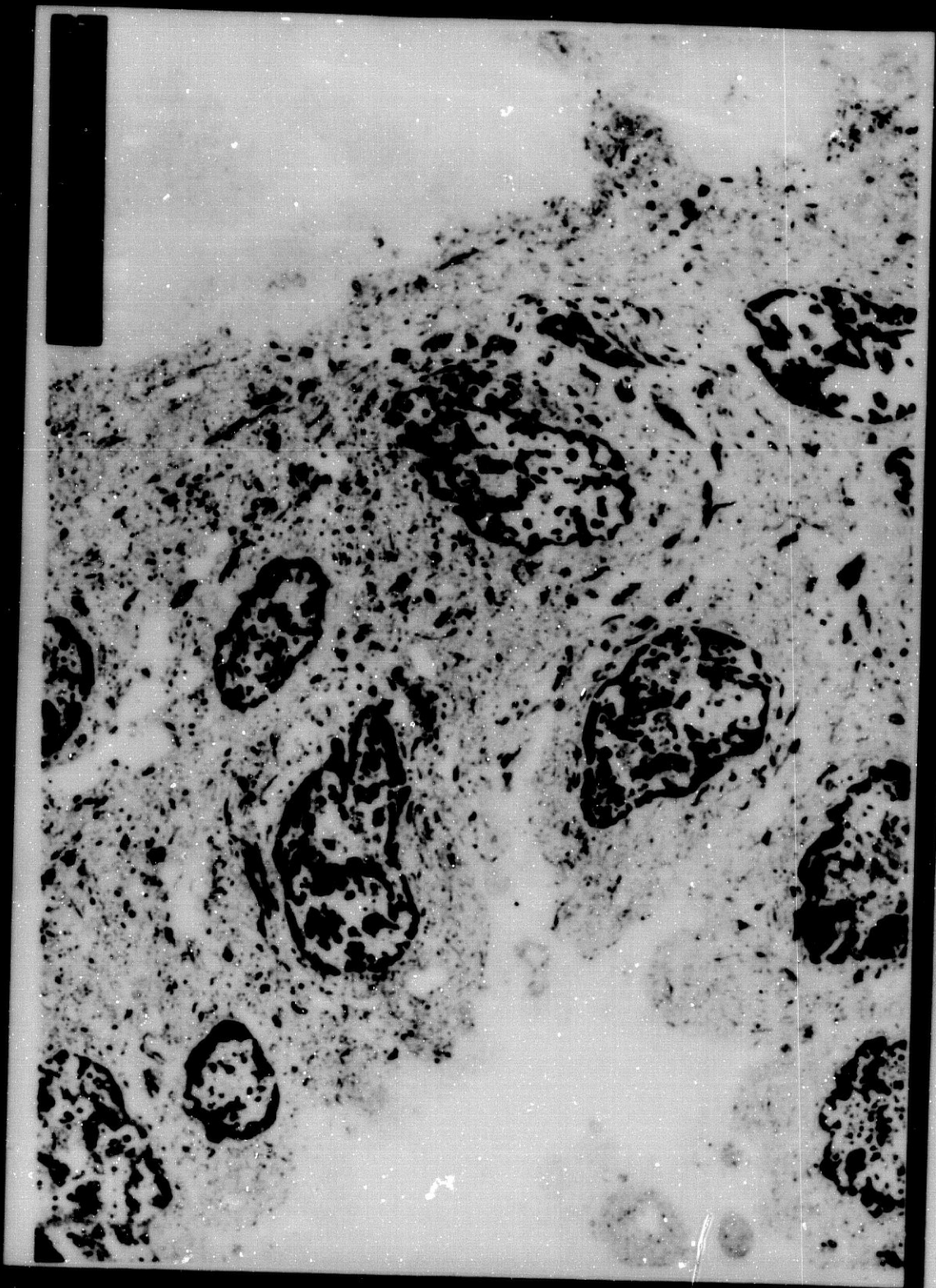
5
04
06
01

FIGURA Nº 112.

EPITELIOMA BASOCELULAR 30º DESPUES DE

CRIOterapia

Cariorrexis. Cromatina en gruesos grumos. Ruptura de la membrana nuclear. (x 10.450).



S
CC
22

FIGURA Nº 113.

EPITELIOMA BASOCELULAR 30' DESPUES DE
CRIOterapia

Intensa cariorrexis. Ruptura y pérdida de la
membrana nuclear. (x 15.450).



5
CC
CC
CC

FIGURA Nº 114.

EPITELIOMA BASOCELULAR 30º DESPUES DE

CRIOCIRUGIA

Necrosis de componentes celulares. Retículo
endoplásmico liso dilatado. Degeneración de las
mitocondrias con pérdida de sus crestas. (x 30.450)



CC
CC
CC

FIGURA Nº 115.

EPITELIOMA BASOCELULAR 24 HORAS DESPUES DE
CRIOCIRUGIA

Necrosis. Ruptura y pérdida de la membrana ce-
lular. Restos citoplásmicos aislados. Carioli-
sis nuclear. (x 15.450)

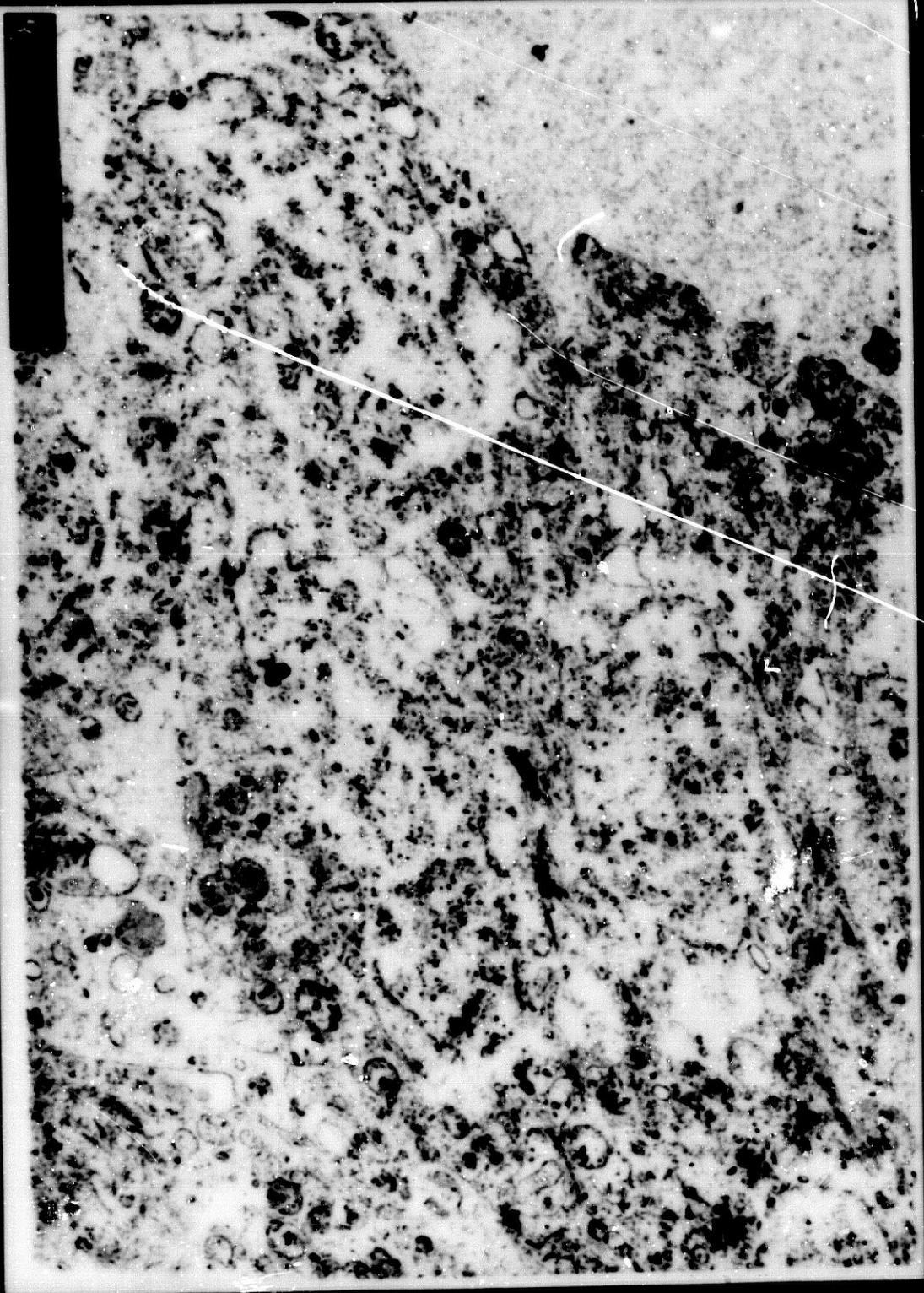


FIGURA Nº 116. OBSERVACION:

EPITELIOMA BASOCELULAR 24 HORAS TRAS

CRIOCIRUGIA

Necrosis celular total. Apenas son visibles las organelas citoplásmicas. Persisten mitocondrias tumefactas y tonofilamentos. (x 15.450)



VIII.- DISCUSSION

Las observaciones personales comparadas con los datos bibliográficos fundamentan los siguientes comentarios:

A) DERMATOSIS

I.- VERRUGAS (por virus):

1.- Formas clínicas:

Predominan las verrugas comunes en dorso de manos y dedos.

2.- Distribución por sexo, edad y tiempo de evolución:

No hay predominio de sexo.

La incidencia máxima se produce durante la segunda década de la vida en las comunes y periungueales y un poco más tarde en las plantares, coincidiendo con la bibliografía (226). Tiempo de evolución al consultar más corto en las plantares, por el dolor intenso que provocan al caminar.

3.- Modo de aplicación:

La forma más utilizada fue "spray" y congelación superficial en comunes y periungueales. En las plantares ambas técnicas, "spray" y contacto, de forma similar.

4.- Resultados clínicos:

a) Comunes:

(+++) 81% y (++) 18%, superiores a los de ZACARIAN (366): (+++) 75%, (++) 14% y (+) 11%.

b) Periungueales:

(+++) 73% y (++) 26%. Satisfactorios, pero inferiores a los obtenidos en verrugas comunes. Coinciden con la bibliografía (7), (213), (364).

c) Plantares:

(+++) 48%, (++) 22%, (+) 12% y (-) 16%. Respuesta sensiblemente inferior a la de los otros tipos. Coincide con la bibliografía (114), (213).

5.- Resultados cosméticos:

Semejantes en comunes y periungueales: (+++) 84% y (++) 16%.

6.- Complicaciones:

a) En verrugas comunes:

Depigmentación 16%, Leuconiquia (17%), Línea de Beau (8%) y Exulceración (2%).

Muchas veces precisaron analgésicos en las primeras 24 horas. También señalado por ZACARIAN (364).

Jamás alteración del limbo ungueal ni neuritis, que citan varios autores (213), (259).

Ausencia de cicatrices hipertróficas y escaras necr_ó

ticas, lo mismo que DUPERRAT y COUVIN (93).

b) Plantares:

Dolor intenso, a veces insufrible, en que coinciden la mayoría de los autores (213), (364). Fue causa de abandonos.

7.- Persistencia:

a) Verrugas comunes:

81% curaron con una aplicación. En 18% dos aplicaciones o más. Resultados superiores a otras terapéuticas (154), (169), (224), (297).

b) Periungueales:

En el 26% fueron precisas dos o más sesiones. Esta mayor resistencia ya era conocida (7), (212).

c) Plantares:

Resultados no satisfactorios, con numerosas recidivas (51%), tal como sucede con otros tratamientos. Nuestra experiencia coincide con la bibliografía (7), (114) (189), (212), (364).

II.- GRANULOMAS PIOGENOS:

1.- Distribución por sexo, edad, tiempo de evolución y tamaño al consultar: